



OFICINA ESPAÑOLA DE PATENTES Y MARCAS

ESPAÑA



11) Número de publicación: 2 763 869

51 Int. Cl.:

C07K 16/22 (2006.01) A61K 39/395 (2006.01) A61P 19/00 (2006.01)

(12)

TRADUCCIÓN DE PATENTE EUROPEA

T3

96) Fecha de presentación y número de la solicitud europea: 20.03.2014 E 17206987 (4)
 97) Fecha y número de publicación de la concesión europea: 09.10.2019 EP 3312195

(54) Título: Métodos para tratar la osteogénesis imperfecta

(30) Prioridad:

20.03.2013 US 201361803647 P 09.09.2013 US 201361875399 P 26.09.2013 US 201361883151 P

(45) Fecha de publicación y mención en BOPI de la traducción de la patente: 01.06.2020 (73) Titular/es:

GENZYME CORPORATION (50.0%) 50 Binney Street Cambridge, MA 02142, US y BAYLOR COLLEGE OF MEDICINE (50.0%)

(72) Inventor/es:

LEE, BRENDAN y SAMPATH, KUBER

(74) Agente/Representante:

LEHMANN NOVO, María Isabel

DESCRIPCIÓN

Métodos para tratar la osteogénesis imperfecta

SOLICITUDES RELACIONADAS

Esta solicitud se relaciona con la Solicitud de Patente Provisional de EE. UU. n.º 61/803,647, presentada el 20 de marzo de 2013, la Solicitud de Patente Provisional de EE. UU. n.º 61/875,399, presentada el 9 de septiembre de 2013, y la Solicitud de Patente Provisional de EE. UU. n.º 61/883,151, presentada el 26 de octubre de 2013.

FINANCIACIÓN GUBERNAMENTAL

Esta invención se realizó con apoyo gubernamental a través de P01 HD070394, P01 HD22657 y R01 DE01771, concedidos por el "National Institute of Health". El gobierno de los Estados Unidos tiene ciertos derechos sobre la invención.

CAMPO DE LA INVENCIÓN

La presente invención se refiere a métodos para tratar la osteogénesis imperfecta (OI). Más específicamente, la invención se refiere a métodos para tratar la OI usando una proteína de unión, p. ej., un anticuerpo o un fragmento de unión a antígeno del mismo, que se una específicamente a factor de crecimiento transformante β humano (TGF β) o a sus isoformas.

ANTECEDENTES

10

15

20

25

La osteogénesis imperfecta (OI), también conocida como "enfermedad de huesos de cristal" o síndrome de Lobstein, es una enfermedad ósea congénita, debilitante y rara que afecta a aproximadamente una de cada 15.000 personas. Aunque los fenotipos varían entre los tipos de OI, los síntomas comunes incluyen la osificación incompleta de huesos y dientes, una masa ósea reducida, huesos frágiles y fracturas patológicas. Se cree que dichos síntomas comunes de la OI están causados por mutaciones genéticas que dan como resultado deficiencias en el colágeno de Tipo-I o en otras proteínas implicadas en la deposición de matriz ósea o en la homeostasis. Como resultado de estos síntomas y de la propensión a fracturas y complicaciones óseas fatales, la esperanza de vida de los pacientes de OI es reducida en comparación con la población general. Por consiguiente, claramente existe una necesidad urgente en la técnica para desarrollar tratamientos efectivos de la OI. Môrike *et al.* (1993) *Journal of Orthopaedic Research* 11:564-572 describe reacciones opuestas de células óseas ol cultivadas de diferentes pacientes expuestas a TGFbeta.

Opsahl *et al.* (2005) *Archives of Oral Biology* **50**:279-286 describe que la sobreexpresión de rGFbeta provoca dentinogénesis imperfecta.

30 Edwards <u>et al. (2010) Journal of Bone and Mineral Research 25:2419-2426</u> describe el incremento de la masa ósea tras la inhibición de TGFbeta con el anticuerpo anti-TGFbeta neutralizante 1 D1 1.

Gebken et al. (2000) Pathobiology **68**:106-112 describe el incremento de la expresión de los receptores para rG Fbeta en osteoblastos de pacientes con OI.

Seitzer *et al.* (1995) *European Journal of Clinical Investigation* **25**:959-966 describe la reducción de las cantidades de TGFbeta en tejidos óseos de afecciones asociadas con la pérdida ósea y la influencia nula de TGFbeta1 sobre los osteoclastos obtenidos de un paciente con osteogénesis imperfecta.

El documento WO2006/086469 describe moléculas de tipo anticuerpo que se unen a TGFβ.

Glorieux (2007) *Pediatrics* **119** supl.1:S163-S165 describe el tratamiento de la osteogénesis imperfecta con bisfosfonatos.

40 BREVE DESCRIPCIÓN DE LAS FIGURAS

Figuras 1A (ensayos Western blot) y 1B-1F (gráficos): demuestran que la señalización de TGF β es elevada en huesos de ratones Crtap- $^{-1}$, en comparación con los controles naturales.

Figuras 2A (imagen luminiscente) y 2B-C (gráficos): muestran que los ratones Crtap- $^{-1}$ cruzados con ratones indicadores de TGF β exhiben una mayor actividad de TGF β que los controles naturales.

45 Figura 3: es un imagen de μCT de vértebras de ratones Crtap^{-/-} tratados con el anticuerpo 1D11 anti-TGFβ panespecífico.

Figura 4: es un gráfico que contiene medidas cuantitativas de vértebras de ratones Crtap-/- tratados con el anticuerpo 1D11 anti-TGFβ pan-específico.

Figura 5: es un análisis histomorfométrico de vértebras de ratones Crtap^{-/-} tratados con el anticuerpo 1D11 anti-TGFβ pan-específico.

Figura 6A y 6B: son gráficos que demuestran las propiedades biomecánicas (Figura 6A – carga máxima, y Figura 6B – rigidez) de fémures de ratones Crtap^{-/-} tratados con el anticuerpo 1D11 anti-TGFβ pan-específico, determinadas mediante un ensayo de doblamiento de tres puntos.

Figura 7A y 7B (imágenes de micrografías) y 7C (gráfico): demuestran el fenotipo pulmonar de ratones Crtap^{-/-} tratados con el anticuerpo 1D11 anti-TGFβ pan-específico.

Figura 8: son imágenes de micrografía de pulmones de Crtap-/- y naturales con un anticuerpo anti-decorina.

Figura 9: es un gráfico que muestra un ensayo de unión a decorina.

5

- Figura 10: es un grupo de gráficos, fotos e imágenes que demuestran un aumento de la señalización de TGFβ en 10 ratones Crtap. Figura 10A: es una serie de tres gráficos que muestran los resultados de RT-PCR cuantitativa de los genes diana de TGFβ p21, PAI-1 y Col1a1. Los gráficos indican un incremento de la señalización de TGFβ en hueso calvaria de ratones P3 WT y Crtap . Los resultados se muestran como tasa de cambio del media del grupo WT ± SD; n=5 por grupo, *p<0,05. Figura 10B: es una fotografía de un análisis Western blot de extractos de proteína de 15 calvaria P3, que muestra un aumento de la cantidad de Smad2 activada (pSmad2) respecto a la proteína Smad2 total en ratones Crtap / frente a ratones WT, lo que sugiere un aumento de la señalización de TGFβ; n=3 por grupo. Figura 10C: es un gráfico que muestra la cuantificación del análisis Western blot mostrado en la Figura 10B. Los resultados se muestran como tasa de cambio de la media del grupo WT ± SD, *p<0,05. Figura 10D: es una imagen que muestra un aumento de bioluminiscencia en regiones que solapan con estructuras esqueletales en ratones Crtap^{-/-} en comparación con ratones WT que fueron intercruzados con ratones indicadores de TGFβ (ratones SBE-20 Luc). Se muestra una imagen representativa de 3 camadas de P10. En 3 camadas los ratones Crtap-/- muestran una media de 2,86 veces (SD±0,34) la señal de bioluminiscencia en la cabeza/calvaria en comparación con los ratones WT (barra de escala = 1 cm). Figura 10E: es un gráfico que muestra, usando una línea celular indicadora de TGFβ, que la actividad de TGFβ se determinó en medio condicionado procedente de células estromales de médula ósea 25 WT y de Crtap-/- en condiciones osteogénicas durante 3 días, que demuestra una mayor actividad de TGFβ en comparación con el medio procedente de células WT. Los resultados se muestran como tasa de cambio de la media del grupo WT ± SD, n=5 por grupo, *p<0,05. Figura 10F: son dos imágenes que muestran la inmunotinción de pulmones (P10) para pSmad2, que demuestran un aumento de la tinción intracelular en ratones WT y Crtap^{-/-} (aumentos 40X). Se muestran imágenes representativas de n=3 ratones por grupo (barra de escala = 20 μm).
- 30 Figura 11: es un grupo de fotos y gráficos que muestran la corrección fenotípica de ratones Crtap-/- tras tratamiento con el anticuerpo 1D11 neutralizante de TGFβ. Figura 11A: es una serie de tres imágenes MicroCT de cuerpos vertebrales L4 de ratones de 16 semanas de edad de tipo natural (WT), Crtap-/- tratados con anticuerpo de control y Crtap / tratados con 1D11 tras tratamiento durante 8 semanas. Figura 11B: es un grupo de tres gráficos que muestran los resultados de MicroCT de cuerpos vertebrales L4, que demuestran el aumento del volumen 35 óseo/volumen total (BV/TV), del número trabecular (Tb.N) y del espesor trabecular (Tb.Th) en ratones WT, Crtapde control y Crtap-/- tratados con 1D11. Los resultados se muestran como las medias ±SD, n=8 por grupo, *p<0,05 para Crtap^{-/-} 1D11 vs. Crtap^{-/-} de control, +p<0,05 para Crtap^{-/-} vs. WT. Figura 11C: es un grupo de tres gráficos que muestran los resultados del análisis histomorfométrico de vértebras L4, que demuestra un aumento del número de osteoclastos (N.Oc/BS) y de osteoblastos (N.Ob/BS) por superficie de hueso en ratones Crtap-/- en comparación con 40 WT. Una reducción del número de osteoblastos y osteoclastos tras tratamiento con 1D11 indica una supresión efectiva de la remodelación ósea acelerada en ratones Crtap-/-. El aumento del número de osteocitos por área de hueso (N.Ot/B.Ar) en ratones Crtap-/- se reduce al nivel de WT tras tratamiento con 1D11. Los resultados se muestran como medias ± SD, n=6 por grupo, *p<0,05 para Crtap^{-/-} 1D11 vs. Crtap^{-/-} de control, +p<0,05 para Crtap^{-/-} vs. WT. Figura 11D: es una serie de tres imágenes que muestran la tinción de hematoxilina/eosina de pulmones 45 inflados de ratones de 16 semanas de edad de tipo natural (WT), ratones Crtap^{-/-} de control y ratones Crtap^{-/-} tratados con 1D11 tras tratamiento durante 8 semanas. Los ratones Crtap de control muestran un aumento en el espacio aéreo distal en comparación con los ratones WT. Tras el tratamiento con 1D11, existe una reducción en el diámetro aéreo distal en comparación con los ratones Crtap^{-/-} de control. Se muestran imágenes representativas de n=8 ratones por grupo (barra de escala = 100 µm). Figura 11E: es un gráfico que muestra la cuantificación de la 50 distancia entre las estructuras alveolares mediante el método de media-lineal-intercepción (MLI), que demuestra una reducción significativa del espacio aéreo distal en ratones Crtap-/- tratados con 1D11 en comparación con ratones Crtap / tratados con anticuerpo de control y ratones WT. Los resultados se muestran como medias ± SD, n=8 ratones por grupo, 10 imágenes analizadas por ratón, *p<0,05 para Crtap^{-/-} 1D11 vs. Crtap^{-/-} de control, +p<0,05 para Crtap-/- vs. WT.
- Figura 12: es una serie de gráficos que muestra que la unión de decorina a colágeno de tipo I solapa el sitio P986 3Hyp y está reducida en el colágeno de tipo I de ratones Crtap^{-/-}. Figura 12A: es un grupo de tres gráficos que muestran los resultados de RT-PCR cuantitativa de hueso calvaria de ratones P3, que no muestra diferencias en la expresión de ARN de los proteoglicanos ricos en leucina pequeños decorina (Dcn), biglicano (Bgn) y asporina (Aspn) en hueso calvaria de ratones Crtap^{-/-} en comparación con ratones WT. Los resultados se presentan como tasa de cambio de la media del grupo WT ± SD, n=5 por grupo. Figura 12B: es un gráfico que muestra los resultados de

análisis de resonancia de plasmón superficial que indica que la unión de proteína de núcleo de decorina recombinante a colágeno de tipo I de ratones Crtap^{-/-} es aproximadamente un 45% menor que a colágeno de tipo I de ratones WT. Se llevaron a cabo tres experimentos independientes usando decorina 3, 5 y 12 μM. Se muestran las unidades de respuesta (RU) de la cantidad total de decorina unida normalizada al colágeno de tipo I inmovilizado sobre el chip. La reducción media de la unión de decorina a colágeno de tipo I de Crtap^{-/-} es de 44,6 ± 7,9%.

5

10

15

20

25

30

35

40

45

50

55

60

Figura 13: es una serie de gráficos y fotos que muestran que la inhibición del aumento de la señalización de TGFB mejora el fenotipo óseo en un modelo de ratón de OI dominante que procede de una mutación G610C en el gen Col1a2 (Col1α2^{tm1.1Mcbr}). Figura 13A: son dos gráficos que muestran los resultados de RT-PCR cuantitativa de los genes diana de TGFβ p21 y PAI-1, que indica un aumento de la señalización de TGFβ en hueso calvaria de ratones WT P3 y Col1α2tm1.1Mcbr. Los resultados se muestran como tasa de cambio de la media del grupo WT ± SD; n=3 por grupo. *p<0.05. Figura 13B; es una foto de los resultados de los análisis Western blot, que muestra un aumento de los niveles de Smad2 activado (pSmad2) respecto a los niveles totales de proteína Smad2 en calvaria P3 de ratones WT y Col1α2tm1.1Mcbr en comparación con WT, lo que sugiere un aumento de la señalización de TGFβ; n=3 por grupo. Figura 13C: es un gráfico que muestra la cuantificación del Western blot observado en la Figura 13B. Los resultados se muestran como tasa de cambio de la media del grupo WT ± SD; *p<0,05. Figura 13D: son una serie de fotos de imágenes MicroCT de cuerpos vertebrales L4 de ratones de 16 semanas de edad de tipo natural (WT), ratones Col1α2tm1.1Mcbr tratados con anticuerpo de control y ratones Col1α2tm1.1Mcbr tratados con 1D11 tras tratamiento durante 8 semanas. Figura 13E: es una serie de gráficos de datos procedentes de MicroCT de cuerpos vertebrales L4, que muestra un aumento del volumen óseo/volumen total (BV/TV), del número trabecular (Tb.N) y del espesor trabecular (Tb.Th) en ratones $Col1\alpha2^{tm1.1Mcbr}$ tras tratamiento con 1D11. Los resultados se muestran como medias \pm SD, n=6 por grupo, *p<0,05 para $Col1\alpha2^{tm1.1Mcbr}$ 1D11 vs. $Col1\alpha2^{tm1.1Mcbr}$ de control, +p<0,05 para Col1α2tm1.1Mcbr vs WT.

Figura 14: es un gráfico de curva de peso, que muestra una reducción de peso en ratones Crtap^{-/-} en comparación con ratones WT durante el periodo de estudio (p<0,05 para todos los tiempos, se muestran las medias ± SD). No se observó una diferencia estadísticamente significativa en peso en los ratones Crtap^{-/-} tratados con 1D11 en comparación con los ratones Crtap^{-/-} de control.

Figura 15: son una serie de gráficos y tablas que no muestran ningún efecto de la inhibición de TGFβ sobre la modificación post-traduccional de colágeno de tipo I anormal en ratones Crtap^{-/-}. Figura 15A: es una serie de tres gráficos que muestran espectros de masas en tándem de colágenos de tipo I extraídos de tibias de ratones WT, ratones Crtap^{-/-} de control y ratones Crtap^{-/-} tratados con 1D11 (ratones de 16 semanas de edad, tras tratamiento durante 8 semanas). La secuencia del gráfico superior es la SEQ ID NO: 19, la secuencia del gráfico del medio es la SEQ ID NO: 20 y la secuencia del gráfico inferior es la SEQ ID NO: 21. Figura 15B: es una tabla que muestra un sumario de análisis de espectros de masas en tándem. El tratamiento con 1D11 no afectó de forma significativa al estatus de 3-hidroxilación del residuo de colágeno Pro986 alfa 1 (I) en muestras óseas. Se muestra la media del porcentaje de residuos 3-hidroxilados (±SD), n=5 por grupo. Figura 15C: es un grupo de tres gráficos que muestran que el colágeno óseo de tipo I de ratones Crtap^{-/-} de control y ratones Crtap^{-/-} tratados con 1D11 exhiben cambios en los niveles de hidroxilisil piridinolina (HP) y de enlaces de lisil piridinolina (LP) y un aumento del ratio HP/LP en comparación con los ratones WT. El tratamiento de 1D11 en ratones Crtap^{-/-} no afectó de forma significativa a estos parámetros, en comparación con los ratones Crtap^{-/-} de control. Los resultados se muestran como medias ± SD, n=4 ratones por grupo, +p<0,05 para Crtap^{-/-} vs. WT.

Figura 16: es una serie de gráficos que muestra los marcadores de recambio de suero óseo osteocalcina (OCN) y el telopéptido reticulado C-terminal de colágeno óseo (CTX) al inicio (Figura 16A = 8 semanas de edad) y al final del estudio de tratamiento (Figura 16B = 16 semanas de edad). Figura 16A: son dos gráficos que muestran que un aumento de los niveles en suero de OCN y CTX en ratones Crtap-/- de 8 semanas de edad en comparación con ratones WT al inicio del estudio aumentó la frecuencia de recambio óseo en ratones Crtap-/-. Los resultados se dan como medias ± SD, n=8 para WT, n=14 para ratones Crtap-/-, +p<0,05 para Crtap-/- vs. WT. Figura 16B: son dos gráficos que muestran que a las 16 semanas de edad los ratones Crtap-/- tratados con 1D11 presentan una tendencia a la reducción de OCN en suero y niveles de CTX en suero significativamente reducidos en comparación con los ratones Crtap-/- de control, lo que indica una supresión del aumento de la frecuencia de recambio por inhibición de TGFβ. Los resultados se dan como medias ± SDs, n=8 para WT, n=7 para el grupo Crtap-/-; *p<0,05 para Crtap-/- 1D11 vs. Crtap-/- de control, +p<0,05 para Crtap-/- vs. WT.

Figura 17: es una tabla que muestra los resultados de análisis de MicroCT de cuerpos vertebrales L4 de ratones WT, Crtap-/- de control y Crtap-/- tratados con 1D11 (ratones de 16 semanas de edad, tras tratamiento durante 8 semanas). Se muestran las medias ± SD para el volumen óseo/volumen de tejido (BV/TV), el número trabecular (Tb.N), el espesor trabecular (Tb.Th), la separación trabecular (Tb.Sp) y la densidad mineral ósea de volumen óseo (BMD BV); n=8 por grupo, + indica ANOVA unidireccional Kruskal-Wallis en rangos en los que el test de varianzas iguales falló. n.s. = no significativo estadísticamente.

Figura 18: es una tabla que muestra los resultados de análisis de MicroCT de hueso trabecular en fémures proximales correspondientes a ratones WT, Crtap^{-/-} de control y Crtap^{-/-} tratados con 1D11 (ratones de 16 semanas de edad, tras tratamiento durante 8 semanas). Se muestran las medias ± SD para el volumen óseo/volumen de tejido (BV/TV), el número trabecular (Tb.N), el espesor trabecular (Tb.Th), la separación trabecular (Tb.Sp) y la

densidad mineral ósea de volumen óseo (BMD BV); n=8 por grupo. + indica ANOVA unidireccional Kruskal-Wallis en rangos en los que el test de varianzas iguales falló. n.s. = no significativo estadísticamente.

Figura 19: es una tabla que muestra los resultados de análisis de MicroCT de hueso cortical de mitad del fémur correspondientes a ratones WT, Crtap-/- de control y Crtap-/- tratados con 1D11 (ratones de 16 semanas de edad, tras tratamiento durante 8 semanas). Se muestran las medias ± SD para el espesor cortical, la densidad mineral ósea de volumen óseo (BMD BV), el diámetro anterior-posterior (a.p.), el área transversal (CSA) y los momentos de inercia transversales (CSMI) para el eje medio-lateral (m.l.) y anterior-posterior (a.p.); n=8 por grupo. n.s. = no significativo estadísticamente.

Figura 20: es una tabla que muestra los resultados del ensayo biomecánico de fémures por torsión de 3 puntos (ratones de 16 semanas de edad, tras tratamiento durante 8 semanas). En comparación con los ratones WT, los ratones Crtap-/- de control exhiben unos parámetros biomecánicos significativamente reducidos, excepto el módulo elástico y el desplazamiento elástico. El tratamiento anti-TGFβ con 1D11 dio como resultado mejoras significativas de la carga máxima y la resistencia definitiva en fémures Crtap-/-, lo que indica un aumento de hueso completo y de resistencia tisular. Sin embargo, no se observaron cambios significativos en el desplazamiento post-rendimiento, lo que indica que el 1D11 no afectó al aumento de fragilidad del hueso Ol. n=6 para ratones WT, n=4 para ratones Crtap-/- y n=3 para ratones Crtap-/- tratados con 1D11. n.s. = no significativo estadísticamente.

Figura 21: es una tabla que muestra los resultados de análisis histomorfométricos de cuerpos vertebrales L4 de ratones WT, ratones Crtap^{-/-} de control y ratones Crtap^{-/-} tratados con 1D11 (ratones de 16 semanas de edad, tras tratamiento durante 8 semanas). Se muestran las medias ± SD para el volumen óseo/volumen de tejido (BV/TV), el número trabecular (Tb.N), el espesor trabecular (Tb.Th), la separación trabecular (Tb.Sp), el número de osteoclastos/superficie ósea (N.Oc/BS), la superficie de osteoclastos/superficie ósea (Oc.S/BS), el número de osteoclastos/superficie ósea (N.Ob/BS), la superficie de osteoblastos/superficie ósea (Oc.S/BS) y el número de osteocitos/área ósea (N.Ot/B.Ar); n=6 por grupo. + indica ANOVA unidireccional Kruskal-Wallis en rangos en los que el test de varianzas iguales falló. n.s. = no significativo estadísticamente.

- Figura 22: es una tabla que muestra los resultados de análisis de MicroCT de cuerpos vertebrales L4 de ratones WT, Col1α2^{tm1.1Mcbr} de control y Col1α2^{tm1.1Mcbr} tratados con 1D11 (ratones de 16 semanas de edad, tras tratamiento durante 8 semanas). Se muestran las medias ± SD para el volumen óseo/volumen de tejido (BV/TV), el número trabecular (Tb.N), el espesor trabecular (Tb.Th), la separación trabecular (Tb.Sp) y la densidad mineral ósea de volumen óseo (BMD BV); n=6 por grupo. n.s. = no significativo estadísticamente.
- Figura 23: es un gráfico que muestra el análisis de resonancia de plasmón superficial que mide la unión de proteína de núcleo decorina recombinante a colágeno de tipo I de ratones WT y Crtap-√. Se realizaron tres réplicas técnicas a cada una de las concentraciones de decorina indicadas a partir de dos réplicas biológicas independientes (♦ réplica 1, ▲ réplica 2). Los resultados se muestran como porcentaje de la media de WT (las barras indican la media por grupo).
- Figura 24: (imágenes de micrografías) demuestra la inmunotinción correspondiente a decorina en la metáfisis de fémur distal de ratones WT y Crtap^{-/-} a 20X, n=3 por genotipo, barras de escala=100 μm (Figuras 24A-24C) y 40X de aumento, n=3 por genotipo, barras de escala = 50 μm (Figuras 24D-24F). Los fémures de control fueron incubados solo en anticuerpo secundario.
- Figura 25: (imágenes de micrografías) demuestra la inmunotinción correspondiente a TGFβ1 en la metáfisis de fémur distal de ratones WT y Crtap^{-/-} a 20X, n=3 por genotipo, barras de escala=100 μm (Figuras 25A-25C) y 40X de aumento, n=3 por genotipo, barras de escala = 50 μm (Figuras 25D-25F). Los fémures de control fueron incubados solo en anticuerpo secundario.
- Figura 26: (imágenes de micrografías) demuestra la inmunotinción correspondiente a TGFβ1 en la metáfisis de fémur distal de ratones WT y Col1α2^{tm1.1Mcbr} a 20X, n=3 por genotipo, barras de escala=100 μm (Figuras 26A-26C) y 40X de aumento, n=3 por genotipo, barras de escala = 50 μm (Figuras 26D-26F). Los fémures de control fueron incubados solo en anticuerpo secundario.

SUMARIO DE LA INVENCIÓN

5

20

La presente invención se define mediante las reivindicaciones.

La presente invención se refiere a un anticuerpo o un fragmento de unión a antígeno del mismo que se une específicamente a, y neutraliza, TGFβ1, TGFβ2 y TGFβ3 para uso en un método para tratar la osteogénesis imperfecta (OI) en un sujeto humano que lo necesita en combinación con un bisfosfonato, donde el anticuerpo comprende una región variable de cadena pesada que comprende la secuencia de aminoácidos de SEQ ID NO: 10 y una región variable de cadena ligera que comprende la secuencia de aminoácidos de SEQ ID NO: 11.

La presente invención también se refiere a un anticuerpo o un fragmento de unión a antígeno del mismo que se une específicamente a, y neutraliza, TGFβ1, TGFβ2 y TGFβ3 para uso en un método para tratar la osteogénesis imperfecta (OI) en un sujeto humano que lo necesita en combinación con teriparatide,

donde el anticuerpo comprende una región variable de cadena pesada que comprende la secuencia de aminoácidos de SEQ ID NO: 10 y una región variable de cadena ligera que comprende la secuencia de aminoácidos de SEQ ID NO: 11.

5

10

15

20

35

40

50

La presente divulgación describe métodos para tratar de forma efectiva la osteogénesis imperfecta (OI). Más específicamente, la divulgación describe métodos para tratar la OI utilizando una proteína de unión tal como un anticuerpo o un fragmento de unión a antígeno del mismo que se une específicamente al factor de crecimiento transformante beta ($TGF\beta$) o una isoforma del mismo. Preferentemente, la proteína de unión es "pan- específica" y se une a las tres isoformas humanas de $TGF\beta$, es decir, $TGF\beta1$, $TGF\beta2$ y $TGF\beta3$. Más preferiblemente, la proteína de unión se une específicamente a, y neutraliza, $TGF\beta1$, $TGF\beta2$ y $TGF\beta3$ humanos. En un aspecto, la divulgación describe un método para tratar la OI en un sujeto que lo necesita que comprende administrar al sujeto una cantidad terapéuticamente efectiva de un anticuerpo o un fragmento de unión a antígeno del mismo que se une específicamente a $TGF\beta$.

En una divulgación, el anticuerpo o fragmento de unión a antígeno del mismo comprende una región variable de cadena pesada que comprende tres regiones determinantes de la complementariedad (CDR, del inglés "Complementarity Determining Regions") que presentan secuencias de aminoácidos seleccionadas del grupo que consiste en las SEQ ID NOs: 4, 5 y 6; y una región variable de cadena ligera que comprende tres CDR que presentan secuencias de aminoácidos seleccionadas del grupo que consiste en las SEQ ID NOs: 7, 8 y 9.

En otra realización, el anticuerpo o fragmento de unión a antígeno del mismo comprende una región variable de cadena pesada que comprende la secuencia de aminoácidos de la SEQ ID NO: 10, y una región variable de cadena ligera que comprende la secuencia de aminoácidos de la SEQ ID NO: 11.

En un ejemplo, el anticuerpo o fragmento de unión a antígeno del mismo comprende además una región constante de IgG4 humana. En un ejemplo, la región constante de IgG4 humana comprende la secuencia de aminoácidos de la SEQ ID NO: 12. En otro ejemplo, el anticuerpo o fragmento de unión a antígeno del mismo además comprenden una región constante de cadena ligera κ humana. En otro ejemplo, la región constante de cadena ligera κ humana comprende la secuencia de aminoácidos de la SEQ ID NO: 13. En otro ejemplo, el anticuerpo o fragmento de unión a antígeno del mismo además comprende una región constante de IgG4 humana y una región constante de cadena ligera κ humana.

En otro ejemplo, la región constante de IgG4 humana comprende la secuencia de aminoácidos de la SEQ ID NO: 12, y la región constante de cadena ligera κ humana comprende la secuencia de aminoácidos de la SEC ID NO: 13. En otro ejemplo, el anticuerpo comprende una cadena pesada que comprende la secuencia de aminoácidos de la SEQ ID NO: 14. En otro ejemplo, el anticuerpo comprende una cadena ligera que comprende la secuencia de aminoácidos de la SEQ ID NO: 15. En otro ejemplo, el anticuerpo comprende una cadena pesada que comprende la secuencia de aminoácidos de la SEQ ID NO: 14, y una cadena ligera que comprende la secuencia de aminoácidos de la SEQ ID NO: 15.

En otro ejemplo, el anticuerpo o fragmento de unión a antígeno del mismo se une a TGFβ1, TGFβ2 y TGFβ3 humanos. En otro ejemplo, el anticuerpo o fragmento de unión a antígeno del mismo neutraliza TGFβ1, TGFβ2 y TGFβ3 humanos.

En otro ejemplo, el anticuerpo o fragmento de unión a antígeno del mismo mejora un parámetro óseo seleccionado del grupo que consiste en densidad volumétrica ósea (BV/TV), superficie ósea total (BS), densidad superficial ósea (BS/BV), número trabecular (Tb.N), espesor trabecular (Tb.Th), espaciado trabecular (Tb.Sp), y volumen total (Dens TV).

45 En otro ejemplo, el anticuerpo o fragmento de unión a antígeno del mismo inhiben la resorción ósea.

En otro ejemplo, el anticuerpo o fragmento de unión a antígeno del mismo reduce un biomarcador en suero de la resorción ósea seleccionado del grupo que consiste en hidroxiprolina urinaria, piridinolina (PYD) total urinaria, desoxipiridinolina (DPD) libre urinaria, N-telopéptido reticulado (NTX) de colágeno de tipo I urinario, C-telopéptido reticulado (CTX) de colágeno de tipo I urinario o en suero, sialoproteína ósea (BSP), osteopontina (OPN) y ácido fosfatasa 5b resistente a tartrato (TRAP).

En otro ejemplo, el anticuerpo o fragmento de unión a antígeno del mismo aumenta un biomarcador en suero de la deposición ósea seleccionado del grupo que consiste en fosfatasa alcalina total, fosfatasa alcalina específica de hueso, osteocalcina y pro-colágeno de tipo I (C-terminal/N-terminal).

En otro ejemplo, el anticuerpo o fragmento de unión a antígeno del mismo inhibe la resorción ósea. En otro ejemplo, el anticuerpo o fragmento de unión a antígeno del mismo promueve la deposición ósea. En otro ejemplo, el anticuerpo o fragmento de unión a antígeno del mismo mejora la función de un órgano no esqueletal afectado por Ol seleccionado del grupo que consiste en función auditiva, función pulmonar y función renal.

En otro aspecto, la divulgación describe un método para tratar la OI en un sujeto que lo necesite que comprende la administración al sujeto de una cantidad terapéuticamente efectiva de un anticuerpo o de un fragmento de unión a antígeno del mismo que se unan a TGFβ, donde el anticuerpo comprende una cadena pesada que comprende la secuencia de aminoácidos de la SEQ ID NO: 14, y una cadena ligera que comprende la secuencia de aminoácidos de la SEQ ID NO: 15.

En otro aspecto, la divulgación describe un método para tratar la OI en un sujeto que lo necesite que comprende administrar al sujeto una cantidad terapéuticamente efectiva de un anticuerpo o fragmento de unión a antígeno del mismo que se una a TGFβ en combinación con al menos un agente terapéutico. En otro ejemplo, el agente es un bisfosfonato.

10 DESCRIPCIÓN DETALLADA DE LA INVENCIÓN

A. Definiciones

5

15

20

25

30

35

40

45

50

55

A menos que se definan de otro modo, todos los términos técnicos y científicos usados en la presente memoria tienen el mismo significado utilizado habitualmente por los especialistas en la técnica.

Cabe destacar aquí que tal como se usan en esta especificación y en las reivindicaciones anexas, las formas singulares "un", "una" y "el", "la" también incluyen la referencia al plural, a menos que el contexto dicte claramente lo contrario.

El término "aproximadamente" significa dentro de un margen del 10%, y más preferiblemente del 5% (ó 1% o menos), de un valor o rango dados.

Los términos "administrar" o "administración" se refieren al acto de inyectar o suministrar físicamente por cualquier otro medio una sustancia tal como existe fuera del organismo (p. ej., un anticuerpo) a un paciente, tal como por administración mucosal, intradérmica, intravenosa, subcutánea, intramuscular y/o cualquier otro método de administración física descrito en la presente memoria o conocido en la técnica. Cuando se trate una enfermedad, o un síntoma de la misma, la administración de la sustancia normalmente se produce tras la aparición de la enfermedad o de sus síntomas. Cuando se quiere prevenir una enfermedad o sus síntomas, la administración de la sustancia se produce normalmente antes de la aparición de la enfermedad o de sus síntomas.

Un "antagonista" o "inhibidor" de TGF β se refiere a una molécula que es capaz de inhibir o si no de reducir una o más de las actividades biológicas del TGF β , tal como en una célula que expresa TGF β o en una célula que expresa un ligando de TGF β , o que expresa un receptor de TGF β . En determinados ejemplos de realizaciones, los anticuerpos de la invención son anticuerpos antagonistas que inhiben o si no reducen la actividad de TGF β en una célula que tiene un receptor de TGF β expresado en la superficie celular (p. ej., receptor de TGF β 1, 2 ó 3) cuando dicho anticuerpo es puesto en contacto con dicha célula. En algunas realizaciones, un antagonista de TGF β (p. ej., un anticuerpo de la invención) puede actuar, por ejemplo, inhibiendo o si no reduciendo la activación y/o los mecanismos de señalización celulares de la célula que expresa un receptor de TGF β , inhibiendo de este modo una actividad biológica mediada por TGF β de la célula respecto a la actividad biológica mediada por TGF β en ausencia de antagonista. En determinadas realizaciones de la invención, los anticuerpos anti-TGF β son anticuerpo anti-TGF β antagonísticos, preferiblemente anticuerpos anti-TGF β antagonísticos monoclonales completamente humanos.

Los términos "anticuerpo", "inmunoglobulina" o "Ig" pueden usarse de forma intercambiable en la presente memoria. El término anticuerpo incluye, aunque sin limitación, anticuerpos sintéticos, anticuerpos monoclonales, anticuerpos producidos recombinantemente, anticuerpos multiespecíficos (que incluyen anticuerpos biespecíficos), anticuerpos humanos, anticuerpos humanizados, anticuerpos quiméricos, intracuerpos, Fvs de cadena sencilla (scFv) (p. ej., incluyendo monoespecíficos, biespecíficos, etc.), anticuerpos camelizados, fragmentos Fab, fragmentos F(ab'), Fvs ligados a disulfuro (sdFv), anticuerpos anti-idiotípicos (anti-ld) y fragmentos de unión a epítopo de cualquiera de los anteriores. En particular, los anticuerpos incluyen moléculas de inmunoglobulina y porciones inmunológicamente activas de moléculas de inmunoglobulina, es decir, dominios o moléculas de unión a antígeno que contienen un sitio de unión a antígeno que se une específicamente a un antígeno de TGF\$ (p. ej., una o más regiones determinantes de la complementariedad (CDR) de un anticuerpo anti-TGFβ). Los anticuerpos anti-TGFβ pueden ser de cualquier tipo (p. ej., IgG, IgE, IgM, IgD, IgA e IgY), de cualquier clase (p. ej., IgG1, IgG2, IgG3, IgG4, IgA1 e IgA2) o de cualquier subclase (p. ej., IgG2a e IgG2b) de una molécula de inmunoglobulina. En determinadas realizaciones, los anticuerpos anti-TGFβ son humanizados, tal como anticuerpos anti-TGFβ monoclonales humanizados. En otras realizaciones, los anticuerpos anti-TGFβ son completamente humanos, tal como anticuerpos anti-TGFβ monoclonales completamente humanos. En las realizaciones preferidas, los anticuerpos anti-TGFβ son anticuerpos IgG, tales como anticuerpos IgG4.

Los términos "composición" y "formulación" pretenden abarcar un producto que contenga ingredientes especificados (p. ej., un anticuerpo anti-TGFβ), opcionalmente en cantidades especificadas, así como cualquier producto que proceda, directa o indirectamente, de la combinación de ingredientes especificados, opcionalmente en cantidades especificadas.

Los términos "región constante" o "dominio constante" se refieren a una porción carboxi terminal de la cadena ligera y pesada que no está implicado directamente en la unión del anticuerpo con el antígeno, pero que exhibe varias funciones efectoras, tal como la interacción con el receptor Fc. Los términos se refieren a la porción de una molécula de inmunoglobulina que tiene una secuencia de aminoácidos más conservada respecto a la otra porción de la inmunoglobulina, el dominio variable, que contiene el sitio de unión a antígeno. El dominio constante contiene los dominios CH1, CH2 y CH3 de la cadena pesada, y el dominio CHL de la cadena ligera.

5

10

15

20

35

40

45

50

El término "epítopo" se refiere a una región localizada sobre la superficie de un antígeno, tal como un polipéptido de TGFβ o un fragmento de polipéptido de TGFβ, que es capaz de ligarse a una o más regiones de unión de antígeno de un anticuerpo, y que presenta actividad antigénica o inmunogénica en un animal, preferiblemente un mamífero, y lo más preferiblemente en un humano, que es capaz de provocar una respuesta inmune. Un epítopo que tiene actividad inmunogénica es una porción de un polipéptido que provoca una respuesta de anticuerpo en un animal. Un epítopo que tiene actividad antigénica es una porción de un polipéptido al cual se une específicamente un anticuerpo, tal como se determina mediante cualquier método bien conocido en la técnica, por ejemplo, tal como un inmunoensayo. Los epítopos antigénicos no necesitan ser inmunogénicos necesariamente. Los epítopos normalmente constan de agrupamientos moleculares superficiales químicamente activos, tal como aminoácidos o cadenas laterales de azúcares, y tienen características estructurales tridimensionales específicas, así como características de carga específicas. Una región de un polipéptido que contribuye a un epítopo puede ser aminoácidos contiguos del polipéptido o el epítopo puede conformarse a partir de dos o más regiones no contiguas del polipéptido. El epítopo puede ser o no un rasgo superficial tridimensional del antígeno. En determinadas realizaciones, un epítopo de TGFβ es un rasgo superficial tridimensional de un polipéptido de TGFβ (p. ej., en una forma trimérica de un polipéptido de TGFβ). En otras realizaciones, un epítopo de TGFβ es una característica lineal de un polipéptido de TGFβ (p. ej., en una forma dimérica o una forma monomérica del polipéptido de TGFβ). Los anticuerpos anti-TGFβ pueden unirse específicamente a un epítopo de la forma monomérica del TGFβ, a un epítopo de la forma dimérica del TGFβ, o a ambas, la forma monomérica y la forma dimérica del TGFβ.

El término "excipientes" se refiere a sustancias inertes que se usan habitualmente como diluyente, vehículo, conservante, aglomerante, agente estabilizante, etc. para fármacos e incluyen, aunque sin limitación, proteínas (p. ej., albúmina de suero, etc.), aminoácidos (p. ej., ácido aspártico, ácido glutámico, lisina, arginina, glicina, histidina, etc.), ácidos grasos y fosfolípidos (p. ej., alquil sulfonatos, caprilato, etc.), tensioactivos (p. ej., SDS, polisorbato, tensioactivo no iónico, etc.), sacáridos (p. ej., sacarosa, maltosa, trehalosa, etc.) y polioles (p. ej., manitol, sorbitol, etc.). Véase también "Remington's Pharmaceutical Sciences" (1990) Mack Publishing Co., Easton, Pa.

En el contexto de un péptido o polipéptido, el término "fragmento" se refiere a un péptido o polipéptido que comprende menos que la secuencia de aminoácidos completa. Dicho fragmento puede surgir, por ejemplo, de un truncamiento en el extremo amino, un truncamiento en el extremo carboxi y/o una eliminación interna de un residuo(s) de la secuencia de aminoácidos. Los fragmentos pueden proceder, por ejemplo, de una división de ARN alternativa o de actividad de proteasa in vivo. En determinadas realizaciones, los fragmentos de TGFβ incluyen polipéptidos que comprenden una secuencia de aminoácidos de al menos 50, al menos 100 residuos de aminoácido, al menos 125 residuos de aminoácido contiguos, al menos 150 residuos de aminoácido contiguos, al menos 175 residuos de aminoácido contiguos, al menos 200 residuos de aminoácido contiguos, o al menos 250 residuos de aminoácido contiguos de la secuencia de aminoácidos de un polipéptido de TGFβ. En una realización específica, un fragmento de un polipéptido de TGFβ o un anticuerpo que se una específicamente a un antígeno de TGFβ retiene al menos 1, al menos 2 o al menos 3 funciones del polipéptido o anticuerpo de longitud completa.

Los términos "anticuerpo completamente humano" o "anticuerpo humano" se usan de forma intercambiable en la presente memoria y se refieren a un anticuerpo que comprende una región variable humana y, los más preferiblemente una región constante humana. En realizaciones específicas, los términos se refieren a un anticuerpo que comprende una región variable y una región constante de origen humano. Los anticuerpos anti-TGFβ "completamente humanos", en determinadas realizaciones, también pueden abarcar anticuerpos que se unen a polipéptidos de TGFβ y que están codificados por secuencias de ácido nucleico que son variantes somáticas que existen de forma natural de una secuencia de ácido nucleico de inmunoglobulina de línea germinal humana. En una realización específica, los anticuerpos anti-TGFβ son anticuerpos completamente humanos. El término "anticuerpo completamente humano" incluye anticuerpos que tienen regiones variables y constantes que corresponden a secuencias de inmunoglobulina de línea germinal humana, tal como describen Kabat et al. (véase Kabat et al. (1991) Sequences of Proteins of Immunological Interest, 5ª edición, Departamento de Salud y Servicios Humanos de los Estados Unidos, Publicación NIH Nº 91-3242). Los métodos para producir anticuerpos completamente humanos se conocen en la técnica.

La frase "anticuerpo humano recombinante" incluye anticuerpos humanos que se preparan, se expresan, se crean o se aíslan con medios recombinantes, tal como anticuerpos expresados usando un vector de expresión recombinante transfectado en una célula hospedante, anticuerpos aislados a partir de una biblioteca combinatoria de anticuerpos humanos recombinantes, anticuerpos aislados de un animal (p. ej., un ratón o una vaca) que es transgénico y/o transcromosomal para genes de inmunoglobulina humana (véase, p. ej., Taylor, L. D. et al. (1992) Nucl. Acids Res. 20: 6287-6295) o anticuerpos preparados, expresados, creados o aislados mediante cualquier otro medio que implique la división de secuencias génicas de inmunoglobulina humana en otras secuencias de ADN. Dichos anticuerpos humanos recombinantes pueden presentar regiones variables y constantes derivadas de secuencias de

inmunoglobulina de línea germinal humana (véase Kabat, E. A. et al. (1991) Sequences of Proteins of Immunological Interest, 5ª edición, Departamento de Salud y Servicios Humanos de los Estados Unidos, Publicación NIH Nº 91-3242). En determinadas realizaciones, sin embargo, dichos anticuerpos humanos recombinantes son sometidos a mutagénesis in vitro (o, cuando se usa un animal transgénico para secuencias de Ig humana, mutagénesis somática in vivo) y por tanto las secuencias de aminoácidos de las regiones VH y VL de los anticuerpos recombinantes son secuencias que, cuando se derivan y se relacionan con secuencias VH y VL de línea germinal humana, pueden no existir de forma natural dentro del repertorio in vivo de línea germinal de anticuerpos humanos.

5

10

15

20

25

30

35

40

45

50

55

El término "cadena pesada" cuando se usa en referencia a un anticuerpo se refiere a cinco tipos distintos, denominados alfa (α), delta (Δ), épsilon (ϵ), gamma (γ) y mu (μ), en base a la secuencia de aminoácidos del dominio constante de la cadena pesada. Estos tipos distintos de cadenas pesadas son bien conocidos en la técnica y dan lugar a cinco clases de anticuerpos, IgA, IgD, IgE, IgG e IgM, respectivamente, que incluyen cuatro subclases de IgG, a saber IgG1, IgG2, IgG3 e IgG4. Preferiblemente, la cadena pesada es una cadena pesada humana.

Un anticuerpo "aislado" o "purificado" está sustancialmente libre de material celular o de otras proteínas contaminantes procedentes de la fuente celular o tisular de la cual deriva el anticuerpo, o está sustancialmente libre de precursores químicos u otros productos químicos cuando se sintetiza químicamente. La expresión "sustancialmente libre de material celular" incluye preparaciones de un anticuerpo en las que el anticuerpo está separado de los componentes celulares de las células a partir de las cuales se aísla o se produce recombinantemente. De este modo, un anticuerpo que está sustancialmente libre de material celular incluye preparaciones de anticuerpo que tienen menos de aproximadamente 30%, 20%, 10% ó 5% (en peso seco) de proteína heteróloga (también denominada en la presente memoria "proteína contaminante"). Cuando el anticuerpo se produce recombinantemente, también está preferiblemente sustancialmente libre de medio de cultivo, es decir, el medio de cultivo representa menos de aproximadamente el 20%, 10% ó 5% del volumen de la preparación de proteína. Cuando el anticuerpo se produce mediante síntesis química, preferiblemente está sustancialmente libre de precursores químicos u otros productos químicos, es decir, está separado de precursores químicos u otros productos químicos que están implicados en la síntesis de la proteína. Por consiguiente, dichas preparaciones del anticuerpo tienen menos de aproximadamente 30%, 20%, 10%, 5% (en peso seco) de precursores o compuestos químicos diferentes al anticuerpo de interés. En una realización preferida, los anticuerpos anti-TGFβ son aislados o purificados.

Los términos "numeración de Kabat", y términos similares, son reconocidos en la técnica y se refieren a un sistema de numeración de residuos de aminoácidos que son más variables (es decir, hipervariable) que otros residuos de aminoácido en las regiones variables de cadena pesada y ligera de un anticuerpo, o una porción de unión a antígeno del mismo (Kabat et al. (1971) Ann. NY Acad. Sci. 190: 382-391 y Kabat et al. (1991) Sequences of Proteins of Immunological Interest, 5ª edición, Departamento de Salud y Servicios Humanos de los Estados Unidos, Publicación NIH Nº 91-3242). Para la región variable de cadena pesada, la región hipervariable habitualmente oscila entre las posiciones de aminoácido 31 a 35 para la CDR1, las posiciones de aminoácido 50 a 65 para la CDR2, y las posiciones de aminoácido 95 a 102 para la CDR3. Para la región variable de cadena ligera, la región hipervariable habitualmente oscila entre las posiciones de aminoácido 24 a 34 para la CDR1, las posiciones de aminoácido 50 a 56 para la CDR2 y las posiciones de aminoácido 89 a 97 para la CDR3.

El término "cadena ligera" cuando se usa en referencia a un anticuerpo se refiere a dos tipos distintos, denominados kappa (κ) y lambda (λ), en base a la secuencia de aminoácidos de los dominios constantes. Las secuencias de aminoácidos de la cadena ligera son bien conocidas en la técnica. En las realizaciones preferidas, la cadena ligera es una cadena ligera humana.

Los términos "maneja", "que maneja" y "manejo" se refieren a los efectos beneficiosos que un sujeto obtiene a partir de una terapia (p. ej., un agente profiláctico o terapéutico), que no da como resultado una cura de la enfermedad o trastorno. En determinadas realizaciones, a un sujeto se le administra una o más terapias (p. ej., agentes profilácticos o terapéuticos) para "manejar" una enfermedad mediada por $TGF\beta$ (p. ej., OI), o uno o más síntomas de la misma, de tal modo que se previene la progresión o el empeoramiento de la enfermedad.

El término "anticuerpo monoclonal" se refiere a un anticuerpo obtenido de una población de anticuerpos homogéneos o sustancialmente homogéneos, y cada anticuerpo monoclonal reconocerá típicamente un único epítopo sobre el antígeno. En las realizaciones preferidas, un "anticuerpo monoclonal" es un anticuerpo producido por un único hibridoma u otra célula. El término "monoclonal" no se limita a ningún método particular para preparar el anticuerpo. Por ejemplo, los anticuerpos monoclonales se pueden preparar mediante el método de hibridoma descrito en Kohler et al.; Nature, 256: 495 (1975) o puede aislarse a partir de bibliotecas de fagos. En la técnica se conocen bien otros métodos para la preparación de líneas celulares clonales y anticuerpos monoclonales expresados por las mismas (véase, por ejemplo, el Capítulo 11 de: Short Protocols in Molecular Biology, (2002) 5ª edición.; Ausubel et al., eds., John Wiley and Sons, Nueva York).

El término "farmacéuticamente aceptable" significa que está aprobado por una agencia reguladora del gobierno Federal o Estatal o que está incluido en la lista de la Farmacopea de los EE.UU., la Farmacopea Europea u otras Farmacopeas reconocidas de forma general para uso en animales, y más particularmente en humanos.

La expresión "excipiente farmacéuticamente aceptable" significa cualquier sustancia inerte que se combina con una molécula activa, tal como un anticuerpo monoclonal, para preparar una forma de dosis cómoda y aceptable. El "excipiente farmacéuticamente aceptable" es un excipiente que es no tóxico para los receptores en las dosis y concentraciones empleadas, y es compatible con otros ingredientes de la formulación que comprenden el anticuerpo monoclonal.

5

30

35

40

45

50

55

60

Los términos "prevenir", "que previene" y "prevención" se refieren a la inhibición total o parcial del desarrollo, la recurrencia, la aparición o la extensión de una enfermedad mediada por TGFβ y/o los síntomas relacionados con la misma, que resulta de la administración de una terapia o combinación de terapias proporcionadas en la presente memoria (p. ej., una combinación de agentes profilácticos o terapéuticos).

10 El término "antígeno de TGFβ" se refiere a la porción de un polipéptido de TGFβ a la cual se une específicamente un anticuerpo. Un antígeno de TGF\$\beta\$ también se refiere a un análogo o derivado de un polipéptido de TGF\$\beta\$ o a un fragmento del mismo al cual se une específicamente un anticuerpo. En algunas realizaciones, un antígeno de TGFB es un antígeno de TGFβ monomérico o un antígeno de TGFβ dimérico. Una región de un polipéptido de TGFβ que contribuye a un epítopo puede estar constituida por aminoácidos contiguos del polipéptido, o el epítopo puede estar constituido por dos o más regiones no contiguas del polipéptido. El epítopo puede o no ser un rasgo superficial 15 tridimensional del antígeno. Una región localizada sobre la superficie de un antígeno de TGFβ que es capaz de provocar una respuesta inmune es un epítopo de TGFβ. El epítopo puede o no ser un rasgo superficial tridimensional del antígeno. Tal como se usa en la presente memoria, un "análogo" del antígeno de TGFβ se refiere a un polipéptido que posee una función similar o idéntica a la de un polipéptido de TGFβ, un fragmento de un 20 polipéptido de TGFβ o un epítopo de TGFβ como el descrito en la presente memoria. Por ejemplo, el análogo puede comprender una secuencia que es idéntica en al menos un 80%, al menos un 85%, al menos un 90%, al menos un 95% o al menos un 99%, a la secuencia de aminoácidos de un polipéptido de TGFβ (p. ej., la SEQ ID NO: 1, 2 ó 3), un fragmento de un polipéptido de TGFβ, un epítopo de TGFβ o un anticuerpo anti-TGFβ como el descrito en la presente memoria. Adicional o alternativamente, el polipéptido está codificado por una secuencia de nucleótidos que se hibrida en condiciones de severidad con una secuencia de nucleótidos que codifica un polipéptido de TGFB, un 25 fragmento de un polipéptido de TGFβ o un epítopo de TGFβ como el descrito en la presente memoria.

Los términos "TGF β humano", "hTGF β " o "polipéptido hTGF β ", y términos similares, se refieren a los polipéptidos ("polipéptidos", "péptidos" y "proteínas" se usan de forma intercambiable en la presente memoria) que comprenden la secuencia de aminoácidos de la SEQ ID NO: 1, 2 ó 3, y polipéptidos relacionados, que incluyen las variantes SNP de los mismos. Los polipéptidos relacionados incluyen variantes alélicas (p. ej., variantes SNP); variantes de división; fragmentos; derivados; variantes de sustitución, eliminación e inserción; polipéptidos de fusión; y homólogos interespecies, preferiblemente que retengan la actividad de TGF β y/o sean suficientes para generar una respuesta inmune anti-TGF β . También se contemplan formas solubles de TGF β que sean suficientes para generar una respuesta inmunológica anti-TGF β . Como apreciarán los especialistas en la técnica, un anticuerpo anti-TGF β se puede unir a un polipéptido, un fragmento de polipéptido, un antígeno y/o un epítopo de TGF β , ya que un epítopo es parte de un antígeno más grande, que a su vez es parte del fragmento de polipéptido más grande, que a su vez es parte del polipéptido más grande. El hTGF β puede existir en forma dimérica o monomérica.

Los términos "enfermedad mediada por $TGF\beta$ " y "trastorno mediado por $TGF\beta$ " se usan de forma intercambiable y se refieren a cualquier enfermedad o trastorno que esté provocada completa o parcialmente o que sea el resultado de $TGF\beta$, p. ej., $hTGF\beta$. En determinadas realizaciones, el $TGF\beta$ se expresa de forma aberrante. En algunas realizaciones, el $TGF\beta$ puede estar regulado al alza de forma aberrante en un tipo celular particular. En otras realizaciones, la unión de $TGF\beta$ a un receptor de $TGF\beta$ provoca una señalización celular normal, aberrante o excesiva. En determinadas realizaciones, el receptor de $TGF\beta$ (p. ej., receptor de $TGF\beta$ 1, 2 ó 3), se expresa sobre la superficie de una célula, tal como un osteoblasto, un osteoclasto o una célula estromal de médula ósea. En determinadas realizaciones, la enfermedad mediada por $TGF\beta$ es una enfermedad ósea degenerativa, tal como la osteogénesis imperfecta.

Las expresiones "se une específicamente" o "que se une específicamente" significan la unión específica a un antígeno o a un fragmento del mismo (p. ej., TGFβ) y que no se une específicamente a otros antígenos. Un anticuerpo que se une específicamente a un antígeno puede unirse a otros péptidos o polipéptidos con una menor afinidad, tal como se determina, p. ej., mediante radioinmunoensayos (RIA), ensayos inmunosorbentes ligados a enzima (ELISA), BIACORE, u otros ensayos conocidos en la técnica. En determinadas realizaciones, un anticuerpo anti-TGF\$ de la invención se puede unir específicamente a TGF\$ (p. ej., hTGF\$) con una afinidad de más del doble que un antígeno diferente, no TGFB. Los anticuerpos o variantes o fragmentos de los mismos que se unen específicamente a un antígeno pueden reaccionar de forma cruzada con antígenos relacionados. Por ejemplo, en determinadas realizaciones un anticuerpo anti-TGFβ puede reaccionar de forma cruzada con hTGFβ y otro antígeno de TGFβ (p. ei., un anticuerpo de TGFβ de roedor o de primate no humano). Preferiblemente, los anticuerpos o variantes o fragmentos de los mismos que se unen específicamente a un antígeno no reaccionan de forma cruzada con otros antígenos que no sean TGFβ. Un anticuerpo o una variante o un fragmento del mismo que se unen específicamente a un antígeno de TGFβ pueden identificarse, por ejemplo, mediante inmunoensayos, BIAcore, u otras técnicas conocidas por los especialistas en la técnica. Típicamente, una reacción específica o selectiva será al menos el doble de la señal de fondo o ruido, y más típicamente de más de 10 veces el fondo. En algunas realizaciones, la proteína o anticuerpo de unión se unirán a su antígeno, p. ej., TGFβ, con una constante de

disociación de entre 1x10⁻⁶ M y 1x10⁻⁷. En otras realizaciones, la constante de disociación se encuentra entre 1x10⁻⁶ M y 1x10⁻⁸. Ver, p. ej., Paul, ed., 1989, Fundamental Immunology, segunda edición, Raven Press, Nueva York, en las páginas 332-336 para una discusión relativa a la especificidad de anticuerpos.

Los términos "sujeto" y "paciente" se usan de forma intercambiable. Tal como se usa en la presente memoria, un sujeto es preferiblemente un mamífero, tal como un no primate (p. ej., vacas, cerdos, caballos, gatos, perros, ratas, etc.) o un primate (p. ej., mono y humano), lo más preferiblemente un humano. En una realización, el sujeto es un mamífero, preferiblemente un humano, que padece una enfermedad mediada por TGFβ. En otra realización, el sujeto es un mamífero, preferiblemente un humano, que está en riesgo de desarrollar

una enfermedad mediada por TGFB.

5

20

25

45

50

55

10 El término "agente terapéutico" se refiere a cualquier agente que pueda usarse en el tratamiento, manejo o alivio de una enfermedad mediada por TGFβ y/o un síntoma relacionado con la misma. En determinadas realizaciones, el término "agente terapéutico" se refiere a un anticuerpo de TGFβ. En otras determinadas realizaciones, el término "agente terapéutico" se refiere a un agente diferente de un anticuerpo de TGFβ. Preferiblemente, un agente terapéutico es un agente que se conoce por ser útil, o que ha sido usado, o está siendo usado actualmente para el tratamiento, el manejo o el alivio de una enfermedad mediada por TGFβ, o uno o más de los síntomas relacionados con la misma.

El término "terapia" se refiere a cualquier protocolo, método y/o agente que pueda usarse en la prevención, el manejo, el tratamiento y/o el alivio de una enfermedad mediada por TGFβ (p.ej, Ol). En determinadas realizaciones, los términos "terapias" y "terapia" se refieren a una terapia biológica, una terapia de apoyo y/u otras terapias útiles para la prevención, el manejo y el tratamiento y/o alivio de una enfermedad mediada por TGFβ conocida por los especialistas en la técnica, tal como el personal médico.

Los términos "tratar", "tratamiento" y "que trata" se refieren a la reducción o el alivio de la progresión, la gravedad y/o la duración de una enfermedad mediada por TGFβ (p. ej., Ol) que es el resultado de la administración de una o más terapias (que incluyen, aunque sin limitación, la administración de uno o más agentes profilácticos o terapéuticos). En realizaciones específicas, dichos términos se refieren a la reducción o la inhibición de la unión de TGFβ a un receptor de TGFβ, la reducción o la inhibición de la producción o la secreción de TGFβ desde una célula que expresa un receptor de TGFβ de un sujeto, la reducción o la inhibición de la producción o la secreción de TGFβ desde una célula que no expresa un receptor de TGFβ de un sujeto, y/o la inhibición o la reducción de uno o más síntomas asociados a una enfermedad mediada por TGFβ, tal como la Ol.

Los términos "región variable" o "dominio variable" se refieren a una porción de las cadenas ligeras y pesadas, típicamente de forma aproximada los 120 a 130 aminoácidos amino-terminales de la cadena pesada y aproximadamente los 100 a 110 aminoácidos de la cadena ligera, que difieren extensivamente en secuencia entre los anticuerpos y que se usan en la unión y la especificidad de cada anticuerpo particular con su antígeno particular. La variabilidad de secuencia se concentra en las regiones denominadas regiones determinantes de la complementariedad (CDR), mientras que las regiones más altamente conservadas del dominio variable se denominan regiones estructurales (FR, del inglés "framework regions"). Las CDR de las cadenas ligera y pesada son principalmente responsables de la interacción del anticuerpo con el antígeno. La numeración de las posiciones de aminoácido es acorde al Índice EU, tal como en Kabat et al. (1991) Sequences of proteins of immunological interest. (Departamento de Salud y Servicios Humanos de los EE.UU., Washington D.C.), 5ª edición ("Kabat et al."). En las realizaciones preferidas, la región variable es una región variable humana.

B. Osteogénesis Imperfecta (OI)

La OI abarca un grupo de trastornos óseos congénitos que se caracterizan por deficiencias en una o más proteínas implicadas en la deposición de matriz ósea u homeostasis. Existen ocho tipos de OI que se definen por su mutación genética específica, y por la deficiencia proteínica y el fenotipo resultantes en el individuo afectado. Aunque los fenotipos varían entre los tipos de OI, los síntomas comunes incluyen una osificación incompleta de huesos y dientes, una masa ósea reducida, huesos frágiles y fracturas patológicas.

El colágeno de tipo-I es una de las proteínas de tejido conectivo más abundantes tanto en tejidos calcificados como no calcificados. Una síntesis precisa, la modificación post-traduccional y la secreción de colágeno de tipo-I son necesarias para un correcto desarrollo, mantenimiento y reparación del tejido. La mayoría de las mutaciones identificadas en individuos con OI dan como resultado una reducción de la síntesis de colágeno de tipo-I, o una síntesis y/o procesado incorrectos del colágeno de tipo I.

Además de las mutaciones del gen de colágeno de tipo I, se han identificado otras mutaciones en genes que participan en el tráfico intracelular y el procesado de colágenos en individuos afectados por OI. Dichos genes incluyen chaperonas moleculares, tales como la proteína 10 de unión a FK506 (FKBP10) y la proteína 47 de choque térmico (HSP47) (Alanay et al., 2010; Christiansen et al., 2010; Kelley et al., 2011). Se han identificado otras mutaciones adicionales en genes reticulantes de colágeno intermolecular, tales como la procolágeno-lisina, la 2-oxoglutarato 5-dioxigenasa 2 (PLOD2), y en miembros de la familia de genes de colágeno prolil hidroxilasa, que incluyen proteoglicano enriquecido en leucina prolina (leprecan) (LEPRE1), peptidilpropil isomerasa B (ciclofilina B)

(CYPB), y proteína asociada a cartílago (CRTAP) (Morello et al., 2006; Cabral et al., 2007; Baldridge et al., 2008; van Dijk et al., 2009; Choi et al., 2009; Barnes et al., 2010; Pyott et al., 2011). Aparte de las mutaciones, se cree que proteínas tales como la proteína morfogenética ósea (BMP) y el factor de crecimiento transformante β (TGF β) y sus respectivos receptores, participan en los diversos fenotipos de OI, aunque se desconocen los mecanismos exactos de sus acciones (Gebken et al., 2000).

En una realización, la expresión de TGFβ está regulada por moléculas que se unen a colágeno de tipo I y de tipo II. En determinadas realizaciones, un proteoglicano rico en leucina pequeño (SLRP) regula la expresión de TGFβ. En una realización específica, la decorina regula la síntesis de TGFβ. En una realización determinada, la decorina no se une a colágeno de tipo I o tipo II, en los que el sitio de 3-hidroxiprolina está ausente en la posición 986 de las moléculas de colágeno de tipo I y/o de tipo II.

C. Biología ósea

5

10

15

25

30

35

40

55

El esqueleto vertebrado está compuesto de hueso, que es un tejido vivo calcificado que proporciona estructura, soporte, protección y una fuente de minerales para regular el transporte de iones. El hueso es un tejido conectivo especializado que está compuesto por componentes tanto celulares como acelulares. La matriz extracelular (ECM) acelular contiene tanto proteínas de colágeno como proteínas de no colágeno, las cuales participan ambas en el proceso de calcificación. Una ECM correctamente secretada y alineada es crítica para la formación adecuada del hueso. Las patologías aparecen cuando cualquiera de las proteínas de ECM está ausente, malformada o desalineada, tal como se evidencia en la osteogénesis imperfecta.

El término "hueso cortical" o "hueso compacto" se refiere a la capa exterior del hueso, que es densa, rígida y resistente. El término "hueso trabecular" o "hueso canceloso" es la capa esponjosa del interior del hueso, que es más ligera y menos densa que el hueso cortical. El término "trabécula" se refiere a la unidad estructural microscópica del hueso esponjoso, que es una forma de tipo varilla y composición colagenosa.

El hueso es un tejido dinámico que está sometido a una remodelación constante. El término "osteoblasto" se refiere a una célula formadora de hueso terminalmente diferenciada que deposita osteoides. El término "osteoide" se refiere a hueso inmaduro no mineralizado que está compuesto principalmente por colágeno de tipo I. El término "preosteoblasto" se refiere a un osteoblasto inmaduro en proliferación que no está totalmente diferenciado. El término "osteoprogenitor" se refiere a una célula pluripotente que da lugar a varios tipos de células estromales, incluyendo los osteoblastos. Las células osteoprogenitoras, que habitualmente se denominan "células madre mesenquimales", aparecen en la médula ósea y pueden aislarse en número pequeño a partir del torrente sanguíneo. El término "osteoclasto" se refiere a una célula de resorción de hueso terminalmente diferenciada que desciende de un monocito de médula ósea. Los osteoclastos se pueden identificar por su expresión de fosfatasa ácida resistente a tartrato (TRAP).

En condiciones homeostáticas normales, los osteoblastos y los osteoclastos trabajan al unísono para mantener la integridad ósea. Las patologías aparecen cuando la deposición ósea y la resorción ósea se desacoplan. Por ejemplo, la osteopetrosis es una enfermedad ósea que se caracteriza por un hueso indebidamente denso y duro que es el resultado de osteoclastos que no resorben, mientras que la osteoporosis es un trastorno óseo que se caracteriza por huesos porosos y frágiles que pueden proceder de un aumento de la actividad de osteoclastos. La evidencia sugiere que la actividad de osteoclastos puede verse incrementada en la osteogénesis imperfecta, implicando a este tipo de células como diana potencial para la intervención terapéutica. La presente descripción incluye métodos para inhibir los osteoclastos con un anticuerpo de TGFβ.

Se pueden usar varios métodos para medir y caracterizar la estructura, densidad y calidad del hueso, que incluyen la histología y la histomorfometría, la microscopía de fuerza atómica, la microscopía confocal de Raman, la nanoindentación, el test de torsión de tres puntos, imágenes de rayos X y tomografía microcomputerizada (μ-CT). En un ejemplo de realización, los huesos se miden y se caracterizan mediante al menos uno de estos métodos.

El término "densidad de volumen óseo" se refiere a la fracción de un volumen dado de hueso (volumen total o TV) que está compuesta de materia calcificada (volumen óseo o BV). Por tanto, la densidad de volumen óseo se calcula como BV/TV y se presenta como un porcentaje. El término "superficie ósea específica" se refiere a la superficie ósea total (BS) para un volumen dado de hueso. Por tanto, la superficie ósea específica se calcula como BS/TV. Otras medidas óseas habituales incluyen: área ósea (B.Ar), número trabecular (Tb.N); espaciado trabecular (Tb.Sp); N.Oc (número de osteoclasto); Oc.S (área superficial de osteoclasto); Oc.S/BS; número de osteoblasto (N.Ob), área superficial de osteoblasto (Ob.S), perímetro de osteoblasto (Ob.Pm), y derivados de cualquiera de las medidas mencionadas. Un mayor Oc.S/BS es un indicador de un aumento de la resorción ósea por osteoclastos.

D. Factor de crecimiento transformante beta (TGFβ)

Los TGFβ son citocinas multifuncionales que están implicadas en la proliferación y diferenciación celular, en el desarrollo embrionario, en la formación de matriz extracelular, en el desarrollo óseo, en la curación de heridas, en la hematopoiesis y en las respuestas inmunes e inflamatorias (Roberts et al., 1981; Border et al., 1995a). La proteína de TGFβ secretada se divide en un péptido asociado a latencia (LAP) y un péptido de TGFβ maduro, y se encuentra en formas latentes y activas. El péptido de TGFβ maduro forma tanto homodímeros como heterodímeros con otros

miembros de la familia de TGFβ. El TGFβ se puede purificar a partir de cualquier fuente natural, o puede producirse sintéticamente (p. ej., mediante el uso de tecnología de ADN recombinante). Preferiblemente, la molécula de TGFβ procede de un humano, lo que se conoce en la presente memoria como "hTGF".

Existen tres isoformas de TGFβ humano: TGFβ1, TGFβ2 y TGFβ3 (números de acceso Swiss Prot P01137, P08112 y P10600, respectivamente) que, en su estado biológicamente activo, son homodímeros de 25 kDa que comprenden dos monómeros de 112 aminoácidos unidos por un puente de disulfuro inter-cadena. El TGFβ1 difiere del TGFβ2 en 27 cambios de aminoácidos principalmente conservativos, y del TGFβ3 en 22. Estas diferencias han sido mapeadas sobre la estructura 3D del TGFβ determinada mediante cristalografía de rayos X (Schlunegger et al., 1992; Peer et al., 1996) y se han definido las regiones de unión a receptor (Griffith et al., 1996; Qian et al., 1996).

10 hTGFβ1 (SEQ ID NO: 1)

5

15

30

40

MPPSGLRLLL LLLPLLWLLV LTPGRPAAGL STCKTIDMEL VKRKRIEAIR GQILSKLRLA 60 SPPSQGEVPP GPLPEAVLAL YNSTRDRVAG ESAEPEPEPE ADYYAKEVTR VLMVETHNEI 120 YDKFKQSTHS IYMFFNTSEL REAVPEPVLL SRAELRLLRL KLKVEQHVEL YQKYSNNSWR 180 YLSNRLLAPS DSPEWLSFDV TGVVRQWLSR GGEIEGFRLS AHCSCDSRDN TLQVDINGFT 240 TGRRGDLATI HGMNRPFLLL MATPLERAQH LQSSRHRRAL DTNYCFSSTE KNCCVRQLYI 300 DFRKDLGWKW IHEPKGYHAN FCLGPCPYIW SLDTQYSKVL ALYNQHNPGA SAAPCCVPQA 360 LEPLPIVYYV GRKPKVEQLS NMIVRSCKCS 390 (SEQ ID NO: 1)

hTGFβ2 (SEQ ID NO: 2)

MHYCVLSAFL ILHLVTVALS LSTCSTLDMD QFMRKRIEAI RGQILSKLKL TSPPEDYPEP 60
20 EEVPPEVISI YNSTRDLLQE KASRRAAACE RERSDEEYYA KEVYKIDMPP FFPSENAIPP 120
TFYRPYFRIV RFDVSAMEKN ASNLVKAEFR VFRLQNPKAR VPEQRIELYQ ILKSKDLTSP 180
TQRYIDSKVV KTRAEGEWLS FDVTDAVHEW LHHKDRNLGF KISLHCPCCT FVPSNNYIIP 240
NKSEELEARF AGIDGTSTYT SGDQKTIKST RKKNSGKTPH LLLMLLPSYR LESQQTNRRK 300
KRALDAAYCF RNVQDNCCLR PLYIDFKRDL GWKWIHEPKG YNANFCAGAC PYLWSSDTQH 360
25 SRVLSLYNTI NPEASASPCC VSQDLEPLTI LYYIGKTPKI EQLSNMIVKS CKCS 414 (SEQ ID NO: 2)

hTGFβ3 (SEQ ID NO: 3)

MKMHLQRALV VLALLNFATV SLSLSTCTTL DFGHIKKKRV EAIRGQILSK LRLTSPPEPT 60 VMTHVPYQVL ALYNSTRELL EEMHGEREEG CTQENTESEY YAKEIHKFDM IQGLAEHNEL 120 AVCPKGITSK VFRFNVSSVE KNRTNLFRAE FRVLRVPNPS SKRNEQRIEL FQILRPDEHI 180 AKQRYIGGKN LPTRGTAEWL SFDVTDTVRE WLLRRESNLG LEISIHCPCH TFQPNGDILE 240 NIHEVMEIKF KGVDNEDDHG RGDLGRLKKQ KDHHNPHLIL MMIPPHRLDN PGQGGQRKKR 300 ALDTNYCFRN LEENCCVRPL YIDFRQDLGW KWVHEPKGYY ANFCSGPCPY LRSADTTHST 360 VLGLYNTLNP EASASPCCVP QDLEPLTILY YVGRTPKVEQ LSNMVVKSCK CS 412 (SEQ ID NO: 3)

Existen tres receptores de TGFβ en humanos, receptor de TGFβ 1, 2 y 3, que pueden distinguirse por sus propiedades estructurales y funcionales, que incluyen la afinidad por los miembros de la familia de proteínas TGFβ. La unión de una proteína de TGFβ a un complejo receptor transmembrana de TGFβ homodimérico o heterodimérico activa el mecanismos de señalización de TGFβ canónico mediado por proteínas SMAD intracelulares.

La desregulación de TGFβ conduce a procesos patológicos que, en humanos, han sido implicados en numerosas afecciones, tales como defectos de nacimiento, cáncer, enfermedades autoinmunes inflamatorias crónicas y enfermedades fibróticas (Border et al., 1994; Border et al., 1995b).

Los TGF β humanos son muy similares a los TGF β de ratón: el TGF β 1 humano solo tiene una diferencia de aminoácido respecto al TGF β 1 de ratón; el TGF β 2 humano solo tiene tres diferencias de aminoácido respecto al TGF β 2 de ratón: y el TGF β 3 humano es idéntico al TGF β 3 de ratón.

- Moléculas que se unen a factor de crecimiento transformante beta (TGFβ)
- 45 La presente divulgación describe métodos que comprenden administrar a un sujeto una molécula que se une a TGFβ. El ligando de TGFβ puede ser cualquier molécula de unión, tal como un anticuerpo, una proteína de fusión (p. ej., una inmunoadhesina), un siARN, un ácido nucleico, un aptámero, una proteína o un compuesto orgánico de molécula pequeña.
- En determinados ejemplos, la divulgación describe un anticuerpo que se une a TGFβ (un anticuerpo anti-TGFβ), o una variante del mismo, o un fragmento de unión a antígeno del mismo. Los anticuerpos anti-TGFβ se unen específicamente a una proteína, un fragmento de polipéptido o un epítopo de TGFβ. La molécula que se une a TGFβ puede proceder de cualquier especie.

En determinados ejemplos, el anticuerpo que se une a $TGF\beta$ es un anticuerpo humanizado, un anticuerpo completamente humano, o una variante del mismo, o un fragmento de unión a antígeno del mismo. Los anticuerpos

anti-TGF β preferidos previenen la unión de TGF β con sus receptores e inhiben la actividad biológica de TGF β (p. ej., la señalización SMAD intracelular mediada por receptor de TGF β y la actividad celular resultante).

En determinados ejemplos, el anticuerpo, o fragmento de unión a antígeno del mismo, es Lerdelimumab (CAT-152), Metelimumab (CAT-192), Fresolimumab (GC-1008), LY2382770, STX-100 ó IMC-TR1.

5 En determinados ejemplos específicos, el anticuerpo que se une a TGFβ comprende una región variable de cadena pesada (VH) que comprende la secuencia de aminoácidos de una cualquiera, o más, de las siguientes regiones determinantes de la complementariedad (CDR):

```
HCDR1 – SNVIS (SEQ ID NO: 4);
HCDR2 – GVIPIVDIANYAQRFKG (SEQ ID NO: 5); o
```

10 HCDR3 - TLGLVLDAMDY (SEQ ID NO: 6).

15

25

En otros ejemplos específicos, el anticuerpo que se une a TFGβ comprende una región variable de cadena ligera (VL) que comprende la secuencia de aminoácidos de una cualquiera, o más, de las siguientes regiones determinantes de la complementariedad (CDR):

```
LCDR1 – RASQSLGSSYLA (SEQ ID NO: 7);
LCDR2 – GASSRAP (SEQ ID NO: 8); o
LCDR3 – QQYADSPIT (SEQ ID NO: 9).
```

En un ejemplo específico, el anticuerpo que se une a TGFβ comprende una región variable de cadena pesada (VH) que comprende las secuencias de aminoácidos de las SEQ ID NO: 4, 5 y 6.

En otro ejemplo específico, el anticuerpo que se une a TGFβ comprende una región variable de cadena ligera (VL) que comprende las secuencias de aminoácidos de las SEQ ID NO: 7, 8 y 9.

En más ejemplos específicos, el anticuerpo que se une a TGFβ comprende una región variable de cadena pesada que comprende las secuencias de aminoácidos de las SEQ ID NO: 4, 5 y 6; y una región variable de cadena ligera que comprende las secuencias de aminoácidos de las SEQ ID NO: 7, 8 y 9.

En una realización específica, el anticuerpo que se une a TGFβ comprende una región variable de cadena pesada que comprende la secuencia de aminoácidos de la SEQ ID NO: 10:

QVQLVQSGAE VKKPGSSVKV SCKASGYTFS <u>SNVIS</u>WVRQA PGQGLEWMG<u>G VIPIVDIANY AQRFKG</u>RVTI TADESTSTTY MELSSLRSED TAVYYCASTL GLVLDAMDYW GQGTLVTVSS (SEQ ID NO: 10).

En otra realización específica, el anticuerpo que se une a TGFβ comprende una región variable de cadena ligera que comprende la secuencia de aminoácidos de la SEQ ID NO: 11:

30 ETVLTQSPGT LSLSPGERAT LSC<u>RASQSLG SSYLA</u>WYQQK PGQAPRLLIY <u>GASSRAP</u>GIP DRFSGSGSGT DFTLTISRLE PEDFAVYYCQ QYADSPITFG QGTRLEIK (SEQ ID NO: 11).

En realizaciones más específicas, el anticuerpo que se une a TGFβ comprende una región variable de cadena pesada que comprende la secuencia de aminoácidos de la SEQ ID NO: 10; y una región variable de cadena ligera que comprende la secuencia de aminoácidos de la SEQ ID NO: 11.

- 35 En algunos ejemplos, el anticuerpo que se une a TGFβ comprende además una región constante, p. ej., una región constante de IgG humana. En algunos ejemplos, la región constante es una región constante de IgG4 humana modificada. Preferiblemente, la región constante de IgG4 comprende la secuencia de aminoácidos de la SEQ ID NO: 12:
- ASTKGPSVFP LAPCSRSTSE STAALGCLVK DYFPEPVTVS WNSGALTSGV HTFPAVLQSS GLYSLSSVVT VPSSSLGTKT YTCNVDHKPS NTKVDKRVES KYGPPCPSCP APEFLGGPSV FLFPPKPKDT LMISRTPEVT CVVVDVSQED PEVQFNWYVD GVEVHNAKTK PREEQFNSTY RVVSVLTVLH QDWLNGKEYK CKVSNKGLPS SIEKTISKAK GQPREPQVYT LPPSQEEMTK NQVSLTCLVK GFYPSDIAVE WESNGQPENN YKTTPPVLDS DGSFFLYSRL TVDKSRWQEG NVFSCSVMHE ALHNHYTQKS LSLSLGK (SEQ ID NO: 12).

En otros ejemplos, la región constante es una región constante Cκ humana. Preferiblemente, la región constante Cκ comprende la secuencia de aminoácidos de la SEQ ID NO: 13:

RTVAAPSVFI FPPSDEQLKS GTASVVCLLN NFYPREAKVQ WKVDNALQSG NSQESVTEQD SKDSTYSLSS TLTLSKADYE KHKVYACEVT HQGLSSPVTK SFNRGEC (SEQ ID NO: 13).

En ejemplos específicos, el anticuerpo que se une a TGFβ comprende una cadena pesada que comprende la secuencia de aminoácidos de la SEQ ID NO: 14:

QVQLVQSGAE VKKPGSSVKV SCKASGYTFS <u>SNVIS</u>WVRQA PGQGLEWMG<u>G VIPIVDIANY AQRFKG</u>RVTI TADESTSTTY MELSSLRSED TAVYYCAS<u>TL GLVLDAMDY</u>W GQGTLVTVSS ASTKGPSVFP LAPCSRSTSE STAALGCLVK DYFPEPVTVS WNSGALTSGV HTFPAVLQSS GLYSLSSVVT VPSSSLGTKT YTCNVDHKPS NTKVDKRVES KYGPPCPSCP APEFLGGPSV FLFPPKPKDT LMISRTPEVT CVVVDVSQED PEVQFNWYVD GVEVHNAKTK PREEQFNSTY RVVSVLTVLH QDWLNGKEYK CKVSNKGLPS SIEKTISKAK GQPREPQVYT LPPSQEEMTK NQVSLTCLVK GFYPSDIAVE WESNGQPENN YKTTPPVLDS DGSFFLYSRL TVDKSRWQEG NVFSCSVMHE ALHNHYTQKS LSLSLGK (SEQ ID NO: 14).

Posiciones 1-120: región variable de la cadena pesada (VH). Las CDR (regiones determinantes de

la complementariedad, según la definición de Kabat) están subrayadas.

10 Posiciones 121-447: región constante de IgG4 humana (SwissProt IGHG4 HUMAN).

En otros ejemplos específicos, el anticuerpo que se une a TGFβ comprende una cadena ligera que comprende la secuencia de aminoácidos de la SEQ ID NO: 15:

ETVLTQSPGT LSLSPGERAT LSC<u>RASQSLG SSYLA</u>WYQQK PGQAPRLLIY <u>GASSRAPGIP</u> DRFSGSGSGT DFTLTISRLE PEDFAVYYC<u>Q QYADSPIT</u>FG QGTRLEIKRT VAAPSVFIFP PSDEQLKSGT ASVVCLLNNF YPREAKVQWK VDNALQSGNS QESVTEQDSK DSTYSLSSTL TLSKADYEKH KVYACEVTHQ GLSSPVTKSF NRGEC (SEQ ID NO: 15).

Posiciones 1-108: región variable de la cadena ligera (VL). Las CDR (regiones determinantes de la

complementariedad, según la definición de Kabat) están subrayadas.

Posiciones 109-215: región constante de Ck humana.

20 En otros ejemplos, el anticuerpo que se une a TGFβ comprende una cadena pesada que comprende la secuencia de aminoácidos de la SEQ ID NO: 14, y una cadena ligera que comprende la secuencia de aminoácidos de la SEQ ID NO: 15.

En algunos ejemplos, el anticuerpo que se une a TGFβ es expresado por una célula hospedante como que comprende secuencias líder. La secuencia líder preferiblemente comprende una secuencia de aminoácidos de entre 1 y 30 aminoácidos de longitud, más preferiblemente de 25-25 aminoácidos, y lo más preferiblemente de 19 aminoácidos. La cadena pesada, la cadena ligera, o ambas, la cadena pesada y la cadena ligera, pueden comprender una secuencia líder.

Por ejemplo, la secuencia líder de cadena ligera o pesada puede comprender la secuencia de aminoácidos de la SEQ ID NO: 16: MGWSCIILFL VATATGVHS (SEQ ID NO: 16). Por consiguiente, una célula hospedante que expresa una cadena pesada sin procesar puede comprender la secuencia de aminoácidos de la SEQ ID NO: 17:

MGWSCIILFL VATATGVHSQ VQLVQSGAEV KKPGSSVKVS CKASGYTFS<u>S</u> 50 NVISWVRQAP GQGLEWMG<u>GV IPIVDIANYA QRFKG</u>RVTIT ADESTSTTYM 100 ELSSLRSEDT AVYYCAS<u>TLG LVLDAMDY</u>WG QGTLVTVSSA STKGPSVFPL 150 APCSRSTSES TAALGCLVKD YFPEPVTVSW NSGALTSGVH TFPAVLQSSG 200

35 LYSLSSVVTV PSSSLGTKTY TCNVDHKPSN TKVDKRVESK YGPPCPSCPA 250
PEFLGGPSVF LFPPKPKDTL MISRTPEVTC VVVDVSQEDP EVQFNWYVDG 300
VEVHNAKTKP REEQFNSTYR VVSVLTVLHQ DWLNGKEYKC KVSNKGLPSS 350
IEKTISKAKG QPREPQVYTL PPSQEEMTKN QVSLTCLVKG FYPSDIAVEW 400
ESNGQPENNY KTTPPVLDSD GSFFLYSRLT VDKSRWQEGN VFSCSVMHEA 450

40 LHNHYTQKSL SLSLGK 466 (SEQ ID NO: 17).

donde

25

30

Posiciones 1-19: secuencia líder.

Posiciones 20-139: región variable de la cadena pesada (VH). Las CDR (regiones determinantes de

la complementariedad, según la definición de Kabat) están subrayadas.

45 Posiciones 140-466: región constante de IgG4 humana (SwissProt IGHG4 HUMAN).

En otros ejemplos, una célula hospedante que expresa una cadena ligera no procesada puede comprender el aminoácido de la SEQ ID NO: 18:

MGWSCIILFL VATATGVHSE TVLTQSPGTL SLSPGERATL SC<u>RASQSLGS</u> 50 <u>SYLA</u>WYQQKP GQAPRLLIY<u>G ASSRAP</u>GIPD RFSGSGSGTD

50 FTLTISRLEP 100

EDFAVYYC<u>QQ YADSPIT</u>FGQ GTRLEIKRTV AAPSVFIFPP SDEQLKSGTA 150 SVVCLLNNFY PREAKVQWKV DNALQSGNSQ ESVTEQDSKD STYSLSSTLT 200 LSKADYEKHK VYACEVTHQG LSSPVTKSFN RGEC 234 (SEQ ID NO: 18).

donde

10

15

20

40

45

50

55

Posiciones 1-19: secuencia líder.

Posiciones 20-127: región variable de la cadena ligera (VL). Las CDR (regiones determinantes de la

complementariedad, según la definición de Kabat) están subrayadas.

5 Posiciones 128-234: región constante de Cκ humana.

En un ejemplo, el anticuerpo que se une a $TGF\beta$ es un anticuerpo humanizado o completamente humano. Los ejemplos de isotipos de anticuerpo humanizado y completamente humano incluyen IgA, IgD, IgE, IgG e IgM. Preferiblemente, el anticuerpo anti- $TGF\beta$ es un anticuerpo IgG. Existen cuatro formas de IgG. Preferiblemente, el anticuerpo anti- $TGF\beta$ es un anticuerpo IgG4. En un ejemplo de la invención, el anticuerpo anti- $TGF\beta$ es un anticuerpo IgG4 humanizado. En un ejemplo, el anticuerpo anti- $TGF\beta$ es un anticuerpo IgG4 completamente humano.

En la realización más preferida de la invención, el anticuerpo anti-TGFβ es un anticuerpo anti-TGFβ lgG4 que comprende una cadena pesada que comprende la secuencia de aminoácidos de la SEQ ID NO: 14 y una cadena ligera que comprende la secuencia de aminoácidos de la SEQ ID NO: 15. En un ejemplo alternativo de la invención, el anticuerpo anti-TGFβ es un anticuerpo anti-TGFβ lgG4 que comprende una región variable de cadena pesada y una región variable de cadena ligera, comprendiendo la región variable de cadena pesada 3 regiones determinantes de la complementariedad (CDR) que comprenden las secuencias de aminoácidos de las SEQ ID NOs: 4, 5 y 6, y la región variable de la cadena ligera que comprende 3 CDR que comprenden las secuencias de aminoácidos de las SEQ ID NOs: 7, 8 y 9. La identificación, el aislamiento, la preparación y la caracterización de anticuerpos anti-TGFβ, que incluyen el anticuerpo anti-TGFβ que comprende una secuencia de aminoácidos de cadena pesada que comprende la SEQ ID NO: 14 y una secuencia de aminoácidos de cadena ligera que comprende la SEQ ID NO: 15, y las secuencias CDR correspondientes a las SEQ ID NO: 4-9, han sido descritos con detalle en la Patente de los EE.UU. nº 8.383.780.

Preferiblemente, el anticuerpo o fragmento de unión a antígeno del mismo es "pan- específico" y se une a TGFβ1, TGFβ2 y TGFβ3 humanos. Más preferiblemente, el anticuerpo o fragmento de unión a antígeno del mismo se une a TGFβ1, TGFβ2 y TGFβ3 humanos y actúa como un antagonista. De la manera más preferida, el anticuerpo o fragmento de unión a antígeno del mismo se une a TGFβ1, TGFβ2 y TGFβ3 humanos, y neutraliza TGFβ1, TGFβ2 y TGFβ3 humanos. Los ejemplos de anticuerpos monoclonales (mAbs) anti-TGFβ panespecíficos adecuados para uso en los métodos de la invención se describen en las Patentes de EE.UU. nº 7.723.476 y 8.383.780.

30 El 1D11.16 es un ejemplo de anticuerpo anti-TGFβ panespecífico murino que neutraliza TGFβ1, TGFβ2 y TGFβ3 de humano y de ratón en un amplio rango de ensayos in vitro (Dasch et al., 1989; Dasch et al., 1996; R&D System, hoja de producto para MAB1835) y es eficaz en estudios de prueba de principios en modelos animales de fibrosis (Ling et al., 2003; Miyajima et al., 2000; Schneider et al., 1999; Khanna et al., 1999; Shenkar et al., 1994). Sin embargo, puesto que el 1D11.16 es un anticuerpo monoclonal murino (Dasch et al., 1989, Dasch et al., 1996) no es uno preferido para uso terapéutico en humanos. Por consiguiente, en determinadas realizaciones, se emplean variantes o derivados del anticuerpo 1D11.16 en los métodos descritos en la presente memoria.

Tal como se ha indicado antes, determinados ejemplos también incluyen variantes o derivados de anticuerpos anti-TGFß. Específicamente, la divulgación describe variantes del anticuerpo anti-TGFß que es un anticuerpo anti-TGFß IgG4 que comprende una cadena pesada que comprende la secuencia de aminoácidos de la SEQ ID NO: 14, y una cadena ligera que comprende la secuencia de aminoácidos de la SEQ ID NO: 15. En otros ejemplos, la divulgación describe variantes o derivados del anticuerpo 1D11.16. Las variantes de anticuerpos anti-TGFβ pueden presentar propiedades fisicoquímicas similares en base a su elevada similitud, y por tanto también se incluyen dentro del alcance de la invención. Las variantes se definen como anticuerpos con una secuencia de aminoácidos que es homóloga en al menos un 80%, al menos un 90%, al menos un 95% o al menos un 97%, p. ej., al menos un 98% o un 99%, a un anticuerpo anti-TGFβ descrito en la presente memoria, y capaz de competir por la unión a un polipéptido de TGFβ, un fragmento de polipéptido de TGFβ o un epítopo de TGFβ. Preferiblemente, las variantes aliviarán, neutralizarán o si no inhibirán la unión de TGFβ con sus receptores y la actividad biológica del TGFβ (p. ej., la señalización SMAD intracelular mediada por receptor de TGFβ y la actividad celular resultante). La determinación de la competencia por la unión a la diana se puede realizar empleando métodos rutinarios conocidos por los especialistas en la técnica. Preferiblemente, las variantes son anticuerpos humanos, y preferiblemente son moléculas de IgG4. En las realizaciones preferidas, una variante es idéntica en al menos un 90%, un 95%, un 96%, un 97%. un 98% ó un 99% en secuencia de aminoácidos con respecto al anticuerpo anti-TGFβ IgG4 que comprende una cadena pesada que comprende la secuencia de aminoácidos de la SEQ ID NO: 14, y una cadena ligera que comprende la secuencia de aminoácidos de la SEQ ID NO: 15. El término "variante" se refiere a un anticuerpo que comprende una secuencia de aminoácidos que está alterada en uno o más aminoácidos en comparación con las secuencias de aminoácidos del anticuerpo anti-TGFB. La variante puede tener modificaciones de secuencia conservativas, que incluyen sustituciones, modificaciones, adiciones y eliminaciones de aminoácidos.

Los ejemplos de modificaciones incluyen, aunque sin limitación, glicosilación, acetilación, pegilación, fosforilación, amidación, derivatización con grupos protectores/bloqueantes conocidos, ruptura proteolítica, y enlace a un ligando celular u otra proteína. Se pueden introducir modificaciones de aminoácidos mediante técnicas estándar conocidas en la técnica, tales como mutagénesis dirigida al sitio, clonación molecular, mutagénesis dirigida a oligonucleótidos y mutagénesis mediada por PCR aleatoria en los ácidos nucleicos que codifican los anticuerpos. Las sustituciones de aminoácidos conservativas incluyen aquellas en las que el residuo de aminoácido es reemplazado con un residuo de aminoácido que tiene propiedades estructurales o químicas similares. Las familias de residuos de aminoácidos que tienen cadenas laterales similares han sido definidas en la técnica. Dichas familias incluyen aminoácidos con cadenas laterales básicas (p. ej., lisina, arginina, histidina), cadenas laterales ácidas (p. ej., ácido aspártico, ácido glutámico), cadenas laterales polares sin carga (p. ej., asparagina, glutamina, serina, treonina, tirosina, cisteína, triptófano), cadenas laterales no polares (p. ej., glicina, alanina, valina, leucina, isoleucina, prolina, fenilalanina, metionina), cadenas laterales beta-ramificadas (p. ej., treonina, valina, isoleucina), y cadenas laterales aromáticas (p. ej., tirosina, fenilalanina, triptófano). Será evidente para el especialista en la técnica que también se pueden emplear otras clasificaciones de familias de residuos de aminoácidos diferentes a la mencionada. Adicionalmente, una variante puede tener sustituciones de aminoácidos no conservativas, p. ej., el reemplazamiento de un aminoácido con un residuo de aminoácido que tenga diferentes propiedades estructurales o químicas. Variaciones menores similares también pueden incluir eliminaciones o inserciones de aminoácidos, o ambas. Mediante el uso de programas de ordenador bien conocidos en la técnica se puede obtener una guía para determinar qué residuos de aminoácidos se pueden sustituir, modificar, insertar o eliminar sin suprimir la actividad inmunológica. Se pueden usar algoritmos de ordenador tales como, entre otros, Gap o Bestfit, que son conocidos por los especialistas en la técnica, para alinear de forma óptima secuencias de aminoácidos y compararlas y definir residuos de aminoácido similares o idénticos. Las variantes pueden tener las mismas o diferentes, tanto mayores como menores, afinidades de unión en relación a un anticuerpo anti-TGFβ, pero siguen siendo capaces de unirse específicamente a TGFβ, y pueden presentar la misma, superior o inferior, actividad biológica que el anticuerpo anti-TGFβ.

Los ejemplos descritos en la presente memoria también incluyen fragmentos de unión a antígeno de los anticuerpos anti-TGFβ. Las expresiones "dominio de unión a antígeno", "región de unión a antígeno", "fragmento de unión a antígeno" y términos similares se refieren a la porción de un anticuerpo que comprende los residuos de aminoácido que interaccionan con un antígeno y confieren al agente de unión su especificidad y afinidad por el antígeno (p. ej., las regiones determinantes de la complementariedad (CDR)). La región de unión a antígeno puede derivar de cualquier especie animal, tal como roedores (p. ej., conejo, rata o hámster) y humanos. Preferiblemente, la región de unión a antígeno será de origen humano. Los ejemplos no limitantes de fragmentos de unión a antígeno incluyen: fragmentos Fab, fragmentos F(ab')2, fragmentos Fd, Fragmentos Fv, moléculas Fv de cadena sencilla (scFv), fragmentos dAb, y unidades de reconocimiento mínimo que consisten en los residuos de aminoácido que imitan la región hipervariable del anticuerpo.

F. Administración terapéutica

10

15

20

35

40

45

50

55

60

Los métodos descritos en la presente memoria comprenden la administración de una cantidad terapéuticamente efectiva de un anticuerpo que se une a $TGF\beta$ a un sujeto. Tal como se usa en la presente memoria, la frase "cantidad terapéuticamente efectiva" significa una dosis de anticuerpo que se une a $TGF\beta$ que da como resultado una mejoría detectable en uno o más síntomas asociados a la OI, o que produce un efecto biológico (p. ej., un descenso en el nivel de un biomarcador particular) que se correlaciona con un(os) mecanismo(s) patológico(s) subyacente(s) que da(n) lugar a la afección o a el(los) síntoma(s) de la osteogénesis imperfecta. Por ejemplo, una dosis de anticuerpo que se une a $TGF\beta$ que aumenta la densidad mineral ósea, aumenta la masa ósea y/o la resistencia ósea, reduce las fracturas óseas y/o dentales, y/o mejora cualquier parámetro diagnóstico de OI, es considerada una cantidad terapéuticamente efectiva.

En una realización, la densidad mineral ósea, la masa ósea y/o la resistencia ósea aumentan aproximadamente entre un 5% y un 200% tras el tratamiento con un anticuerpo que se une a TGFβ. En determinadas realizaciones, la densidad mineral ósea, la masa ósea y/o la resistencia ósea aumentan entre aproximadamente un 5% y aproximadamente el 10%, aproximadamente entre el 10% y el 15%, aproximadamente entre 15% y el 20%, aproximadamente entre el 20% y el 25%, aproximadamente entre el 25% y el 30%, aproximadamente entre el 30% y el 35%, aproximadamente entre el 35% y el 40%, aproximadamente entre el 40% y el 45%, aproximadamente entre el 45% y el 50%, aproximadamente entre el 50% y el 55%, aproximadamente entre el 55% y el 60%, aproximadamente entre el 60% y el 65%, aproximadamente entre el 65% y el 70%, aproximadamente entre el 70% y el 75%, aproximadamente entre el 75% y el 80%, aproximadamente entre el 80% y el 85%, aproximadamente entre el 85% y el 90%, aproximadamente entre el 90% y el 95%, aproximadamente entre el 95% y el 100%, aproximadamente entre el 100% y el 105%, aproximadamente entre el 105% y el 110%, aproximadamente entre el 110% y el 115%, aproximadamente entre el 115% y el 120%, aproximadamente entre el 120% y el 125%, aproximadamente entre el 125% y el 130%, aproximadamente entre el 130% y el 135%, aproximadamente entre el 135% y el 140%, aproximadamente entre el 140% y el 145%, aproximadamente entre el 145% y el 150%, aproximadamente entre el 150% y el 155%, aproximadamente entre el 155% y el 160%, aproximadamente entre el 160% y el 165%, aproximadamente entre el 165% y el 170%, aproximadamente entre el 170% y el 175%, aproximadamente entre el 175% y el 180%, aproximadamente entre el 180% y el 185%, aproximadamente entre el 185% y el 190%, aproximadamente entre el 190% y el 195%, o aproximadamente entre el 195% y el 200%, tras el tratamiento con un anticuerpo que se une a TGFβ.

En determinadas realizaciones, una dosis de un anticuerpo que reduce los biomarcadores de resorción ósea en suero, tal como la hidroxiprolina urinaria, la piridinolina total urinaria (PYD), la desoxipiridinolina libre urinaria (DPD), el N-telopéptido reticulado de colágeno de tipo I urinario (NTX), el C-telopéptido reticulado de colágeno de tipo I urinario o en suero (CTX), la sialoproteína ósea (BSP), la osteopontina (OPN) y la fosfatasa ácida 5b resistente a tartrato (TRAP), se considera una cantidad terapéuticamente efectiva. En una realización, los biomarcadores de resorción ósea en suero se reducen entre aproximadamente un 5% y aproximadamente un 200% tras el tratamiento con un anticuerpo que se une a TGFβ.

En una realización, los biomarcadores de resorción ósea en suero, tales como la hidroxiprolina urinaria, la piridinolina total urinaria (PYD), la desoxipiridinolina libre urinaria (DPD), el N-telopéptido reticulado de colágeno de tipo I urinario (NTX), el C-telopéptido reticulado de colágeno de tipo I urinario o en suero (CTX), la sialoproteína ósea (BSP), la osteopontina (OPN) y la fosfatasa ácida 5b resistente a tartrato (TRAP), disminuyen entre aproximadamente un 5% y aproximadamente el 10%, aproximadamente entre el 10% y el 15%, aproximadamente entre 15% y el 20%, aproximadamente entre el 20% y el 25%, aproximadamente entre el 25% y el 30%, aproximadamente entre el 30% y el 35%, aproximadamente entre el 35% y el 40%, aproximadamente entre el 40% y el 45%, aproximadamente entre el 45% y el 50%, aproximadamente entre el 50% y el 55%, aproximadamente entre el 55% y el 60%, aproximadamente entre el 60% y el 65%, aproximadamente entre el 65% y el 70%, aproximadamente entre el 70% y el 75%, aproximadamente entre el 75% y el 80%, aproximadamente entre el 80% y el 85%, aproximadamente entre el 85% y el 90%, aproximadamente entre el 90% y el 95%, aproximadamente entre el 95% y el 100%, aproximadamente entre el 100% y el 105%, aproximadamente entre el 105% y el 110%, aproximadamente entre el 110% y el 115%, aproximadamente entre el 115% y el 120%, aproximadamente entre el 120% y el 125%, aproximadamente entre el 125% y el 130%, aproximadamente entre el 130% y el 135%, aproximadamente entre el 135% y el 140%, aproximadamente entre el 140% y el 145%, aproximadamente entre el 145% y el 150%, aproximadamente entre el 150% y el 155%, aproximadamente entre el 155% y el 160%, aproximadamente entre el 160% y el 165%, aproximadamente entre el 165% y el 170%, aproximadamente entre el 170% y el 175%, aproximadamente entre el 175% y el 180%, aproximadamente entre el 180% y el 185%, aproximadamente entre el 185% y el 190%, aproximadamente entre el 190% y el 195%, o aproximadamente entre el 195% y el 200%, tras el tratamiento con un anticuerpo que se une a TGFB.

10

15

20

25

30

35

40

45

50

60

En determinadas realizaciones, una dosis de un anticuerpo que aumenta los biomarcadores de deposición ósea en suero, tales como la fosfatasa alcalina total, la fosfatasa alcalina específica de hueso, la osteocalcina y el procolágeno de tipo I (C-terminal/N-terminal), se considera una cantidad terapéuticamente efectiva. En una realización, los biomarcadores de deposición ósea en suero aumentan entre aproximadamente un 5% y aproximadamente un 200% tras el tratamiento con un anticuerpo que se une a TGFβ.

En una realización, los biomarcadores de deposición ósea en suero, tales como la fosfatasa alcalina total, la fosfatasa alcalina específica de hueso, la osteocalcina y el procolágeno de tipo I (C-terminal/N-terminal), aumentan entre aproximadamente un 5% y aproximadamente un 10%, aproximadamente entre el 10% y el 15%, aproximadamente entre 15% y el 20%, aproximadamente entre el 20% y el 25%, aproximadamente entre el 25% y el 30%, aproximadamente entre el 30% y el 35%, aproximadamente entre el 35% y el 40%, aproximadamente entre el 40% y el 45%, aproximadamente entre el 45% y el 50%, aproximadamente entre el 50% y el 55%, aproximadamente entre el 55% y el 60%, aproximadamente entre el 60% y el 65%, aproximadamente entre el 65% y el 70%, aproximadamente entre el 70% y el 75%, aproximadamente entre el 75% y el 80%, aproximadamente entre el 80% y el 85%, aproximadamente entre el 85% y el 90%, aproximadamente entre el 90% y el 95%, aproximadamente entre el 95% y el 100%, aproximadamente entre el 100% y el 105%, aproximadamente entre el 105% y el 110%, aproximadamente entre el 110% y el 115%, aproximadamente entre el 115% y el 120%, aproximadamente entre el 120% y el 125%, aproximadamente entre el 125% y el 130%, aproximadamente entre el 130% y el 135%, aproximadamente entre el 135% y el 140%, aproximadamente entre el 140% y el 145%, aproximadamente entre el 145% y el 150%, aproximadamente entre el 150% y el 155%, aproximadamente entre el 155% y el 160%, aproximadamente entre el 160% y el 165%, aproximadamente entre el 165% y el 170%, aproximadamente entre el 170% y el 175%, aproximadamente entre el 175% y el 180%, aproximadamente entre el 180% y el 185%, aproximadamente entre el 185% y el 190%, aproximadamente entre el 190% y el 195%, o aproximadamente entre el 195% y el 200%, tras el tratamiento con un anticuerpo que se une a TGFβ.

Otras realizaciones incluyen la administración de una dosis terapéuticamente efectiva de un anticuerpo que mejore la función de órganos no esqueletales afectados por la OI. Por ejemplo, una dosis de anticuerpo que se une a TGF β que mejora la función auditiva, pulmonar y/o renal se considera una cantidad terapéuticamente efectiva.

De acuerdo con los métodos descritos en la presente memoria, una cantidad terapéuticamente efectiva de un anticuerpo que se une a TGFβ es aquella administrada a un sujeto que variará dependiendo de la edad y el tamaño (p. ej., el peso corporal o el área superficial del cuerpo) del sujeto, así como de la ruta de administración, y de otros factores bien conocidos por los especialistas en la técnica.

En determinados ejemplos de realización, el anticuerpo anti-TGFβ se administra al sujeto como una dosis subcutánea. Otros ejemplos de modos de administración incluyen, aunque sin limitación, la ruta intradérmica, intramuscular, intraperitoneal, intravenosa, intranasal, epidural y oral. La composición puede administrarse mediante cualquier ruta adecuada, por ejemplo por infusión o inyección de bolo, por absorción a través del recubrimiento

epitelial o mucocutáneo (p. ej., mucosa oral, mucosa rectal e intestinal, etc.) y puede administrarse conjuntamente con otros agentes biológicamente activos. La administración puede ser sistémica o local. El anticuerpo de TGFβ puede administrarse parenteralmente o subcutáneamente.

Se conocen diversos sistemas de administración y se pueden usar para administrar la composición farmacéutica, p. ej., encapsulación en liposomas, micropartículas, microcápsulas, endocitosis mediada por receptor (véase, p. ej., Wu et al. (1987) J. Biol. Chem. 262: 4429-4432). Las composiciones terapéuticas se administrarán con vehículos, excipientes y otros agentes adecuados, que se incorporan a las formulaciones para proporcionar una mejora en la transferencia, administración, tolerancia, y otras cualidades similares. Una multitud de formulaciones apropiadas se puede encontrar en el formulario conocido por todos los químicos farmacéuticos: Remington's Pharmaceutical Sciences, Mack Publishing Company, Easton, PA. Estas formulaciones incluyen, por ejemplo, polvos, pastas, ungüentos, gelatinas, ceras, aceites, lípidos, vesículas que contienen lípidos (catiónicos o aniónicos) (tal como LIPOFECTINTM), conjugados de ADN, pastas de absorción anhidras, emulsiones de aceite en agua y agua en aceite, emulsiones de carbowax (polietilenglicoles de diferentes pesos moleculares), geles semi-sólidos, y mezclas semi-sólidas que contienen carbowax. Ver también Powell et al. "Compendium of excipients for parenteral formulations" PDA (1998) J Pharm Sci Technol 52: 238-311.

Las composiciones farmacéuticas se pueden preparar en formas de dosis en una dosis unitaria adecuada para ajustarse a una dosis de los ingredientes activos. Dichas formas de dosis en una dosis unitaria incluyen, por ejemplo, comprimidos, píldoras, cápsulas, inyecciones (ampollas), supositorios, etc.

Las composiciones farmacéuticas también pueden administrarse al sujeto usando cualquier dispositivo o mecanismo 20 aceptable. Por ejemplo, la administración se puede llevar a cabo usando una jeringa y una aguja o con un bolígrafo y/o dispositivo de administración autoinyector reutilizable. Los métodos descritos en la presente memoria incluyen el uso de numerosos bolígrafos y/o dispositivos de administración autoinyectores reutilizables para administrar un aglomerante de TGFβ (o una formulación farmacéutica que comprenda al aglomerante). Los ejemplos de dichos dispositivos incluyen, aunque sin limitación AUTOPEN™ (Owen Mumford, Inc., Woodstock, R.U.), el bolígrafo DISETRONIC™ (Disetronic Medical Systems, Bergdorf, Suiza), el bolígrafo HUMALOG MIX 75/25™, el bolígrafo 25 HUMALOG™, el bolígrafo HUMALIN 70/30™ (Eli Lilly and Co., Indianapolis, IN), NOVOPEN™ I, IÍ y III (Novo Nordisk, Copenhague, Dinamarca), NOVOPEN JUNIOR™ (Novo Nordisk, Copenhague, Dinamarca), el bolígrafo BD™ (Becton Dickinson, Franklin Lakes, NJ), OPTIPEN™, OPTIPEN PRO™, OPTIPEN STARLET™, y OPTICLIK™ (sanofi-aventis, Frankfurt, Alemania), por nombrar solo unos pocos. Los ejemplos de bolígrafos y/o dispositivos de administración autoinyectores desechables que tienen aplicación en la administración subcutánea de una 30 composición farmacéutica incluyen, aunque sin limitación, el bolígrafo SOLOSTAR™ (sanofi-aventis), el FLEXPEN™ (Novo Nordisk), y el KWIKPEN™ (Eli Lilly), el Autoinyector SURECLICK™ (Amgen, Thousand Oaks, CA), el PENLET™ (Haselmeier, Stuttgart, Alemania), el EPIPEN (Dey, L.P.), y el bolígrafo hUMIRA™ (Abbott Labs, Abbott Park, IL), por nombrar solo unos pocos.

En la presente memoria también se contempla el uso de un microinfusor para administrar un aglomerante de TGFβ (o una formulación farmacéutica que comprende el aglomerante) a un sujeto. Tal como se usa en la presente memoria, el término "microinfusor" significa un dispositivo de administración subcutánea diseñado para administrar lentamente grandes volúmenes (p. ej., de hasta aproximadamente 2,5 mL o más) de una formulación terapéutica a lo largo de un periodo de tiempo prolongado (p. ej., de aproximadamente 10, 15, 20, 25, 30 o más minutos). Véase,
p. ej., patentes de EE.UU. nº 6.629.949 y 6.659.982; y Meehan et al., J. Controlled Release 46: 107-116 (1996). Los microinfusores son particularmente útiles para la administración de grandes dosis de proteínas terapéuticas contenidas en una concentración elevada (p. ej., aproximadamente 100, 125, 150, 175, 200 o más mg/mL) y/o disoluciones viscosas.

G. Terapias de combinación

5

10

15

45

50

55

60

En determinados aspectos, la divulgación describe métodos para tratar Ol que comprenden la administración a un sujeto que necesite dicho tratamiento de un anticuerpo que se una a TGFB en combinación con al menos un agente terapéutico adicional. Los ejemplos de agentes terapéuticos adicionales que se pueden administrar en combinación con un anticuerpo anti-TGFβ en la práctica de los métodos descritos en la presente memoria incluyen, aunque sin limitación, bisfosfonatos, calcitonina, teriparatide, y cualquier otro compuesto conocido en la técnica para tratar, prevenir o aliviar la osteogénesis imperfecta en un sujeto. En los presentes métodos, el(los) agente(s) terapéutico(s) adicional(es) puede(n) administrarse concurrente o secuencialmente con el anticuerpo que se une a TGFβ. Por ejemplo, para administración concurrente, se puede preparar una formulación farmacéutica que contenga un anticuerpo que se une a TGFβ y al menos un agente terapéutico adicional. En una realización, el anticuerpo que se une a TGFβ se administra en combinación con bisfosfonatos farmacéuticos (p. ej., Etidronato, Clodronato, Tiludronato, Pamidronato, Neridronato, Olpadronato, Alendronato, Ibandronato, Zoledronato y Risedronato). En otra realización, el anticuerpo que se une a TGFβ se administra en combinación con un fármaco que estimula la formación de hueso, tal como análogos de hormona paratiroide y calcitonina. En otra realización adicional, el anticuerpo que se une a TGFβ se administra en combinación con un modulador de receptor de estrógeno selectivo (SERM). La cantidad de agente terapéutico adicional que se administra en combinación con el anticuerpo que se une a TGFβ en la práctica de los métodos descritos en la presente memoria puede determinarse fácilmente usando métodos rutinarios conocidos y fácilmente disponibles en la técnica.

Ejemplos

5

10

15

20

25

30

35

La OI es una enfermedad generalizada del tejido conectivo en la que los individuos afectados presentan una anormalidad en la formación de fibrilos de colágeno de tipo I debido a mutaciones en la secuencia primaria de la cadena alfa 1 o la cadena alfa 2 del colágeno de tipo I, así como anormalidades en la modificación post-traduccional del colágeno de tipo I y de las proteínas que se unen a fibrilos de colágeno de tipo I. El CRTAP codifica una proteína denominada proteína asociada a cartílago, un miembro del complejo de prolil-3-hidroxilación cuya función es asistir en el plegamiento correcto, la modificación post-traduccional y la secreción de colágeno de tipo I. Las mutaciones en CRTAP son responsables de la osteogénesis imperfecta de tipo VII. Ratones que carecen del gen Crtap (Crtap-/-) presentan un fenotipo que imita la osteogénesis imperfecta, y se usan como modelo para dicha enfermedad (Morello et al., 2006). En los siguientes ejemplos se usaron ratones Crtap-/- y controles de la misma camada de tipo natural (WT) y de la misma edad.

Materiales y métodos

Animales, tratamiento anti-TGFβ y recolección de tejidos

Se generaron y se mantuvieron ratones Crtap^{-/-} en un fondo genético mixto C57Black/6J/129Sv. Los ratones que albergan una mutación G610C en el gen Col1a2 (Col1α2^{tm1.1Mcbr}) fueron obtenidos y cruzados con ratones C57B1/6J naturales. En los experimentos se usaron los ratones que eran heterocigotos para el alelo Col1α2^{tm1.1Mcbr}. Los ratones indicadores de TGFβ que expresan luciferasa en respuesta al mecanismo de señalización de TGFβ dependiente de Smad2/3 (ratones SBE-Luc) se obtuvieron y se cruzaron con ratones Crtap^{-/-} durante 2 generaciones para generar ratones Crtap^{-/-} y compañeros de camada de tipo natural que expresan el transgén indicador. Todos los ratones fueron alojados en un vivarium y los experimentos animales se llevaron a cabo siguiendo el protocolo aprobado por el Comité para Cuidado y Uso de Animales (IACUC, del inglés "Animal Care and Use Committee").

Para los análisis de ARN y proteína, se aisló la calvaria de ratones P3, se limpió de tejido extraesqueletal y se rompió congelada en nitrógeno líquido. Para la inmunotinción de pulmones de ratón P10 Crtap. Inmediatamente tras sacrificio se inflaron de manera igual los pulmones de todos los ratones por gravedad con un 4% de paraformaldehído a una presión constante de 25 cm de H₂O y a continuación se cerró mediante sutura de la tráquea. A continuación, los pulmones fueron diseccionados cuidadosamente del tórax y fijados en paraformaldehído al 4% durante una noche.

Hembras de ratones Crtap^{-/-} y Col1α2^{tm1.1Mcbr} de ocho semanas de edad fueron tratadas con el anticuerpo neutralizante pan-TGFβ 1D11 durante 8 semanas (10 mg/kg de peso corporal, inyecciones I.P. 3 veces por semana). Los ratones de control Crtap^{-/-}, Col1α2^{tm1.1Mcbr} y WT recibieron un anticuerpo de control (13C4) del mismo isotipo de IgG1. Tras el tratamiento, los ratones fueron sacrificados y se extrajeron las espinas lumbares y los fémures y se fijaron en formalina al 10% para microCT e histomorfometría ósea. Los fémures contralaterales de ratones Crtap^{-/-} fueron almacenados a -20°C envueltos en una gasa empapada en disolución salina hasta que se llevó a cabo el ensayo biomecánico. Los pulmones de dichos ratones Crtap^{-/-} fueron inflados en condiciones iguales, se extrajeron y se fijaron como se ha descrito para los ratones P10. Durante el tratamiento no se pudo aplicar metodología "a ciegas", ya que el anticuerpo 1D11 o el de control fueron inyectados según la asignación de grupo. En todos los análisis posteriores los investigadores permanecieron a ciegas con respecto al genotipo y el grupo de tratamiento.

Inmunotransferencia

40 Se extrajo proteínas de las muestras de calvaria P3 rotas en congelación, se transfirieron a 300 µL de tampón de lisis (Tris-HCl 0,0625 M, pH 7,5, SDS al 2%, NaF 5 mM, Na₃VO₄ 2 mM e inhibidor de proteinasa RocheComplete) y se homogeneizaron durante 1 minuto, seguido de incubación a 95ºC durante 40 minutos. El sobrenadante se transfirió a Unidades de Filtro Centrífugo/Amicon Ultra 3K (Millipore) y se centrifugó para concentrar la proteína. La concentración de proteína total en el lisato se determinó usando el reactivo Micro BCA (Pierce) siguiendo las 45 indicaciones del fabricante. Se suspendieron 40 µg de extractos de proteínas de calvaria en tampón laemmeli que contenía un 5% de β-mercaptoetanol y se separaron en geles Mini Protean TGX SDS-PAGE (gradiente 4-2%; Bio-Rad) y se transfirieron a membranas de PVDF para los análisis western blot. Las membranas de PVDF fueron incubadas con anticuerpo monoclonal pSmad2 (Cell Signaling nº3108, 1:750 en TBST que contiene un 5% de BSA durante una noche), seguido de anticuerpo anti-conejo ligado a HRP secundario (GE, 1:5000 en TBST que contiene un 5% de BSA durante 2 horas), se trataron con ECL Plus Western Blotting Detection System (GE) y se expusieron 50 a una película de rayos X. Posteriormente, los anticuerpos fueron extraídos de las membranas usando el reactivo ReBlot Plus (Millipore), y se incubaron con anticuerpo monoclonal Smad2 (Cell Signaling nº5339, 1:2000 en TBST que contiene un 5% de BSA durante una noche), seguido de una incubación de anticuerpos secundarios similar y una visualización mediada por ECL. Las películas de rayos X fueron escaneadas y se cuantificó la densidad de cada 55 banda usando el software ImageJ (National Institutes of Health).

PCR cuantitativa en tiempo real

Se extrajo ARN total de calvaria de ratón P3 sometida a rotura por congelación usando el reactivo Trizol (Invitrogen). Se usó el sistema Superscript III RT (Invitrogen) para sintetizar ADNc a partir de ARN total de acuerdo al protocolo

del fabricante. Se llevó a cabo una RT-PCR cuantitativa en un LightCycler v1.5 (Roche) usando cebadores específicos de gen y reactivo SYBR Green I (Roche). Se usó β2-microglobulina como gen de referencia para normalizar las concentraciones de ADNc.

Obtención de imágenes de bioluminiscencia in vivo

5 A ratones P10 Ctrap-/- y compañeros de camada naturales que expresan el transgén indicador de TGFβ (ratones SBE-Luc) se les inyectó D-luciferina (Goldbio, 150 mg/kg, IP), se les anestesió con isoflurano, y se obtuvieron imágenes 10 minutos después de la inyección usando un sistema de imágenes de bioluminiscencia (Xenogen).

Cultivo de osteoblastos primarios, células indicadoras de TGFB

Se aislaron células de médula ósea a partir de las tibias y los fémures de ratones Crtap--- y naturales de aproximadamente 2 meses de edad y se cultivaron en α-MEM suministrado con un 10% de FBS, 100 U/mL de penicilina y 100 ug/mL de estreptomicina. El medio se cambió cada dos días y las células no fijadas se desecharon. Tras 7 días, las células fijadas, definidas como células estromales de médula ósea (BMSCs), se volvieron a sembrar en placas de 24 pocillos en una concentración de 2,5 x 10⁴ células por cm² y se cultivaron en medio osteogénico (α-MEM, 10% de FBS, ácido ascórbico 500 μM, y β-glicerofosfato 10 mM) durante 3 días. Se recogió el medio condicionado y se incubó con células epiteliales de pulmón de visón indicadoras de PAI-luciferasa. Tras 24 horas, se recolectaron los lisatos celulares para evaluarlos en ensayos de actividad de luciferasa, que se determinó usando el sistema "Dual-Luciferase Reporter System" (Promega). Los resultados se normalizaron a la cantidad de proteína total cuantificada usando el reactivo Micro BCA (Pierce).

MicroCT, histomorfometría ósea

- 20 Se escanearon vértebras lumbares y fémures usando un micro CT Scanco μCT-40 para cuantificación de los parámetros óseos trabeculares y corticales. Los parámetros óseos trabeculares vertebrales y femorales fueron analizados usando el software de análisis Scanco perfilando manualmente el contorno de hueso trabecular del cuerpo vertebral L4, así como la sección metafisaria distal del fémur. Los parámetros óseos corticales del centro de la zona media femoral fueron cuantificados usando el algoritmo de umbral automatizado incluido en el software.
- A continuación se embebieron muestras de espina de ratón Crtap descalcificadas escaneadas en plástico para su seccionamiento. Se llevó a cabo una tinción con azul de toluidina y una tinción TRAP usando protocolos estándares para la visualización y la cuantificación de Ob's y Oc's, respectivamente, usando el sistema "Bioquant Osteo Image Analysis System".

Inmunotinción e histología

- Para la inmunohistoquímica, se recolectaron patas traseras de ratones P5, se fijaron durante una noche en 30 paraformaldehído al 4% y se embebieron en parafina. Tras desparafinación y rehidratación, se llevó a cabo una recuperación de antígeno inducida térmicamente (Dako, S1700) seguida de tratamiento con hialuronidasa durante 30 minutos (2 mg/mL; Sigma). Se bloqueó la peroxidasa endógena usando peróxido de hidrógeno al 3% durante 10 minutos. Tras incubación con disolución de bloqueo (suero de cabra normal al 3%; BSA al 0,1%, Triton X-100 al 0,1% en PBS), las secciones fueron incubadas en anticuerpos de TGFβ1 (G1221, Promega) y decorina (LF-113, 35 suministrados gentilmente por Larry Fisher, "National Institute of Dental and Craniofacial Research", Bethesda, MD, EE.UU.) durante 60 minutos (cada dilución 1:25 en PBS, las muestras de control se incubaron solo en PBS) a 37ºC, y posteriormente fueron incubadas con anticuerpo secundario (kit "SuperPicTure Ploymer Detection", Invitrogen). Se añadió sustrato DAB según las recomendaciones del fabricante y las muestras fueron deshidratadas y montadas usando el medio de montaje basado en xileno Cytoseal XYL (Thermo Scientific). Las secciones de WT y de 40 compañeros de camada mutantes fueron procesadas al mismo tiempo. Las imágenes de hueso trabecular fueron tomadas con un microscopio óptico (Axioplan 2, Zeiss) usando tiempos de exposición idénticos para los compañeros de camada WT y mutantes.
- Los pulmones de ratones P10 y Crtap^{-/-} de 16 semanas de edad fueron inflados de igual manera durante la recolección de tejidos, fijados en paraformaldehído al 4% y embebidos en parafina. Los pulmones de ratones P10 Crtap^{-/-} y naturales se usaron para inmunotinción de pSmad2. Resumidamente, las secciones de parafina fueron tratadas con xileno, rehidratadas y calentadas durante 20 minutos para recuperación de antígeno (pH 6; Dako). A continuación se incubaron las secciones en disolución bloqueante (suero de asno normal al 3%, BSA al 0,1%, Triton X-100 al 0,1% en PBS), y posteriormente se incubaron con anticuerpo anti-pSmad2 de conejo (1:500) (Cell signaling, nº3108), anticuerpo secundario anti-conejo de asno conjugado a Alexa flour 594 (1:600) (Invitrogen), y montadas con reactivo antiborrado Prolong Gold con DAPI (Invitrogen). Las imágenes fluorescentes de dichas secciones fueron adquiridas usando un microscopio Zeiss (software Axiovision) usando

tiempos de exposición idénticos.

Para la histología y morfometría pulmonar de los ratones de 16 semanas de edad, se tiñeron secciones parasagitales usando un protocolo estándar para la tinción con hematoxilina y eosina. Se usó el método de intercepción lineal media (MLI) para cuantificar la distancia entre las estructuras alveolares. Resumidamente, se

capturaron 10 campos histológicos por ratón con un aumento 20X a partir de todos los lóbulos de ambos pulmones usando un microscopio óptico (Axioplan 2, Zeiss). La MLI se midió usando el software modificado ImageJ (National Institutes of Health, modificado por Paul Thompson). Tras la retirada manual de vasos sanguíneos, vías aéreas grandes y otras estructuras no alveolares, el software promedia automáticamente el tejido alveolar de cada imagen y superpone una rejilla de líneas que consta de 1.353 líneas, que miden cada una 21 píxeles sobre la imagen. El número de líneas que interceptaban estructuras alveolares se usó para calcular la MLI.

Evaluación biomecánica por torsión de 3 puntos

5

10

15

20

25

30

40

50

55

Los fémures WT y de Crtap^{-/-} fueron evaluados por torsión de tres puntos usando un alcance de 6 mm con un dispositivo Instron 5848 (Instron Inc., Norwood, MA). Todos los fémures fueron evaluados húmedos y a temperatura ambiente. Se precargaron a 1N con una velocidad de 0,05 N/s durante 5 segundos. Tras el proceso de precarga, los fémures fueron cargados hasta fallo con una velocidad de 0,1 mm/s. Los datos de carga y desplazamiento fueron capturados a una velocidad de 40Hz usando el software BLUEHILL (Instron 5848).

Para determinar el Límite de Elasticidad, se identificó una región después de la precarga y antes de la carga máxima en la curva de carga-desplazamiento. Esta región se separó en 5 segmentos a partir de los cuales se tomó la línea ajustada de segmento de mayor pendiente. A continuación, se implementó una compensación de 0,012 mm en la línea. El punto de intersección entre la línea compensada y la curva de carga-desplazamiento fue el Límite de Elasticidad Compensado 0,012. Este límite de elasticidad correspondía más estrechamente a la cepa de compensación de 0,2%, que es la elegida habitualmente en bibliografía. La región elástica se identificó como la región a partir de la finalización de la precarga hasta el límite de elasticidad. La región poslímite se identificó como la región desde el límite de elasticidad hasta el punto en el cual el cambio en la carga excedía -1N, indicando fallo. El Desplazamiento Elástico fue el desplazamiento durante el cual el espécimen permanecía en la región elástica. El Desplazamiento poslímite fue el desplazamiento durante el cual el espécimen permanecía en la región poslímite. El Desplazamiento Total se calculó como la suma del Desplazamiento Elástico y el Desplazamiento poslímite. Usando el método de integración numérica trapezoidal, se calculó la energía a fallo como el área bajo la curva Carga-Desplazamiento. La Carga Máxima se determinó encontrando el valor de carga más elevado registrado con el BLUEHILL, antes de que el espécimen fallara. Para calcular la Rigidez, se aplicó el método de ajuste de Mínimos Cuadrados al segmento de mayor pendiente de la región elástica de la curva de carga-desplazamiento. La rigidez fue la pendiente de la línea de ajuste de mínimos cuadrados. Los datos geométricos (diámetro y momento de inercia) obtenidos a partir del análisis de microCT de la parte media femoral se utilizaron para calcular las propiedades intrínsecas del material: resistencia final, resistencia a fallo y módulo elástico.

Marcadores de tasa de recambio óseo en suero

La osteocalcina (OCN) en suero se cuantificó usando el kit "Mouse Osteocalcin EIA" de Biomedical Technologies Inc. El telopéptido reticulado C-terminal de colágeno óseo (CTX) se cuantificó usando el kit RatLaps™ EIA de Immunodiagnostic Systems Ltd. Ambos análisis se llevaron a cabo según los protocolos del fabricante.

35 SDS-PAGE, espectrometría de masas y análisis de reticulación de colágeno

Para la espectrometría de masas, se preparó colágeno de tipo I de tibias Crtap- $^{-}$ y naturales. El hueso se desengrasó con cloroformo/metanol (3:1 v/v) y se desmineralizó en EDTA 0,5 M, Tris-HCl 0,05 M, pH 7,5, todas las etapas a 9 C. El hueso se molió finamente y se solubilizó el colágeno mediante desnaturalización térmica (90^{9} C) en tampón de muestreo de SDS-PAGE. Las cadenas α de colágeno fueron cortadas de los geles de SDS-PAGE y sometidas a digestión de tripsina en el gel. Se llevó a cabo una MS de electropulverización sobre los péptidos trípticos usando un espectrómetro de masas de trampa iónica LCQ Deca XP equipado con cromatografía de líquidos (LC) en línea (ThermoFinnigan) usando un columna capilar C8 (300 μ m x 150 mm; Grace Vydac 208 MS5.315) eluído a 4,5 μ L min. Se usó el software Sequest search (ThermoFinnigan) para la identificación de péptidos

usando la base de datos de proteínas NCBI.

Las reticulaciones de piridinolina (HP y LP) se cuantificaron mediante HPLC tras hidrolizar el hueso desmineralizado en HCl 6N.

Análisis de resonancia de plasmón superficial

Los experimentos de resonancia de plasmón superficial se llevaron a cabo usando un instrumento BIACore X (GE Healthcare Bio-Science Corp.). Se inmovilizó colágeno de tipo I de tendón de ratón nativo purificado procedente de ratones naturales y Crtap^{-/-} sobre un chip sensor CM5 mediante acoplamiento de amida a una concentración de aproximadamente 0,05 ng/mm² (500 RU) y 0,08 ng/mm² (800 RU), respectivamente. Los experimentos fueron llevados a cabo con un caudal de 10 µL/min y 20°C en tampón HBS-P (tampón Hepes 10 mM, pH 7,4, que contiene NaCl 150 mM y un 0,005% de tensioactivo P20). Se inyectó proteína de núcleo decorina humana recombinante (R&D Systems) en ambos chips CM5 de tipo I. Se determinó la concentración de la disolución de reserva de decorina humana mediante análisis de aminoácidos. La respuesta de unión de decorina a colágeno de tipo I de ratón natural y Crtap^{-/-} se normalizó mediante las cantidades de colágeno de tipo I inmovilizado sobre los chips sensores

CM5. Se usaron tres concentraciones de decorina (3, 5 y 12 µM), para cada concentración el análisis se repitió tres veces. Este experimento se llevó a cabo dos veces con colágeno aislado de diferentes ratones cada vez.

Métodos estadísticos

10

15

20

25

30

35

40

45

50

55

Las comparaciones entre dos grupos se realizaron usando test de t de Student de dos colas desparejados. Para las comparaciones entre tres grupos, se llevó a cabo un Análisis de Varianza Unidireccional (ANOVA) si se confirmaba una varianza de grupos igual, tras una comparación múltiple por pares usando el método de Holm-Sidak. Si el test de varianza igual fallaba, se aplicó un ANOVA en Rangos Unidireccional de Kruskal-Wallis, seguido de comparación múltiple por pares usando el test de Tukey. Un valor P inferior a 0,05 se consideró estadísticamente significativo para el test de t de Student, el ANOVA y el ANOVA en Rangos Unidireccional de Kruskal-Wallis. Para las comparaciones múltiples por pares a posteriori, se comparó cada valor P con un nivel crítico dependiente del rango del valor P y del número total de comparaciones realizadas para determinar si las diferencias entre los grupos eran significativas. Para los análisis estadísticos se usó Sigma Plot V11.0 (Systat Software Inc.).

Los efectos de 1D11 sobre los huesos y los pulmones de ratones OI eran desconocidos al inicio del estudio. Para determinar el tamaño de muestra inicial por grupo de ratones, calculamos que para detectar una diferencia mínima del 20% en masa ósea (BV/TV) mediante MicroCT entre los ratones OI tratados con 1D11 y de control con una potencia del 90%, se requería un tamaño de grupo de 8 ratones.

Eiemplo 1: Señalización de TGFβ alterada en calvaria de Crtap-/-

Se analizaron ratones Crtap^{-/-} y controles de compañeros de camada naturales (WT) de la misma edad para determinar la expresión de pSmad2 activada, un miembro del mecanismo de señalización del TGFβ, así como de otras dianas posteriores de TGFβ. Los huesos calvaria fueron escindidos y se extrajo ARN y proteínas y se analizaron mediante PCR en tiempo real y análisis Western blot, respectivamente. Como puede observarse en la Figura 1A y 1B, los ratones Crtap^{-/-} presentaron una relación un 100% superior de pSmad2 activado con respecto a Smad2 total en comparación con los ratones WT, medido mediante Western blot y cuantificado mediante densitometría, lo que indica que la señalización de TGFβ está elevada en los ratones Crtap^{-/-}. Las dianas transcripcionales del TGFβ, tal como Col1a1 y p21, estaban elevadas en comparación con los controles WT, según se determinó mediante RT-PCR y como demuestran la Figura 1C y la Figura 1D, respectivamente. Se midió el factor de crecimiento de tejido conectivo de proteína ECM profibrótica (CTGF) y se observó que era aproximadamente un 50% superior en los ratones Crtap^{-/-} respecto a los controles WT, según se determinó mediante RT-PCR y como se demuestra en la Figura 1E. Tal como se muestra en la Figura 1F, el análisis de RT-PCR reveló que la expresión del inhibidor de quinasa dependiente de ciclina p27 no se ve alterado ni en el grupo de ratones Crtap^{-/-} ni en el de ratones WT.

Ejemplo 2: Aumento de actividad de TGFb en ratones Crtap-/- in vivo y en células crtap-/- osteoblásticas

Se cruzaron ratones Crtap^{-/-} con ratones indicadores de TGFβ que expresan luciferasa en respuesta a la activación de la señalización de TGFβ (Jackson Laboratory; B6.Cg-Tg(SBE/TK-luc)7Twc/J). Se inyectó a ratones P9 con el sustrato D-Luciferina (150 mg/kg) 10 minutos antes de obtener las imágenes (Xenogen; sistema de cámara IVIS). Tal como demuestra la Figura 2A, los ratones Crtap^{-/-} presentaron una luminiscencia considerablemente mayor en sus colas, huesos largos y calvarias que los controles WT, lo que indica un aumento de la actividad de TGFb en ratones crtap^{-/-}. La Figura 2B muestra la cuantificación de la actividad de luciferasa en la calvaria.

Se aislaron células estromales de médula ósea (BMSC) a partir de ratones Crtap^{-/-} y ratones WT, se cultivaron en condiciones osteogénicas ex vivo, y se analizó el medio de cultivo condicionado para determinar la actividad de TGFβ usando una línea celular que expresa luciferasa en respuesta a la activación de la señalización de TGFβ. Tal como se muestra en la Figura 2C, el medio condicionado para BMSC de Crtap^{-/-} dio como resultado una actividad de luciferasa casi dos veces superior a la de la línea de células indicadoras en comparación con las BMSC de ratones WT. Considerados en conjunto, estos datos indican que la secreción y actividad de TGFβ está elevada en los huesos y las células osteoblásticas de ratones Crtap^{-/-}.

Ejemplo 3: Análisis µCT de vértebras Crtap-/-

A ratones Crtap^{-/-} de 8 semanas de edad (N = 6 por grupo) se les administró 1D11 (10 mg/kg, I.P., 3 veces/semana, 8 semanas en total), un sustituto de murino del anticuerpo panespecífico que se une a TGFβ que comprende una cadena pesada que comprende la secuencia de aminoácidos de la SEQ ID NO: 14 y una cadena ligera que comprende la secuencia de aminoácidos de la SEQ ID NO: 15. Se administró un anticuerpo no relacionado 13C4 a un grupo separado de ratones Crtap^{-/-} y ratones WT como control (N = 6). Se obtuvieron imágenes de los cuerpos vertebrales L4 de ratones de 16 semanas de edad (tratados en las semanas 8-16) mediante μ-CT. En la Figura 3 se muestran los datos de MicroCT de cuerpos vertebrales L4 procedentes de ratones Crtap^{-/-} de 8 semanas de edad (n = 6 por grupo) que fueron tratados con el anticuerpo neutralizante de TGFβ 1D11 (Genzyme; 10 mg/kg, I.P., 3 veces/semana) durante 8 semanas y de ratones naturales (WT) y de ratones Crtap^{-/-} de control que fueron tratados con un anticuerpo de control (13C4-placebo). Tal como se muestra en la Figura 3, las vértebras de Crtap^{-/-} eran cavernosas en comparación con las vértebras del control WT. Sin embargo, el tratamiento con 1D11 dio como resultado un fenotipo esqueletal que era comparable a la condición WT.

Los datos de la Figura 3 se cuantificaron en la Figura 4, el tratamiento con el anticuerpo anti-TGFβ panespecífico rescató el fenotipo esqueletal de los ratones Crtap^{-/-}. Las vértebras de ratones Crtap^{-/-} tratados fueron estadísticamente similares a los ratones de control WT en los parámetros medidos, que incluyen la densidad de volumen óseo (BV/TV), la superficie ósea total (BS), la densidad de superficie ósea (BS/BV), el número trabecular (Tb.N), el espesor trabecular (Tb.Th), el espaciado trabecular (Tb.Sp) y el volumen total (Dens TV).

Ejemplo 4: Histomorfometría de vértebras de Crtap-/- tratadas con anti-TGFβ

10

15

20

25

55

Además de μ -CT, los huesos vertebrales de los ratones tratados con anticuerpo, de los tratados con placebo y de ratones WT, fueron analizados mediante histomorfometría. Tal como se muestra en la Figura 5A y la Figura 5B, los resultados de μ -CT fueron confirmados mediante análisis histomorfométrico. Adicionalmente, se tiñeron secciones de tejido para determinar la expresión del marcador de osteoclastos TRAP. El análisis reveló que había más osteoclastos cubriendo más de la superficie ósea en los ratones Crtap--- que en los controles WT (N.Oc/BS y Oc.S/BS), lo que indica un aumento de la actividad osteoclástica. El tratamiento con 1D11 anti-TGF β redujo todos los parámetros específicos de osteoclasto por debajo de los valores correspondientes a WT. Por tanto, se identificó a los osteoclastos como una diana potencial para anticuerpos de TGF β , y más específicamente para anticuerpos anti-TGF β panespecíficos.

Ejemplo 5: Ensayo de torsión de tres puntos de fémures de Crtap-/- tratados con anti-TGFβ

Los ensayos biomecánicos se llevaron a cabo sobre fémures escindidos de ratones de 16 semanas de edad (después de tratamiento en las semanas 8-16) usando un ensayo de torsión de tres puntos estándar con un dispositivo Instron 5848 (Instron Inc., Norwood MA) con un alcance de 6 mm, precargado a 1N con una velocidad de 1N/s durante 5 segundos. Después de la precarga, los fémures fueron comprimidos hasta fallo a una velocidad de 0,1 mm/s. Los datos de carga y desplazamiento fueron capturados a una velocidad de 40 Hz usando el software BLUEHILL (Instron 5848).

Tal como se demuestra en la Figura 6, los fémures de ratón Crtap^{-/-} fueron menos rígidos y fueron capaces de soportar una carga máxima significativamente menor que los ratones de control WT. Los fémures de ratones Crtap^{-/-} tratados con 1D11 mostraron una mejora significativa en la carga máxima, y presentaron una tendencia a aumentar la rigidez en comparación con los ratones Crtap^{-/-}.

Por tanto, el tratamiento con el anticuerpo anti-TGF β panespecífico 1D11 restauró de manera cuantitativa, cualitativa y biomecánica el fenotipo esqueletal de los ratones Crtap-/-.

Ejemplo 6: La inhibición de la señalización de TGFβ con 1D11 mejora el fenotipo pulmonar.

Los ratones Crtap^{-/-} presentan una enfermedad de tejido conectivo generalizada que se manifiesta a través de una baja masa ósea, glomeruloesclerosis y displasia pulmonar (Baldridge et al.; PLoSone, 5(5): e10560 (2010)). Se observó un aumento de la expresión de TGFβ en pulmones de ratones Crtap^{-/-}, tal como evidencia la inmunotinción positiva para pSmad2 y como se demuestra en la Figura 7A. Histológicamente, los ratones Crtap^{-/-} exhibieron un aumento del espacio aéreo distal en comparación con los ratones WT, tal como se muestra en la Figura 7B. El tratamiento con 1D11 (10 mg/kg, IP, 3x/semana durante 8 semanas) redujo la expresión de pSmad2 en los ratones Crtap^{-/-} y redujo el espacio aéreo distal y mejoró el fenotipo pulmonar, como demuestran la Figura 7A y la Figura 7B, y como se cuantifica en la Figura 7C (*P<0,05 vs. Crtap^{-/-} de control; 10 imágenes analizadas por ratón, n=8 ratones por grupo).

Ejemplo 7: Expresión de decorina en pulmones de Crtap-/-

- 40 Se investigaron los reguladores transcripcionales de la expresión de TGFβ con el objetivo de comprender la base de la desregulación de la señalización de TGFβ en los huesos y pulmones de ratones Crtap^{-/-}. Una clase principal de proteínas extracelulares que pueden regular la TGFβ en ECM incluye los proteoglicanos ricos en leucina pequeños (SLRP), tal como la decorina. La inmunotinción reveló un aumento de la expresión de decorina en pulmones de Crtap^{-/-} en comparación con los pulmones WT de control, tal como muestra la Figura 8.
- Como la decorina es un regulador de TGFβ maduro, este descubrimiento sugiere que una modificación post-traduccional alterada del colágeno, como sucede en la OI, altera las interacciones de las proteínas ECM, incluyendo los SLRP. La decorina se une a sitios de hidroxiprolina, tal como el localizado en el residuo de aminoácido 396 de los colágenos de tipo I y tipo II, que están ausentes en ratones Crtap-/-. Se realizó un ensayo de unión a decorina para determinar si la unión de decorina puede alterarse en la OI, y si esto puede ser responsable, al menos parcialmente, de los fenotipos observados en huesos y ratones Crtap-/-. Tal como se muestra en la Figura 9, la unión de decorina a péptidos de colágeno 3-hidroxilados (como en el colágeno de tipo I y II) fue mayor que a péptidos de colágeno sin 3-hidroxilación (como en el colágeno de tipo III).

Ejemplo 8: El aumento de la señalización de TGFβ es un mecanismo común en la Osteogénesis Imperfecta

La OI se caracteriza por huesos frágiles, una baja masa ósea, deformidades óseas y fracturas. Además, manifestaciones extraesqueletales que incluyen anormalidades en los pulmones contribuyen sustancialmente a la

mortalidad y la morbidez. La mayoría de los casos de OI son causados por mutaciones dominantes autosomales en los genes que codifican colágeno de tipo I (COL1A1 y COL1A2). En años recientes, se han identificado mutaciones en genes adicionales que codifican las proteínas implicadas en la modificación post-traduccional de colágeno como causantes de formas recesivas de la OI. La primera descrita fue en la proteína asociada a cartílago (CRTAP), un miembro del complejo de prolil-3-hidroxilasa que es responsable de la 3-hidroxilación del residuo de prolina 986 α1(I) en el colágeno de tipo I. Las mutaciones hipomórficas de CRTAP conducen a una pérdida parcial de 3-hidroxiprolina (3Hyp) en el colágeno fibrilar, así como la sobremodificación de otros residuos, y dan como resultado la OI recesiva de tipo VII, que se solapa clínicamente con las formas dominantes de la OI grave. La función fisiológica de la 3Hyp no se entiende completamente, pero los estudios bioquímicos sugieren que puede estar implicada en las interacciones colágeno-proteína, más que afectar de forma negativa a la estabilidad del colágeno.

10

15

20

25

30

50

55

60

La ECM es un importante reservorio para moléculas de señalización y sus reguladores. En los huesos, el TGFβ actúa como un coordinador central de la remodelación ósea acoplando la actividad localizada de los osteoclastos resorbedores de hueso y los osteoblastos formadores de hueso. El TGFβ es producido de manera abundante por los osteoblastos, es secretado predominantemente en formas latentes inactivas y se deposita en la matriz ósea. Ahí puede ser liberado y activado durante la resorción ósea por los osteoclastos. Como nivel de regulación adicional, el TGFβ activo puede ser ligado por proteoglicanos, que modulan su bioactividad en asociación con fibrilos de colágeno. Debido a que el colágeno de tipo I es el componente más abundante de la ECM en el hueso, esto genera la intrigante hipótesis de que la alteración de la estructura de colágeno observada en la OI no solo aumenta la fragilidad del hueso, sino que también afecta a la función de reservorio de señalización de la matriz ósea. De forma destacable, los ratones Crtap-/- muestra un solapamiento fenotípico con modelos animales con aumento de señalización de TGFβ. Por ejemplo, la sobreexpresión de TGFβ da como resultado una baja masa ósea. Adicionalmente, los ratones Crtap-/- exhiben un agrandamiento del espacio aéreo alveolar en los pulmones, que es similar al observado en un modelo de ratón para el síndrome de Marfan, donde se ha demostrado que un aumento de la señalización de TGFβ es un contribuyente principal de la patología pulmonar. Por lo tanto, se estudió el estatus de la señalización de TGFβ en el modelo de ratones Crtap-/- de la OI recesiva.

Para determinar el estatus de señalización de TGF β en el hueso, se evaluaron los niveles de expresión de los genes diana del TGF β en huesos calvaria de ratones Crtap^{-/-}. En comparación con las muestras naturales (WT), los huesos Crtap^{-/-} mostraron un aumento de la expresión de las dianas posteriores de TGF β p21 (inhibidor 1 de quinasa dependiente de ciclina), PAI-1 (inhibidor 1 de activador de plasminógeno) y Col1a1, en consistencia con un aumento de la actividad de TGF β (Figura 10A). Para confirmar el aumento de la activación del mecanismo de señalización de TGF β intracelular, se evaluó el estatus de Smad2, una segunda proteína mensajera intracelular, que se vuelve fosforilada tras activación de los receptores de TFG β . En consistencia con la expresión génica de diana, los análisis de inmunotransferencia demostraron un mayor ratio de Smad2 fosforilada (pSmad2) a Smad2 total en las muestras de hueso de ratones Crtap^{-/-}, lo que indica un aumento de la señalización de TGF β (Figuras 10B y 10C).

Los pacientes con OI severa también pueden presentar anormalidades pulmonares intrínsecas, y el fallo respiratorio es una de las causas principales de fallecimiento en estos individuos. De forma destacable, los ratones Crtap^{-/-} muestran un aumento difuso del espacio aéreo alveolar, una característica asociada al aumento de la señalización de TGFβ en otros modelos de desarrollo. Por consiguiente, los pulmones de ratones Crtap^{-/-} mostraron un aumento de la tinción intracelular para pSmad2 en células alveolares, lo que indica que el aumento de actividad de TGFβ también está presente en tejidos extraesqueletales (Figura 10F).

Para entender si el aumento de la señalización de TGFβ representa un mecanismo causal que contribuye a los fenotipos óseos y pulmonares en ratones Crtap^{-/-}, se llevó a cabo un experimento de rescate con un anticuerpo neutralizante pan-TGFβ (1D11). Se trataron ratones Crtap^{-/-} de ocho semanas de edad con 1D11 durante 8 semanas; los ratones Crtap^{-/-} y WT de control recibieron un anticuerpo de control no específico (13C4). El 1D11 no cambió de forma significativa el peso corporal de los ratones Crtap^{-/-} tratados, lo que indica que la inhibición de TGFβ no afectó al estatus nutricional general (Figura 14). Adicionalmente, los análisis de espectrometría de masas y de reticulamiento mostraron que el 1D11 no cambia de forma significativa el estatus de la 3-hidroxilación de P986 de colágeno de tipo I o las reticulaciones de colágeno en ratones Crtap^{-/-}, lo que sugiere que la señalización de TGFβ desregulada es una consecuencia de la estructura de colágeno molecular alterada, y no está implicada directamente en el procesamiento de colágeno intracelular o en el montaje de fibrilos extracelular (Figura 15). Los ratones Crtap^{-/-}

exhiben una masa ósea reducida y parámetros óseos trabeculares anormales (Figuras 11A y 11B). El análisis mediante imágenes MicroCT de vértebras demostró que en comparación con los ratones Crtap-/- de control, la inhibición de TGFβ mejoró de forma significativa los parámetros óseos trabeculares, que incluyen el volumen óseo/volumen total, el número trabecular y el espesor trabecular, hasta valores próximos a los WT (Figuras 11A y 11B, y Figura 17). Se observaron efectos beneficiosos similares en hueso trabecular femoral en ratones Crtap^{-/-}, donde la inhibición de TGFβ mejoró de forma significativa los parámetros óseos trabeculares (Figura 18). Los efectos de la inhibición de TGFβ sobre el esqueleto con 1D11 se han publicado previamente para ratones WT y en ratones Esl-1-/-, un modelo con actividad de TGFβ incrementada debido a un defecto en la maduración normal del TGFβ. Mientras que el 1D11 aumentó de forma moderada el BV/TV trabecular, en un 33%, en la espina en ratones WT, los ratones Esl-1-/- exhibieron un aumento del 106% en el BV/TV. Esto sugirió que la utilización de TGFβ en una situación patofisiológica donde aumenta en el esqueleto, podría conducir a un efecto positivo relativamente más pronunciado. En el presente estudio, el 1D11 aumentó el BV/TV trabecular en la espina en un 235% en ratones Crtap[√], lo que apoya que la señalización de TGFβ desregulada es un contribuyente importante de la baja masa ósea en ratones Crtap . En la zona media del fémur, los parámetros de arquitectura cortical, que incluyen el espesor cortical, el diámetro, el área de sección transversal y los momentos de inercia de sección transversal, en ratones Crtap / fueron significativamente menores que en los ratones WT. Tras el tratamiento con 1D11, dichos parámetros va no eran significativamente diferentes respecto a los de ratones WT (Figura 19). Para evaluar si estos cambios en el hueso cortical y trabecular se traducían en una mejoría de la resistencia ósea, se llevó a cabo una evaluación biomecánica mediante un ensayo de torsión de 3 puntos de los fémures. Se observó que la inhibición de TGFβ fue capaz de aumentar la carga máxima y la resistencia final en los ratones Crtap-/- tratados, lo que indica una meior resistencia ósea y tisular global y una mejor resistencia a fractura. Sin embargo, el tratamiento con 1D11 no tuvo efectos sobre el aumento de fragilidad del hueso de OI, tal como indica la reducción del desplazamiento poslímite tanto en ratones Crtap-/- de control como en ratones Crtap-/- tratados con 1D11 (Figura 20). Probablemente esto refleja la mineralización anormal inherente asociada a una estructura de colágeno alterada. Considerados en conjunto, estos descubrimientos indican que el aumento de la señalización de TGFβ es el principal contribuyente al fenotipo óseo en la OI recesiva, que resulta de una deficiencia de Crtap, y que la inhibición de la señalización de TGFβ desregulada restaura la masa ósea, los parámetros microestructurales y mejora la resistencia global del hueso.

10

15

20

25

30

35

40

45

50

55

60

Para comprender los efectos de la inhibición de TGFβ en ratones Crtap^{-/-} a nivel celular, se llevaron a cabo análisis histomorfométricos con ratones tratados. En las secciones de cuerpos vertebrales de este estudio se observó un aumento de los números de osteoclastos (Oc) y osteoblastos (Ob) por superficie ósea en los ratones Crtap-/- de control respecto a los ratones WT, lo que indica un aumento de la remodelación ósea en la espina (Figura 11C y Figura 21). De forma consistente, los marcadores de tasa de recambio ósea en suero, osteocalcina (OCN) y telopéptido reticulado C-terminal de colágeno óseo (CTX), fueron elevados en ratones Crtap-/- de control de 8 semanas de edad (OCN y CTX) y de 16 semanas de edad (solo CTX) (Figura 19). Se han descrito cambios similares en la composición celular del hueso en pacientes con Ol dominante y recesiva, que muestran un aumento de los números Oc y Ob consistente con un aumento de la tasa de recambio ósea. De forma destacable, los modelos de ratón de señalización de TGFβ incrementada muestran una baja masa ósea con un incremento de la resorción ósea osteoclástica y de la remodelación ósea anormal. La mayoría de las publicaciones de los efectos del TGFβ sobre las células óseas son consistentes con un modelo en el que el TGFβ puede estimular el reclutamiento y la diferenciación inicial de precursores de Oc y Ob en el sitio de la reparación ósea, seguido de una diferenciación de Ob mediada por factor de crecimiento tipo insulina 1 (IGF-1). Sin embargo, a dosis persistentemente elevadas, el TGFβ puede inhibir la diferenciación de Ob mediante la represión del factor de diferenciación RUNX2. Dados los efectos cruciales sobre la interacción Oc/Ob, el ajuste fino de la disponibilidad de TGFβ es un factor clave para el acoplamiento local de la resorción ósea con la formación durante la remodelación ósea, y su desequilibrio puede conducir a una patología ósea significativa.

Al contrario de lo observado en ratones Crtap-/- de control, las secciones óseas de ratones Crtap-/- tratados con 1D11 reveló una reducción de los números de Oc y Ob, que fueron incluso menores que los valores medidos en ratones WT, lo que indica una supresión suprafisiológica de la remodelación ósea desregulada como resultado de la inhibición de TGFβ a la dosis de 1D11 usada en este experimento (Figura 11C). En consistencia con una publicación previa, la observación de una reducción de Oc's y Ob's por debajo de los niveles WT también puntúa a la baja el requisito fisiológico de cantidades locales de TGFβ para coordinar de forma normal los Oc's y los Ob's durante el proceso de remodelación ósea. Nuestros descubrimientos difieren de estudios previos en ratones WT, donde el tratamiento con 1D11 redujo los números de Oc pero no los de Ob. Esto puede reflejar efectos celulares distintos de la inhibición de TGFβ en una situación patofisiológica con un aumento de la señalización de TGFβ y un aumento de la remodelación ósea en comparación con el hueso normal de ratones WT. Se ha demostrado que el TGFβ inhibe la diferenciación de células precursoras de osteoblastos, y un aumento de la señalización de TGFβ podría de este modo conducir a una mayor proporción de células de linaje de osteoblasto inmaduras. Por otro lado, un aumento del número, o una mayor proporción, de Ob's inmaduros sobre la superficie ósea podría dar como resultado un aumento de la cantidad de TGFβ secretado por dichas células. El descubrimiento de que la inhibición de TGFβ con 1D11 reduce significativamente el aumento del número de Ob en ratones Crtap / sugiere que el aumento de la señalización de TGFB contribuye

causalmente al aumento de las células de linaje de osteoblasto.

Además de los descubrimientos relativos a los números de Oc y Ob, se observó un mayor número de osteocitos (Ot) por área ósea en los ratones $Crtap^{-/-}$ de control, que se redujo a niveles comparables a los de ratones WT en los ratones $Crtap^{-/-}$ tratados con 1D11 (Figura 11C y Figura 21). En pacientes de OI, se ha observado un aumento de la densidad de Ot en individuos con las formas más graves de la enfermedad, lo que probablemente refleja la presencia de hueso primario inmaduro debido a un defecto en la maduración fisiológica en el hueso de OI. En consistencia con nuestra hipótesis de que un aumento de la señalización de $TGF\beta$ contribuye a la patología ósea en la OI, la sobreexpresión de $TGF\beta$ en ratones WT da como resultado de forma similar un aumento de la densidad de Ot. Como posible explicación, el $TGF\beta$ puede inhibir la apoptosis de Ob durante la transición de Ob's a Ot's, y con ello conducir a un aumento de la densidad de Ot. En conjunto, estos descubrimientos indican que el aumento de la señalización de $TGF\beta$ contribuye a un estatus de mayor tasa de recambio ósea y a una maduración ósea afectada negativamente en ratones $Crtap^{-/-}$, y que la inhibición de la señalización de $TGF\beta$ desregulada revierte dichas alteraciones celulares.

10

15

35

40

45

50

55

60

Dados estos efectos cruciales sobre la interacción Oc/Ob, el ajuste fino de la disponibilidad de TGF β es un factor clave para el acoplamiento local de la resorción ósea con la formación de hueso durante la remodelación ósea, y su desequilibrio puede conducir a una patología ósea significativa. Nuestros descubrimientos indican que la inhibición de la señalización de TGF β desregulada en ratones Crtap $^{-/-}$ restaura tanto la masa ósea como los parámetros microestructurales, mejora la resistencia general del hueso y revierte las alteraciones celulares observadas en ratones Crtap $^{-/-}$. Por lo tanto, la desregulación de la señalización de TGF β es un contribuyente importante al fenotipo óseo en este modelo de ratón de OI recesiva.

20 También estábamos interesados en determinar si la inhibición de TGFβ afectaba al fenotipo pulmonar de ratones Crtap^{-/-}. Los pulmones de ratones Crtap^{-/-} de control muestran un incremento del espacio aéreo distal en comparación con los ratones WT (Figura 11D). Cabe destacar que los pulmones de ratones Crtap / tratados con el anticuerpo neutralizante de TGF\$ mostraron una mejoría del 60% en la distancia entre las estructuras alveolares (Figuras 11D y 11E). Este descubrimiento indica que una señalización de TGFβ excesiva también es un importante contribuyente patogénico a las anormalidades pulmonares presentes en ratones Crtap-/-. El aumento de la 25 señalización de TGFβ se ha ligado a las anormalidades pulmonares de desarrollo, así como a la enfermedad en pulmones maduros. Por ejemplo, la sobreexpresión de TGFB en pulmones da como resultado un desarrollo alterado negativamente de los pulmones con áreas de espacio aéreo agrandadas, y el aumento de la señalización de TGFB es un patomecanismo contribuyente en las anormalidades pulmonares en el síndrome de Marfan, así como en el desarrollo de enfisema y asma bronquial. Nuestros resultados indican que una señalización de TGFB excesiva es un 30 contribuyente patogénico importante a las anormalidades pulmonares presentes en ratones Crtap . Dada la recuperación parcial del fenotipo pulmonar con 1D11 en ratones Crtap-/-, es posible que la señalización de TGFβ desregulada afecte al desarrollo del tejido pulmonar cuando se establecen las estructuras anatómicas, además de mantener el tejido pulmonar en etapas posteriores cuando la inhibición de TGFβ es capaz de aliviar el fenotipo.

La siguiente cuestión a resolver fue cómo las alteraciones del colágeno debidas a la pérdida de Crtap (que conducen a la pérdida de 3Hyp en P986 y la sobre-modificación postraduccional de colágeno) dan como resultado una señalización de TGFβ desregulada. Los análisis bioquímicos indican que la prolil-3-hidroxilación del colágeno no afecta fundamentalmente a la estabilidad de las moléculas de colágeno, sino que en su lugar puede afectar a las interacciones colágeno-proteína. Una hipótesis atractiva es que la pérdida de 3Hyp podría afectar a la interacción del colágeno con proteoglicanos pequeños ricos en leucina (SLRP). Se sabe que SLRP se unen tanto a colágeno de tipo I como a TGFβ, y mediante ello modulan la actividad de TGFβ. Por ejemplo, el SLRP decorina es capaz de inhibir distintos efectos del TGFβ en células de osteosarcoma a la vez que potencia la actividad de TGFβ en células preosteoblásticas. Se sugiere que la región de unión de la decorina en el colágeno de tipo I está centrada en los residuos 961/962 del dominio de hélice triple, que está localizado en las proximidades del residuo P986, que está no hidroxilado en la OI debido a una deficiencia de Crtap. Por lo tanto, es posible que la posición 3Hyp del P986 marque un sitio de interacción para la unión de decorina a colágeno de tipo I, mediando de este modo en el secuestro de TGFβ maduro a colágeno.

Por tanto, se planteó la hipótesis de que la unión de decorina a colágeno es crítica para la regulación de TGFβ y que dicha unión se deshace con una estructura de colágeno alterada, por ejemplo mediante la pérdida de modificación de 3-prolil-hidroxilación postraduccional de P986 en la cadena α1 del colágeno de tipo I en el caso de OI recesiva. Se identificó que aunque la pérdida de Crtap no alteró la expresión de ARN de decorina y otros SLRP en el hueso de calvaria (Figura 12A), ni la abundancia cualitativa de decorina en el hueso trabecular (Figura 24), sí redujo la unión de proteína de núcleo decorina recombinante a colágeno de tipo I aislado de ratones Crtap^{-/-} frente a ratones WT (Figura 12B). Las medidas de análisis de resonancia de plasmón superficial de la unión de proteína de núcleo decorina recombinante a colágeno de tipo I de ratones WT y Crtap^{-/-} demostraron una reducción de la unión en ratones Crtap^{-/-} en las tres concentraciones evaluadas (Figura 23). Se realizaron tres réplicas técnicas para cada una de las concentraciones indicadas de decorina a partir de dos réplicas biológicas independientes (◆ réplica 1, ▲ réplica 2). Los resultados se muestran como el porcentaje de la media de WT (las barras indican la media por grupo). Las reducciones medias de la unión de decorina a colágeno de tipo I de Crtap^{-/-} a 3, 5 y 12 μM de decorina fueron de 28,5%, 33,5% y 38,1%, respectivamente.

Este descubrimiento sugiere que las alteraciones de interacciones colágeno-proteoglicanos pueden contribuir a la señalización de TGFβ desregulada en los huesos y otros tejidos ricos en colágeno en la Ol. En base al requisito

publicado de unión decorina-colágeno para que la decorina reduzca de manera efectiva la bioactividad de TGF β , es posible que los defectos en el colágeno de OI conduzcan a una unión alterada de la decorina, y por tanto, de su capacidad para secuestrar TGF β en la matriz y modular las funciones de TGF β . Por lo tanto, la alteración de las interacciones proteoglicano-colágeno puede contribuir a una señalización de TGF β desregulada en el hueso y otros tejidos ricos en colágeno en la OI, incluso si no hay cambios importantes en los niveles de TGF β absolutos (Figura 24 y Figura 25). Esta idea se ve apoyada por el descubrimiento de que las mutaciones COL1A1 y COL1A2 en las formas más severas de la OI dominante se agrupan en regiones específicas conocidas por producir la unión de proteoglicanos, lo que apoya aún más la relevancia fisiológica de las interacciones proteoglicano-colágeno para una homeostasis ósea normal. Esto también implicaría que otros proteoglicanos que compiten con la decorina por el sitio de unión a colágeno también contribuyen a una actividad de TGF β desregulada, y que se podrían alterar mecanismos de señalización adicionales.

10

15

20

25

45

50

Debido al solapamiento clínico de algunas formas recesivas y dominantes de la OI en las que la estructura defectuosa de las fibras de colágeno conduce a huesos frágiles y manifestaciones extraesqueléticas, es posible que la desregulación de la señalización de TGFβ sea un mecanismo de enfermedad patofisiológica común. Para analizar esta hipótesis, se investigó el estatus de la señalización de TGFβ en un modelo de ratón de OI dominante. Ratones activados que portan una mutación G610C en el gen Col1a2 (Col1α2tm1.1Mcbr) fenocopian una forma moderada heredada dominantemente de la OI que había sido identificada originalmente en una población Amish. En muestras óseas de ratones Col1α2tm1.1Mcbr, se observó un aumento de la expresión de los genes diana de TGFβ p21 y PAI-1, lo que indica una regulación al alza de la señalización de TGFβ (Figura 13A). En consistencia, los análisis de inmunotransferencia de extractos óseos de ratones Col1α2tm1.1Mcbr también presentaron un aumento del ratio de pSmad2 activada/Smad2 total, similar a nuestra observación en los ratones Crtap-/- (Figuras 13B y 13C).

Para evaluar si el aumento de la señalización de TGF β en este modelo de OI dominante también representa un mecanismo causal, ratones Col1 α 2^{tm1.1Mcbr} de 8 semanas de edad fueron tratados con el anticuerpo neutralizante de TGF β 1D11 durante 8 semanas; ratones Col1 α 2^{tm1.1Mcbr} de control y WT fueron tratados con el anticuerpo de control 13C4. De forma similar a lo observado con ratones Crtap-/-, el tratamiento con 1D11 restauró los parámetros óseos trabeculares en la espina hasta los niveles WT (Figuras 13D, 13E y 22). Considerados en conjunto, estos descubrimientos indican que la señalización de TGF β desregulada también es un contribuyente importante para la patogénesis de las formas dominantes de la OI, y que la terapia anti-TGF β corrige el fenotipo óseo en la OI dominante.

Desde una perspectiva clínica-traduccional, los efectos negativos potenciales de la inhibición sistémica de TGFβ en pacientes de OI deben ser considerados. Aunque los ratones TGF-β1-/- desarrollan una enfermedad inflamatoria multifocal severa y una desregulación del sistema inmunitario durante las primeras semanas de vida, tanto en ratones Crtap-/- como en ratones Col1α2^{tm1.1Mcbr} tratados con 1D11 nosotros no observamos efectos negativos obvios sobre la salud general, el comportamiento o el crecimiento, lo que sugiere que los efectos de una inhibición farmacológica parcial de los ligandos de TGFβ en ratones adultos son diferentes de los de una pérdida total de TGFβ1 durante el desarrollo. En humanos, el Fresolimumab (GC1008, Genzyme), que es similar al 1D11 en su afinidad y especificidad con las 3 isoformas del TGFβ, se usó en estudios de fase I en pacientes con glomeruloesclerosis segmental focal primaria resistente a tratamiento, fibrosis pulmonar idiopática y melanoma maligno o carcinoma de célula renal. En estos estudios, el Fresolimumab de forma general fue bien tolerado, con posibles eventos adversos relacionados con la dosis que incluyen sarpullidos o lesiones cutáneas, epistaxis, sangrado gingival y fatiga.

Los mecanismos moleculares de la OI no se comprenden completamente. Como resultado, las opciones de tratamiento actuales para pacientes con OI se limitan básicamente a terapias anti-resortivas como las usadas para el tratamiento de la osteoporosis. Cabe destacar que un ensayo aleatorio reciente, controlado por placebo, del agente anabólico teriparatide en adultos con OI demostró que la OI severa de tipo III/IV respondía de forma diferente que la OI moderada de tipo I (Orwoll et al. 2014). Esto sugiere diferencias genotípicas en la respuesta a terapias dirigidas a modificar la señalización celular y que el tratamiento dirigido a TGFβ puede ser una opción prometedora para profundizar en el estudio de la OI severa debida a colágeno y a mutaciones genéticas de modificación postraduccional de colágeno. En general, nuestros datos apoyan el concepto de la señalización celular desregulada por matriz como mecanismo en la patogénesis de formas heredades genéticamente diferentes de la enfermedad de huesos de cristal, y apuntan a una estrategia basada en el mecanismo específico de la enfermedad para el tratamiento de la OI a través de la neutralización de la actividad de TGFβ hiperactivo en tejidos esqueletales y extraesqueletales.

LISTA DE SECUENCIAS

| _ | <110 | | NZYN YLOF | | | | | DICIN | ΙE | | | | | | | |
|----|-----------|---------------|----------------|------------|-----------|-----------|------------|------------|------------|-----------|-----------|------------|------------|------------|-----------|-----------|
| 5 | <120 | > MÉ | TOD | OS P | ARA | TRAT | TAR L | A OS | STEO | GÉNI | ESIS | IMPE | RFE | СТА | | |
| | <130 | > BE | T 17N | //4011 | I | | | | | | | | | | | |
| 10 | | | 883,1 10-20 | | | | | | | | | | | | | |
| 15 | | | 875,3 09-20 | | | | | | | | | | | | | |
| 15 | | | 803,6 03-20 | | | | | | | | | | | | | |
| 20 | <160 | > 21 | | | | | | | | | | | | | | |
| 20 | <170 | > Pat | entIn | versi | ón 3. | 5 | | | | | | | | | | |
| 25 | <212 | > 390 > PR | | apiens | 6 | | | | | | | | | | | |
| | <400 | > 1 | | | | | | | | | | | | | | |
| | Met 1 | Pro | Pro | Ser | Gly 5 | Leu | Arg | Leu | Leu | Leu 10 | Leu | Leu | Leu | Pro | Leu 15 | Leu |
| | Trp | Leu | Leu | Val 20 | Leu | Thr | Pro | Gly | Arg 25 | Pro | Ala | Ala | Gly | Leu 30 | Ser | Thr |
| | Cys | Lys | Thr 35 | Ile | Asp | Met | Glu | Leu 40 | Val | Lys | Arg | Lys | Arg 45 | Ile | Glu | Ala |
| | Ile | Arg 50 | Gly | Gln | Ile | Leu | Ser 55 | Lys | Leu | Arg | Leu | Ala 60 | Ser | Pro | Pro | Ser |
| | Gln 65 | Gly | Glu | Val | Pro | Pro 70 | _ | Pro | Leu | Pro | Glu 75 | Ala | Val | Leu | Ala | Leu 80 |
| | Tyr | Asn | Ser | Thr | Arg 85 | Asp | Arg | Val | Ala | Gly 90 | Glu | Ser | Ala | Glu | Pro 95 | Glu |
| | Pro | Glu | Pro | Glu 100 | Ala | Asp | Tyr | Tyr | Ala 105 | Lys | Glu | Val | Thr | Arg 110 | Val | Leu |
| | Met | Val | Glu 115 | Thr | His | Asn | Glu | Ile 120 | Tyr | Asp | Lys | Phe | Lys 125 | Gln | Ser | Thr |
| 30 | His | Ser 130 | Ile | Tyr | Met | Phe | Phe 135 | Asn | Thr | Ser | Glu | Leu 140 | Arg | Glu | Ala | Val |

| Pro 145 | Glu | Pro | Val | Leu | Leu 150 | Ser | Arg | Ala | Glu | Leu 155 | Arg | Leu | Leu | Arg | Leu 160 |
|------------------------------|----------------------|------------|------------|------------|------------|------------|------------|------------|------------|-------------------|------------|------------|------------|------------|------------|
| Lys | Leu | Lys | Val | Glu 165 | Gln | His | Val | Glu | Leu 170 | Tyr | Gln | Lys | Tyr | Ser 175 | Asn |
| Asn | Ser | Trp | Arg 180 | Tyr | Leu | Ser | Asn | Arg 185 | Leu | Leu | Ala | Pro | Ser 190 | Asp | Ser |
| Pro | Glu | Trp 195 | Leu | Ser | Phe | Asp | Val 200 | Thr | Gly | Val | Val | Arg 205 | Gln | Trp | Leu |
| Ser | Arg 210 | Gly | Gly | Glu | Ile | Glu 215 | Gly | Phe | Arg | Leu | Ser 220 | Ala | His | Cys | Ser |
| Cys 225 | Asp | Ser | Arg | Asp | Asn 230 | Thr | Leu | Gln | Val | Asp 235 | Ile | Asn | Gly | Phe | Thr 240 |
| Thr | Gly | Arg | Arg | Gly 245 | Asp | Leu | Ala | Thr | 11e 250 | His | Gly | Met | Asn | Arg 255 | Pro |
| Phe | Leu | Leu | Leu 260 | Met | Ala | Thr | Pro | Leu 265 | Glu | Arg | Ala | Gln | His 270 | Leu | Gln |
| Ser | Ser | Arg 275 | His | Arg | Arg | Ala | Leu 280 | Asp | Thr | Asn | Tyr | Cys 285 | Phe | Ser | Ser |
| Thr | Glu 290 | Lys | Asn | Cys | Cys | Val 295 | Arg | Gln | Leu | Tyr | Ile 300 | Asp | Phe | Arg | Lys |
| Asp 305 | Leu | Gly | Trp | Lys | Trp 310 | Ile | His | Glu | Pro | Lys 315 | Gly | Tyr | His | Ala | Asn 320 |
| Phe | Cys | Leu | Gly | Pro 325 | Суѕ | Pro | Tyr | Ile | Trp 330 | Ser | Leu | Asp | Thr | Gln 335 | Tyr |
| Ser | Lys | Val | Leu 340 | Ala | Leu | Tyr | Asn | Gln 345 | His | Asn | Pro | Gly | Ala 350 | Ser | Ala |
| Ala | Pro | Cys 355 | Cys | Val | Pro | Gln | Ala 360 | Leu | Glu | Pro | Leu | Pro 365 | Ile | Val | Tyr |
| Tyr | Val 370 | Gly | Arg | Lys | Pro | Lys 375 | Val | Glu | Gln | Leu | Ser 380 | Asn | Met | Ile | Val |
| Arg 385 | Ser | Cys | Lys | Cys | Ser 390 | | | | | | | | | | |
| <210 <211 <212 <213 | > 414 > PR | Т | apien | s | | | | | | | | | | | |
| <400 | > 2 | | | | | | | | | | | | | | |

| Met 1 | His | Tyr | Cys | Val 5 | Leu | Ser | Ala | Phe | Leu 10 | Ile | Leu | His | Leu | Val 15 | Thr |
|------------|------------|------------|------------|------------|------------|------------|------------|------------|------------|------------|------------|------------|------------|------------|------------|
| Val | Ala | Leu | Ser 20 | Leu | Ser | Thr | Cys | Ser 25 | Thr | Leu | Asp | Met | Asp 30 | Gln | Phe |
| Met | Arg | Lys 35 | Arg | Ile | Glu | Ala | Ile 40 | Arg | Gly | Gln | Ile | Leu 45 | Ser | Lys | Leu |
| Lys | Leu 50 | Thr | Ser | Pro | Pro | Glu 55 | Asp | Tyr | Pro | Glu | Pro 60 | Glu | Glu | Val | Pro |
| Pro 65 | Glu | Val | Ile | Ser | Ile 70 | Tyr | Asn | Ser | Thr | Arg 75 | Asp | Leu | Leu | Gln | Glu 80 |
| Lys | Ala | Ser | Arg | Arg 85 | Ala | Ala | Ala | Cys | Glu 90 | Arg | Glu | Arg | Ser | Asp 95 | Glu |
| Glu | Tyr | Tyr | Ala 100 | Lys | Glu | Val | Tyr | Lys 105 | Ile | Asp | Met | Pro | Pro 110 | Phe | Phe |
| Pro | Ser | Glu 115 | Asn | Ala | Ile | Pro | Pro 120 | Thr | Phe | Tyr | Arg | Pro 125 | Tyr | Phe | Arg |
| Ile | Val 130 | Arg | Phe | Asp | Val | Ser 135 | Ala | Met | Glu | Lys | Asn 140 | Ala | Ser | Asn | Leu |
| Val 145 | Lys | Ala | Glu | Phe | Arg 150 | Val | Phe | Arg | Leu | Gln 155 | Asn | Pro | Lys | Ala | Arg 160 |
| Val | Pro | Glu | Gln | Arg 165 | Ile | Glu | Leu | Tyr | Gln 170 | Ile | Leu | Lys | Ser | Lys 175 | Asp |
| Leu | Thr | Ser | Pro 180 | Thr | Gln | Arg | Tyr | Ile 185 | Asp | Ser | Lys | Val | Val 190 | Lys | Thr |
| Arg | Ala | Glu 195 | Gly | Glu | Trp | Leu | Ser 200 | Phe | Asp | Val | Thr | Asp 205 | Ala | Val | His |
| Glu | Tro | T.e.11 | His | His | Lvs | Asp | Ara | Asn | T.e.11 | Gl v | Phe | Lvs | Tle | Ser | T.e.11 |

| | 210 | | | | | 215 | | | | | 220 | | | | |
|-------------------|------------------------------|------------|------------|----------------|------------|------------|------------|------------|------------|-------------------|------------|------------|------------|------------|------------|
| His 225 | Cys | Pro | Суѕ | Суѕ | Thr 230 | Phe | Val | Pro | Ser | Asn 235 | Asn | Tyr | Ile | Ile | Pro 240 |
| Asn | Lys | Ser | Glu | Glu 245 | Leu | Glu | Ala | Arg | Phe 250 | Ala | Gly | Ile | Asp | Gly 255 | Thr |
| Ser | Thr | Tyr | Thr 260 | Ser | Gly | Asp | Gln | Lys 265 | Thr | Ile | Lys | Ser | Thr 270 | Arg | Lys |
| Lys | Asn | Ser 275 | Gly | Lys | Thr | Pro | His 280 | Leu | Leu | Leu | Met | Leu 285 | Leu | Pro | Ser |
| Tyr | Arg 290 | Leu | Glu | Ser | Gln | Gln 295 | Thr | Asn | Arg | Arg | Lys 300 | Lys | Arg | Ala | Leu |
| Asp 305 | Ala | Ala | Tyr | Cys | Phe 310 | Arg | Asn | Val | Gln | Asp 315 | Asn | Cys | Cys | Leu | Arg 320 |
| Pro | Leu | Tyr | Ile | Asp 325 | Phe | Lys | Arg | Asp | Leu 330 | Gly | Trp | Lys | Trp | Ile 335 | His |
| Glu | Pro | Lys | Gly 340 | Tyr | Asn | Ala | Asn | Phe 345 | Cys | Ala | Gly | Ala | Cys 350 | Pro | Tyr |
| Leu | Trp | Ser 355 | Ser | Asp | Thr | Gln | His 360 | Ser | Arg | Val | Leu | Ser 365 | Leu | Tyr | Asn |
| Thr | Ile 370 | Asn | Pro | Glu | Ala | Ser 375 | Ala | Ser | Pro | Cys | Cys 380 | Val | Ser | Gln | Asp |
| Leu 385 | Glu | Pro | Leu | Thr | Ile 390 | Leu | Tyr | Tyr | Ile | Gly 395 | Lys | Thr | Pro | Lys | Ile 400 |
| Glu | Gln | Leu | Ser | Asn 405 | Met | Ile | Val | Lys | Ser 410 | Сув | Lys | Cys | Ser | | |
| <212 | > 3 > 412 > PR > Ho | Т | apiens | 5 | | | | | | | | | | | |
| <400 | > 3 | | | | | | | | | | | | | | |
| Met 1 | Lys | Met | His | Leu 5 | Gln | Arg | Ala | Leu | Val 10 | Val | Leu | Ala | Leu | Leu 15 | Asn |
| Phe | Ala | Thr | Val | Ser | Leu | Ser | Leu | Ser | Thr | Cys | Thr | Thr | Leu | Asp | Phe |

| | | | 20 | | | | | 25 | | | | | 30 | | |
|------------|------------|------------|------------|------------|------------|------------|------------|------------|------------|------------|------------|-------------------|------------|-------------------|------------|
| Gly | His | Ile 35 | Lys | Lys | Lys | Arg | Val 40 | Glu | Ala | Ile | Arg | Gly 4 5 | Gln | Ile | Leu |
| Ser | Lys 50 | Leu | Arg | Leu | Thr | Ser 55 | Pro | Pro | Glu | Pro | Thr 60 | Val | Met | Thr | His |
| Val 65 | Pro | Tyr | Gln | Val | Leu 70 | Ala | Leu | Tyr | Asn | Ser 75 | Thr | Arg | Glu | Leu | Leu 80 |
| Glu | Glu | Met | His | Gly 85 | Glu | Arg | Glu | Glu | Gly 90 | Cys | Thr | Gln | Glu | Asn 95 | Thr |
| Glu | Ser | Glu | Tyr 100 | Tyr | Ala | Lys | Glu | Ile 105 | His | Lys | Phe | Asp | Met 110 | Ile | Gln |
| Gly | Leu | Ala 115 | Glu | His | Asn | Glu | Leu 120 | Ala | Val | Cys | Pro | Lys 125 | Gly | Ile | Thr |
| Ser | Lys 130 | Val | Phe | Arg | Phe | Asn 135 | Val | Ser | Ser | Val | Glu 140 | Lys | Asn | Arg | Thr |
| Asn 145 | Leu | Phe | Arg | Ala | Glu 150 | Phe | Arg | Val | Leu | Arg 155 | Val | Pro | Asn | Pro | Ser 160 |
| Ser | Lys | Arg | Asn | Glu 165 | Gln | Arg | Ile | Glu | Leu 170 | Phe | Gln | Ile | Leu | Arg 175 | Pro |
| Asp | Glu | His | Ile 180 | Ala | Lys | Gln | Arg | Tyr 185 | Ile | Gly | Gly | Lys | Asn 190 | Leu | Pro |
| Thr | Arg | Gly 195 | Thr | Ala | Glu | Trp | Leu 200 | Ser | Phe | Asp | Val | Thr 205 | Asp | Thr | Val |
| Arg | Glu 210 | Trp | Leu | Leu | Arg | Arg 215 | Glu | Ser | Asn | Leu | Gly 220 | Leu | Glu | Ile | Ser |
| Ile 225 | His | Cys | Pro | Cys | His 230 | Thr | Phe | Gln | Pro | Asn 235 | Gly | Asp | Ile | Leu | Glu 240 |
| Asn | Ile | His | Glu | Val 245 | Met | Glu | Ile | Lys | Phe 250 | Lys | Gly | Val | Asp | Asn 255 | Glu |
| Asp | Asp | His | Gly 260 | Arg | Gly | Asp | Leu | Gly 265 | Arg | Leu | Lys | Lys | Gln 270 | Lys | Asp |

| | His | His | Asn 275 | Pro | His | Leu | Ile | Leu 280 | Met | Met | Ile | Pro | Pro 285 | His | Arg | Leu |
|----|----------------------------------|--------------|-------------------|------------|------------|------------|------------|------------|------------|------------|------------|--------------------|------------|-------------------|------------|------------|
| | Asp | Asn 290 | Pro | Gly | Gln | Gly | Gly 295 | Gln | Arg | Lys | Lys | A rg 300 | Ala | Leu | Asp | Thr |
| | Asn 305 | Tyr | Cys | Phe | Arg | Asn 310 | Leu | Glu | Glu | Asn | Cys 315 | Cys | Val | Arg | Pro | Leu 320 |
| | Tyr | Ile | Asp | Phe | Arg 325 | Gln | Asp | Leu | Gly | Trp 330 | Lys | Trp | Val | His | Glu 335 | Pro |
| | Lys | Gly | Tyr | Tyr 340 | Ala | Asn | Phe | Cys | Ser 345 | Gly | Pro | Cys | Pro | Tyr 350 | Leu | Arg |
| | Ser | Ala | Asp 355 | Thr | Thr | His | Ser | Thr 360 | Val | Leu | Gly | Leu | Tyr 365 | Asn | Thr | Leu |
| | Asn | Pro 370 | Glu | Ala | Ser | Ala | Ser 375 | Pro | Cys | Cys | Val | Pro 380 | Gln | Asp | Leu | Glu |
| | Pro 385 | Leu | Thr | Ile | Leu | Tyr 390 | Tyr | Val | Gly | Arg | Thr 395 | Pro | Lys | Val | Glu | Gln 400 |
| | Leu | Ser | Asn | Met | Val 405 | Val | Lys | Ser | Cys | Lys 410 | Cys | Ser | | | | |
| 5 | <210: <211: <212: <213: | > 5 > PR | | cia art | ificial | | | | | | | | | | | |
| 10 | <220 <223 | | otido | sintét | ico | | | | | | | | | | | |
| | <400 | > 4 | | | | | | | | | | | | | | |
| 15 | Ser A | sn V | al lle | Ser 5 | | | | | | | | | | | | |
| | <210: <211: <212: <213: | > 17 > PR | | cia art | ificial | | | | | | | | | | | |
| 20 | <220 <223 | | otido : | sintét | ico | | | | | | | | | | | |
| | <400 | > 5 | | | | | | | | | | | | | | |
| 25 | Gly 1 Gly | Val | Ile | Pro | Ile 5 | Val | Asp | Ile | Ala | Asn 10 | Tyr | Ala | Gln | Arg | Phe 15 | Lys |
| 30 | <210: <211: <212: <213: | > 11 > PR | | cia art | ificial | | | | | | | | | | | |
| 35 | <220: | | otido : | sintét | ico | | | | | | | | | | | |

```
<400>6
      Thr Leu Gly Leu Val Leu Asp Ala Met Asp Tyr
 5
     <210>7
      <211> 12
      <212> PRT
      <213> Secuencia artificial
10
     <220>
     <223> Péptido sintético
     <400> 7
15
      Arg Ala Ser Gln Ser Leu Gly Ser Ser Tyr Leu Ala
                                               10
      <210>8
     <211>7
     <212> PRT
20
     <213> Secuencia artificial
     <220>
     <223> Péptido sintético
25
      <400>8
      Gly Ala Ser Ser Arg Ala Pro
     <210>9
30
      <211>9
      <212> PRT
     <213> Secuencia artificial
35
     <220>
     <223> Péptido sintético
      <400> 9
      Gln Gln Tyr Ala Asp Ser Pro Ile Thr
40
     <210> 10
     <211> 120
     <212> PRT
45
     <213> Secuencia artificial
     <223> Polipéptido sintético
```

50

<400> 10

Gln Val Gln Leu Val Gln Ser Gly Ala Glu Val Lys Lys Pro Gly Ser 1 5 5 10 10 15 15 15

| | Ser | Val | Lys | Val 20 | Ser | Cys | Lys | Ala | Ser 25 | Gly | Tyr | Thr | Phe | Ser 30 | Ser | Asn |
|----|------------------|------------------|-------------------------|-------------------|-------------------------|-------------------------|-------------------------|-------------------------|-------------------|-------------------------|------------------|------------------|------------------|------------|-------------------|------------------|
| | Val | Ile | Ser 35 | Trp | Val | Arg | Gln | Ala 40 | Pro | Gly | Gln | Gly | Leu 45 | Glu | Trp | Met |
| | Gly | Gly 50 | Val | Ile | Pro | Ile | Val 55 | Asp | Ile | Ala | Asn | Tyr 60 | Ala | Gln | Arg | Phe |
| | Lys 65 | Gly | Arg | Val | Thr | Ile 70 | Thr | Ala | Asp | Glu | Ser 75 | Thr | Ser | Thr | Thr | Tyr 80 |
| | Met | Glu | Leu | Ser | Ser 85 | Leu | Arg | Ser | Glu | Asp 90 | Thr | Ala | Val | Tyr | Tyr 95 | Cys |
| | Ala | Ser | Thr | Leu 100 | Gly | Leu | Val | Leu | Asp 105 | Ala | Met | Asp | Tyr | Trp 110 | Gly | Gln |
| | Gly | Thr | Leu 115 | Val | Thr | Val | Ser | Ser 120 | | | | | | | | |
| 5 | <212 | > 108 > PR | | ia art | ificial | | | | | | | | | | | |
| | <220 <223 | | ipépti | do si | ntétic | 0 | | | | | | | | | | |
| 10 | <400 | > 11 | | | | | | | | | | | | | | |
| | Glu 1 | Thr | Val | Leu | Thr 5 | Gln | Ser | Pro | Gly | Thr 10 | Leu | Ser | Leu | Ser | Pro 15 | Gly |
| | Glu | Arg | Ala | Thr 20 | Leu | Ser | Cys | Arg | Ala 25 | Ser | Gln | Ser | Leu | Gly 30 | Ser | Ser |
| | Tyr | Leu | Ala | Tro | П | ~ 1 . | | | | | | | | | | T |
| | | | 35 | | TÄT | GIN | Gln | Lys 40 | Pro | Gly | Gln | Ala | Pro 45 | Arg | Leu | Leu |
| | Ile | Tyr 50 | 35 | | | | | 40 | | | | | 45 | Arg Arg | | |
| | | 50 | 35 Gly | Ala | Ser | Ser | Arg 55 | 40 Ala | Pro | Gly | Ile | Pro 60 | 45 Asp | | Phe | Ser |
| | Gly 65 | 50 Ser | 35 Gly Gly | Ala Ser | Ser Gly | Ser Thr 70 | Arg 55 Asp | 40 Ala Phe | Pro Thr | Gly Leu | Ile Thr 75 | Pro 60 | 45 Asp Ser | Arg | Phe Leu | Ser Glu 80 |
| 15 | Gly 65 Pro | 50 Ser Glu | 35 Gly Gly Asp | Ala Ser Phe | Ser Gly Ala 85 | Ser Thr 70 Val | Arg 55 Asp Tyr | 40 Ala Phe Tyr | Pro Thr Cys | Gly Leu Gln 90 | Ile Thr 75 | Pro 60 Ile | 45 Asp Ser | Arg Arg | Phe Leu Ser | Ser Glu 80 |

| <213 | > Hor | mo sa | apiens | 3 | | | | | | | | | | | |
|-----------|-----------|-----------|------------|-----------|-----------|------------------|-----------|------------|-----------|-----------|-----------|-----------|-----------|-----------|-----------|
| <400 | > 12 | | | | | | | | | | | | | | |
| Ala 1 | Ser | Thr | Lys | Gly 5 | Pro | Ser | Val | Phe | Pro 10 | Leu | Ala | Pro | Cys | Ser 15 | Arg |
| Ser | Thr | Ser | Glu 20 | Ser | Thr | Ala | Ala | Leu 25 | Gly | Cys | Leu | Val | Lys 30 | Asp | Tyr |
| Phe | Pro | Glu 35 | Pro | Val | Thr | Val | Ser 40 | Trp | Asn | Ser | Gly | Ala 45 | Leu | Thr | Ser |
| Gly | Val 50 | His | Thr | Phe | Pro | Ala 55 | Val | Leu | Gln | Ser | Ser 60 | Gly | Leu | Tyr | Ser |
| Leu 65 | Ser | Ser | Val | Val | Thr 70 | Val | Pro | Ser | Ser | Ser 75 | Leu | Gly | Thr | Lys | Thr 80 |
| Tyr | Thr | Cys | Asn | Val 85 | Asp | His | Lys | Pro | Ser 90 | Asn | Thr | Lys | Val | Asp 95 | Lys |
| Arg | Val | Glu | Ser 100 | Lys | Tyr | Gly | Pro | Pro 105 | Cys | Pro | Ser | Cys | Pro | Ala | Pro |

Asp Thr Leu Met Ile Ser Arg Thr Pro Glu Val Thr Cys Val Val Val

135

Glu Phe Leu Gly Gly Pro Ser Val Phe Leu Phe Pro Pro Lys Pro Lys 115 120 125

Asp Val Ser Gln Glu Asp Pro Glu Val Gln Phe Asn Trp Tyr Val Asp 145 150 155 160

Gly Val Glu Val His Asn Ala Lys Thr Lys Pro Arg Glu Glu Gln Phe

| | | | | 165 | | | | | 170 | | | | | 175 | |
|------------------------------|---------------|------------|------------|------------|------------|------------|------------|------------|------------|------------|------------|------------|------------|------------|------------|
| Asn | Ser | Thr | Tyr 180 | Arg | Val | Val | Ser | Val 185 | Leu | Thr | Val | Leu | His 190 | Gln | Asp |
| Trp | Leu | Asn 195 | Gly | Lys | Glu | Tyr | Lys 200 | Cys | Lys | Val | Ser | Asn 205 | Lys | Gly | Leu |
| Pro | Ser 210 | Ser | Ile | Glu | Lys | Thr 215 | Ile | Ser | Lys | Ala | Lys 220 | Gly | Gln | Pro | Arg |
| Glu 225 | Pro | Gln | Val | Tyr | Thr 230 | Leu | Pro | Pro | Ser | Gln 235 | Glu | Glu | Met | Thr | Lys 240 |
| Asn | Gln | Val | Ser | Leu 245 | Thr | Cys | Leu | Val | Lys 250 | Gly | Phe | Tyr | Pro | Ser 255 | Asp |
| Ile | Ala | Val | Glu 260 | Trp | Glu | Ser | Asn | Gly 265 | Gln | Pro | Glu | Asn | Asn 270 | Tyr | Lys |
| Thr | Thr | Pro 275 | Pro | Val | Leu | Asp | Ser 280 | Asp | Gly | Ser | Phe | Phe 285 | Leu | Tyr | Ser |
| Arg | Leu 290 | Thr | Val | Asp | Lys | Ser 295 | Arg | Trp | Gln | Glu | Gly 300 | Asn | Val | Phe | Ser |
| Cys 305 | Ser | Val | Met | His | Glu 310 | Ala | Leu | His | Asn | His 315 | Tyr | Thr | Gln | Lys | Ser 320 |
| Leu | Ser | Leu | Ser | Leu 325 | Gly | Lys | | | | | | | | | |
| <210 <211 <212 <213 | > 107 > PR | Т | apiens | 6 | | | | | | | | | | | |
| <400 | > 13 | | | | | | | | | | | | | | |
| Arg 1 | Thr | Val | Ala | Ala 5 | Pro | Ser | Val | Phe | Ile 10 | Phe | Pro | Pro | Ser | Asp 15 | Glu |
| Gln | Leu | Lys | Ser 20 | Gly | Thr | Ala | Ser | Val 25 | Val | Cys | Leu | Leu | Asn 30 | Asn | Phe |
| Tyr | Pro | Arg 35 | Glu | Ala | Lys | Val | Gln 40 | Trp | Lys | Val | Asp | Asn 45 | Ala | Leu | Gln |
| Sar | G1 v | Δen | Ser | Gln | G111 | Ser | Va 1 | Thr | Glu | Gln | Δen | Ser | T.ve | Agn | Ser |

| | 50 | | | | | 55 | | | | | 60 | | | | |
|------------------------------|---------------|------------|------------|-----------|------------|------------|------------|------------|-----------|------------|------------|------------|------------|-----------|------------|
| Thr 65 | Tyr | Ser | Leu | Ser | Ser 70 | Thr | Leu | Thr | Leu | Ser 75 | Lys | Ala | Asp | Tyr | Glu 80 |
| Lys | His | Lys | Val | Tyr 85 | Ala | Cys | Glu | Val | Thr 90 | His | Gln | Gly | Leu | Ser 95 | Ser |
| Pro | Val | Thr | Lys 100 | Ser | Phe | Asn | Arg | Gly 105 | Glu | Cys | | | | | |
| <210 <211 <212 <213 | > 447 > PR | Т | cia art | ificial | | | | | | | | | | | |
| <220 <223 | | ipépti | ido si | ntétic | 0 | | | | | | | | | | |
| <400 | > 14 | | | | | | | | | | | | | | |
| Gln 1 | Val | Gln | Leu | Val 5 | Gln | Ser | Gly | Ala | Glu 10 | Val | Lys | Lys | Pro | Gly 15 | Ser |
| Ser | Val | Lys | Val 20 | Ser | Cys | Lys | Ala | Ser 25 | Gly | Tyr | Thr | Phe | Ser 30 | Ser | Asn |
| Val | Ile | Ser 35 | Trp | Val | Arg | Gln | Ala 40 | Pro | Gly | Gln | Gly | Leu 45 | Glu | Trp | Met |
| Gly | Gly 50 | Val | Ile | Pro | Ile | Val 55 | Asp | Ile | Ala | Asn | Tyr 60 | Ala | Gln | Arg | Phe |
| Lys 65 | Gly | Arg | Val | Thr | Ile 70 | Thr | Ala | Asp | Glu | Ser 75 | Thr | Ser | Thr | Thr | Tyr 80 |
| Met | Glu | Leu | Ser | Ser 85 | Leu | Arg | Ser | Glu | Asp 90 | Thr | Ala | Val | Tyr | Tyr 95 | Cys |
| Ala | Ser | Thr | Leu 100 | Gly | Leu | Val | Leu | Asp 105 | Ala | Met | Asp | Tyr | Trp 110 | Gly | Gln |
| Gly | Thr | Leu 115 | Val | Thr | Val | Ser | Ser 120 | Ala | Ser | Thr | Lys | Gly 125 | Pro | Ser | Val |
| Phe | Pro 130 | Leu | Ala | Pro | Cys | Ser 135 | Arg | Ser | Thr | Ser | Glu 140 | Ser | Thr | Ala | Ala |
| Leu 145 | Gly | Cys | Leu | Val | Lys 150 | Asp | Tyr | Phe | Pro | Glu 155 | Pro | Val | Thr | Val | Ser 160 |

| Trp Asn Ser | Gly Ala Leu 165 | Thr Ser Gl | y Val His Thr 170 | Phe Pro Ala Val 175 |
|--------------------|--------------------|----------------------------------|----------------------|--------------------------|
| Leu Gln Ser | Ser Gly Leu 180 | Tyr Ser Lei 18 | | Val Thr Val Pro 190 |
| Ser Ser Ser 195 | Leu Gly Thr | Lys Thr Ty: 200 | r Thr Cys Asn | Val Asp His Lys 205 |
| Pro Ser Asn 210 | Thr Lys Val | . Asp Lys Arg 215 | g Val Glu Ser 220 | Lys Tyr Gly Pro |
| Pro Cys Pro 225 | Ser Cys Pro 230 | | u Phe Leu Gly 235 | Gly Pro Ser Val 240 |
| Phe Leu Phe | Pro Pro Lys 245 | Pro Lys Asp | o Thr Leu Met 250 | Ile Ser Arg Thr 255 |
| Pro Glu Val | Thr Cys Val 260 | . Val Val As _i 269 | | Glu Asp Pro Glu 270 |
| Val Gln Phe 275 | Asn Trp Tyr | Val Asp Gly 280 | y Val Glu Val | His Asn Ala Lys 285 |
| Thr Lys Pro 290 | Arg Glu Glu | Gln Phe Asi 295 | n Ser Thr Tyr 300 | Arg Val Val Ser |
| Val Leu Thr 305 | Val Leu His 31(| | o Leu Asn Gly 315 | Lys Glu Tyr Lys 320 |
| Cys Lys Val | Ser Asn Lys 325 | Gly Leu Pro | Ser Ser Ile 330 | Glu Lys Thr Ile 335 |
| Ser Lys Ala | Lys Gly Glr 340 | Pro Arg Gli 34: | | Tyr Thr Leu Pro 350 |
| 355 | | 360 | | Leu Thr Cys Leu 365 |
| 370 | _ | 375 | 380 | Trp Glu Ser Asn |
| 385 | 390 | , | 395 | Val Leu Asp Ser 400 |
| Asp Gly Ser | Phe Phe Leu 405 | Tyr Ser Ar | g Leu Thr Val 410 | Asp Lys Ser Arg 415 |
| Trp Gln Glu | Gly Asn Va 420 | l Phe Ser Cy 42 | | t His Glu Ala Leu 430 |
| His Asn His 435 | Tyr Thr Gl | n Lys Ser Le 440 | eu Ser Leu Se | r Leu Gly Lys 445 |

<210> 15 <211> 215

| 5 | <220 <223 | | ipépti | ido si | ntétic | 0 | | | | | | | | | | |
|----|--------------|---------------|------------|------------|------------|------------|------------|------------|------------|------------|------------|------------|------------|------------|------------|------------|
| | <400 | > 15 | | | | | | | | | | | | | | |
| | Glu 1 | Thr | Val | Leu | Thr 5 | Gln | Ser | Pro | Gly | Thr 10 | Leu | Ser | Leu | Ser | Pro 15 | Gly |
| | Glu | Arg | Ala | Thr 20 | Leu | Ser | Cys | Arg | Ala 25 | Ser | Gln | Ser | Leu | Gly 30 | Ser | Ser |
| | Tyr | Leu | Ala 35 | Trp | Tyr | Gln | Gln | Lys 40 | Pro | Gly | Gln | Ala | Pro 45 | Arg | Leu | Leu |
| | Ile | Tyr 50 | Gly | Ala | Ser | Ser | Arg 55 | Ala | Pro | Gly | Ile | Pro 60 | Asp | Arg | Phe | Ser |
| | Gly 65 | Ser | Gly | Ser | Gly | Thr 70 | Asp | Phe | Thr | Leu | Thr 75 | Ile | Ser | Arg | Leu | Glu 80 |
| | Pro | Glu | Asp | Phe | Ala 85 | Val | Tyr | Tyr | Cys | Gln 90 | Gln | Tyr | Ala | Asp | Ser 95 | Pro |
| | Ile | Thr | Phe | Gly 100 | Gln | Gly | Thr | Arg | Leu 105 | Glu | Ile | Lys | Arg | Thr 110 | Val | Ala |
| | Ala | Pro | Ser 115 | Val | Phe | Ile | Phe | Pro 120 | Pro | Ser | Asp | Glu | Gln 125 | Leu | Lys | Ser |
| | Gly | Thr 130 | Ala | Ser | Val | Val | Cys 135 | Leu | Leu | Asn | Asn | Phe 140 | Tyr | Pro | Arg | Glu |
| | Ala 145 | Lys | Val | Gln | Trp | Lys 150 | Val | Asp | Asn | Ala | Leu 155 | Gln | Ser | Gly | Asn | Ser 160 |
| | Gln | Glu | Ser | Val | Thr | Glu | Gln | Asp | Ser | Lys | Asp | Ser | Thr | Tyr | Ser | Leu |
| | Ser | Ser | Thr | Leu 180 | 165 Thr | Leu | Ser | Lys | Ala 185 | 170 Asp | Tyr | Glu | Lys | His 190 | 175 Lys | Val |
| | Tyr | Ala | Cys 195 | Glu | Val | Thr | His | Gln 200 | Gly | Leu | Ser | Ser | Pro 205 | Val | Thr | Lys |
| 10 | Ser | Phe 210 | Asn | Arg | Gly | Glu | Cys 215 | | | | | | | | | |
| 15 | | > 19 :> PR | | cia art | tificial | | | | | | | | | | | |
| | <220 | | | | | | | | | | | | | | | |
| 20 | <400 | > 16 | | | | | | | | | | | | | | |

<212> PRT

<213> Secuencia artificial

Met Gly Trp Ser Cys Ile Ile Leu Phe Leu Val Ala Thr Ala Thr Gly Val His Ser 5 <210> 17 <211> 466 <212> PRT <213> Secuencia artificial 10 <220> <223> Polipéptido sintético <400> 17 Met Gly Trp Ser Cys Ile Ile Leu Phe Leu Val Ala Thr Ala Thr Gly Val His Ser Gln Val Gln Leu Val Gln Ser Gly Ala Glu Val Lys Lys Pro Gly Ser Ser Val Lys Val Ser Cys Lys Ala Ser Gly Tyr Thr Phe Ser Ser Asn Val Ile Ser Trp Val Arg Gln Ala Pro Gly Gln Gly Leu Glu Trp Met Gly Gly Val Ile Pro Ile Val Asp Ile Ala Asn Tyr Ala Gln Arg Phe Lys Gly Arg Val Thr Ile Thr Ala Asp Glu Ser Thr Ser 15

| | | | | 85 | | | | | 90 | | | | | 95 | |
|------------|------------|------------|------------|------------|------------|------------|------------|------------|------------|------------|------------|-------------------|------------|------------|-------------------|
| Thr | Thr | Tyr | Met 100 | Glu | Leu | Ser | Ser | Leu 105 | Arg | Ser | Glu | Asp | Thr 110 | Ala | Val |
| Tyr | Tyr | Cys 115 | Ala | Ser | Thr | Leu | Gly 120 | Leu | Val | Leu | Asp | Ala 125 | Met | Asp | Tyr |
| Trp | Gly 130 | Gln | Gly | Thr | Leu | Val 135 | Thr | Val | Ser | Ser | Ala 140 | Ser | Thr | Lys | Gly |
| Pro 145 | Ser | Val | Phe | Pro | Leu 150 | Ala | Pro | Cys | Ser | Arg 155 | Ser | Thr | Ser | Glu | Ser 160 |
| Thr | Ala | Ala | Leu | Gly 165 | Cys | Leu | Val | Lys | Asp 170 | Tyr | Phe | Pro | Glu | Pro 175 | Val |
| Thr | Val | Ser | Trp 180 | Asn | Ser | Gly | Ala | Leu 185 | Thr | Ser | Gly | Val | His 190 | Thr | Phe |
| Pro | Ala | Val 195 | Leu | Gln | Ser | Ser | Gly 200 | Leu | Tyr | Ser | Leu | Ser 205 | Ser | Val | Val |
| Thr | Val 210 | Pro | Ser | Ser | Ser | Leu 215 | Gly | Thr | Lys | Thr | Tyr 220 | Thr | Cys | Asn | Val |
| Asp 225 | His | Lys | Pro | Ser | Asn 230 | Thr | Lys | Val | Asp | Lys 235 | Arg | Val | Glu | Ser | Lys 240 |
| Tyr | Gly | Pro | Pro | Cys 245 | Pro | Ser | Cys | Pro | Ala 250 | Pro | Glu | Phe | Leu | Gly 255 | Gly |
| Pro | Ser | Val | Phe 260 | Leu | Phe | Pro | Pro | Lys 265 | Pro | Lys | Asp | Thr | Leu 270 | Met | Ile |
| Ser | Arg | Thr 275 | Pro | Glu | Val | Thr | Cys 280 | Val | Val | Val | Asp | Val 285 | Ser | Gln | Glu |
| Asp | Pro 290 | Glu | Val | Gln | Phe | Asn 295 | Trp | Tyr | Val | Asp | Gly 300 | Val | Glu | Val | His |
| Asn 305 | Ala | Lys | Thr | Lys | Pro 310 | Arg | Glu | Glu | Gln | Phe 315 | Asn | Ser | Thr | Tyr | Arg 320 |
| Val | Val | Ser | Val | Leu 325 | Thr | Val | Leu | His | Gln 330 | Asp | Trp | Leu | Asn | Gly 335 | Lys |

| Lys | Thr | Ile 355 | Ser | Lys | Ala | Lys | Gly 360 | Gln | Pro | Arg | Glu | Pro 365 | Gln | Val | Tyr |
|-----------------|---------------------------|-------------------------|-------------------------|-----------------|------------|------------|------------------|------------------|------------------|-------------------|-------------------|------------------|------------------|------------------|------------|
| Thr | Leu 370 | Pro | Pro | Ser | Gln | Glu 375 | Glu | Met | Thr | Lys | Asn 380 | Gln | Val | Ser | Leu |
| Thr 385 | Cys | Leu | Val | Lys | Gly 390 | Phe | Tyr | Pro | Ser | Asp 395 | Ile | Ala | Val | Glu | Trp 400 |
| Glu | Ser | Asn | Gly | Gln 405 | Pro | Glu | Asn | Asn | Tyr 410 | Lys | Thr | Thr | Pro | Pro 415 | Val |
| Leu | Asp | Ser | Asp 420 | Gly | Ser | Phe | Phe | Leu 425 | Tyr | Ser | Arg | Leu | Thr 430 | Val | Asp |
| Lys | Ser | Arg 435 | Trp | Gln | Glu | Gly | Asn 440 | Val | Phe | Ser | Cys | Ser 445 | Val | Met | His |
| Glu | Ala 450 | Leu | His | Asn | His | Tyr 455 | Thr | Gln | Lys | Ser | Leu 460 | Ser | Leu | Ser | Leu |
| Gly 465 | Lys | | | | | | | | | | | | | | |
| <212 | > 23 ² > PR | Т | ia art | ificial | | | | | | | | | | | |
| <220 <223 | | ipépti | | | | | | | | | | | | | |
| | | 11 | do si | ntétic | 0 | | | | | | | | | | |
| <400 | > 18 | 11 | do si | ntétic | 0 | | | | | | | | | | |
| | | | | | 0 Ile | Ile | Leu | Phe | Leu 10 | Val | Ala | Thr | Ala | Thr 15 | Gly |
| Met 1 | Gly | Trp | Ser | Cys 5 | | | | | 10 | | | | | 15 | _ |
| Met 1 Val | Gly His | Trp | Ser Glu 20 | Cys 5 Thr | Ile | Leu | Thr | Gln 25 | 10 Ser | Pro | Gly | Thr | Leu 30 | 15 Ser | Leu |
| Met 1 Val | Gly His | Trp Ser Gly 35 | Ser Glu 20 Glu | Cys 5 Thr | Ile Val | Leu Thr | Thr Leu 40 | Gln 25 Ser | 10 Ser Cys | Pro Arg | Gly Ala | Thr Ser 45 | Leu 30 Gln | 15 Ser Ser | Leu Leu |

5

10

Glu Tyr Lys Cys Lys Val Ser Asn Lys Gly Leu Pro Ser Ser Ile Glu 340

70 65 75 80 Arg Phe Ser Gly Ser Gly Ser Gly Thr Asp Phe Thr Leu Thr Ile Ser 90 Arg Leu Glu Pro Glu Asp Phe Ala Val Tyr Tyr Cys Gln Gln Tyr Ala Asp Ser Pro Ile Thr Phe Gly Gln Gly Thr Arg Leu Glu Ile Lys Arg Thr Val Ala Ala Pro Ser Val Phe Ile Phe Pro Pro Ser Asp Glu Gln Leu Lys Ser Gly Thr Ala Ser Val Val Cys Leu Leu Asn Asn Phe Tyr 150 155 Pro Arg Glu Ala Lys Val Gln Trp Lys Val Asp Asn Ala Leu Gln Ser Gly Asn Ser Gln Glu Ser Val Thr Glu Gln Asp Ser Lys Asp Ser Thr 185 Tyr Ser Leu Ser Ser Thr Leu Thr Leu Ser Lys Ala Asp Tyr Glu Lys His Lys Val Tyr Ala Cys Glu Val Thr His Gln Gly Leu Ser Ser Pro 215 Val Thr Lys Ser Phe Asn Arg Gly Glu Cys <210> 19 <211> 16 <212> PRT <213> Mus sp. <220> <221> RES MOD <222> (7)..(7) <223> Pro hidroxilada <220> <221> RES_MOD <222> (12)..(12) <223> Pro 3-hidroxilada <220> <221> RES MOD <222> (13)..(13) <223> Pro hidroxilada <400> 19 Asp Gly Leu Asn Gly Leu Pro Gly Pro Ile Gly Pro Pro Gly Pro Arg 10 5 <210> 20 <211> 16

5

10

15

20

25

```
<212> PRT
     <213> Mus sp.
     <220>
 5
     <221> RES_MOD
     <222> (7)..(7)
      <223> Pro hidroxilada
     <220>
10
     <221> RES_MOD
      <222> (13)..(13)
     <223> Pro hidroxilada
     <400> 20
15
      Asp Gly Leu Asn Gly Leu Pro Gly Pro Ile Gly Pro Pro Gly Pro Arg
     <210> 21
     <211> 16
20
     <212> PRT
     <213> Mus sp.
     <220>
     <221> RES_MOD
25
     <222> (7)..(7)
      <223> Pro hidroxilada
      <220>
     <221> RES_MOD
30
     <222> (13)..(13)
     <223> Pro hidroxilada
      <400> 21
      Asp Gly Leu Asn Gly Leu Pro Gly Pro Ile Gly Pro Pro Gly Pro Arg
                        5
                                                                   15
35
```

REIVINDICACIONES

- 1. Un anticuerpo o un fragmento de unión a antígeno del mismo que se une específicamente a, y neutraliza, TGFβ1, TGFβ2 y TGFβ3 para uso en un método para tratar la osteogénesis imperfecta (OI) en un sujeto humano que lo necesita en combinación con un bisfosfonato.
- donde el anticuerpo comprende una región variable de cadena pesada que comprende la secuencia de aminoácidos de SEQ ID NO: 10 y una región variable de cadena ligera que comprende la secuencia de aminoácidos de SEQ ID NO: 11.
 - 2. El anticuerpo o fragmento de unión a antígeno para su uso de acuerdo con la reivindicación 1, donde el anticuerpo comprende una cadena pesada que comprende la secuencia de aminoácidos de SEQ ID NO: 14 y una cadena ligera que comprende la secuencia de aminoácidos de SEQ ID NO: 15.

10

NO: 11.

- 3. El anticuerpo o fragmento de unión a antígeno para su uso de acuerdo con la reivindicación 1 o 2, donde el bisfosfonato es alendronato.
- 4. El anticuerpo o fragmento de unión a antígeno para su uso de acuerdo con la reivindicación 1 o 2, donde el bisfosfonato es pamidronato.
- 15 5. El anticuerpo o fragmento de unión a antígeno para su uso de acuerdo con la reivindicación 1 o 2, donde el bisfosfonato es zoledronato.
 - 6. El anticuerpo o fragmento de unión a antígeno para su uso de acuerdo con la reivindicación 1 o 2, donde el bisfosfonato es risedronato.
- 7. El anticuerpo o fragmento de unión a antígeno para su uso de acuerdo con la reivindicación 1 o 2, donde el bisfosfonato es etidronato.
 - 8. El anticuerpo o fragmento de unión a antígeno para su uso de acuerdo con la reivindicación 1 o 2, donde el bisfosfonato es clodronato.
 - 9. El anticuerpo o fragmento de unión a antígeno para su uso de acuerdo con la reivindicación 1 o 2, donde el bisfosfonato es tiludronato.
- 25 10. El anticuerpo o fragmento de unión a antígeno para su uso de acuerdo con la reivindicación 1 o 2, donde el bisfosfonato es neridronato.
 - 11. El anticuerpo o fragmento de unión a antígeno para su uso de acuerdo con la reivindicación 1 o 2, donde el bisfosfonato es olpadronato.
- 12. Un anticuerpo o un fragmento de unión a antígeno del mismo que se une específicamente a, y neutraliza, TGFβ1, TGFβ2 y TGFβ3 para uso en un método para tratar la osteogénesis imperfecta (OI) en un sujeto humano que lo necesita en combinación con teriparatide, donde el anticuerpo comprende una región variable de cadena pesada que comprende la secuencia de aminoácidos de SEQ ID NO: 10 y una región variable de cadena ligera que comprende la secuencia de aminoácidos de SEQ ID
- 35 13. El anticuerpo o fragmento de unión a antígeno para su uso de acuerdo con la reivindicación 12, donde el anticuerpo comprende una cadena pesada que comprende la secuencia de aminoácidos de SEQ ID NO: 14 y una cadena ligera que comprende la secuencia de aminoácidos de SEQ ID NO: 15.

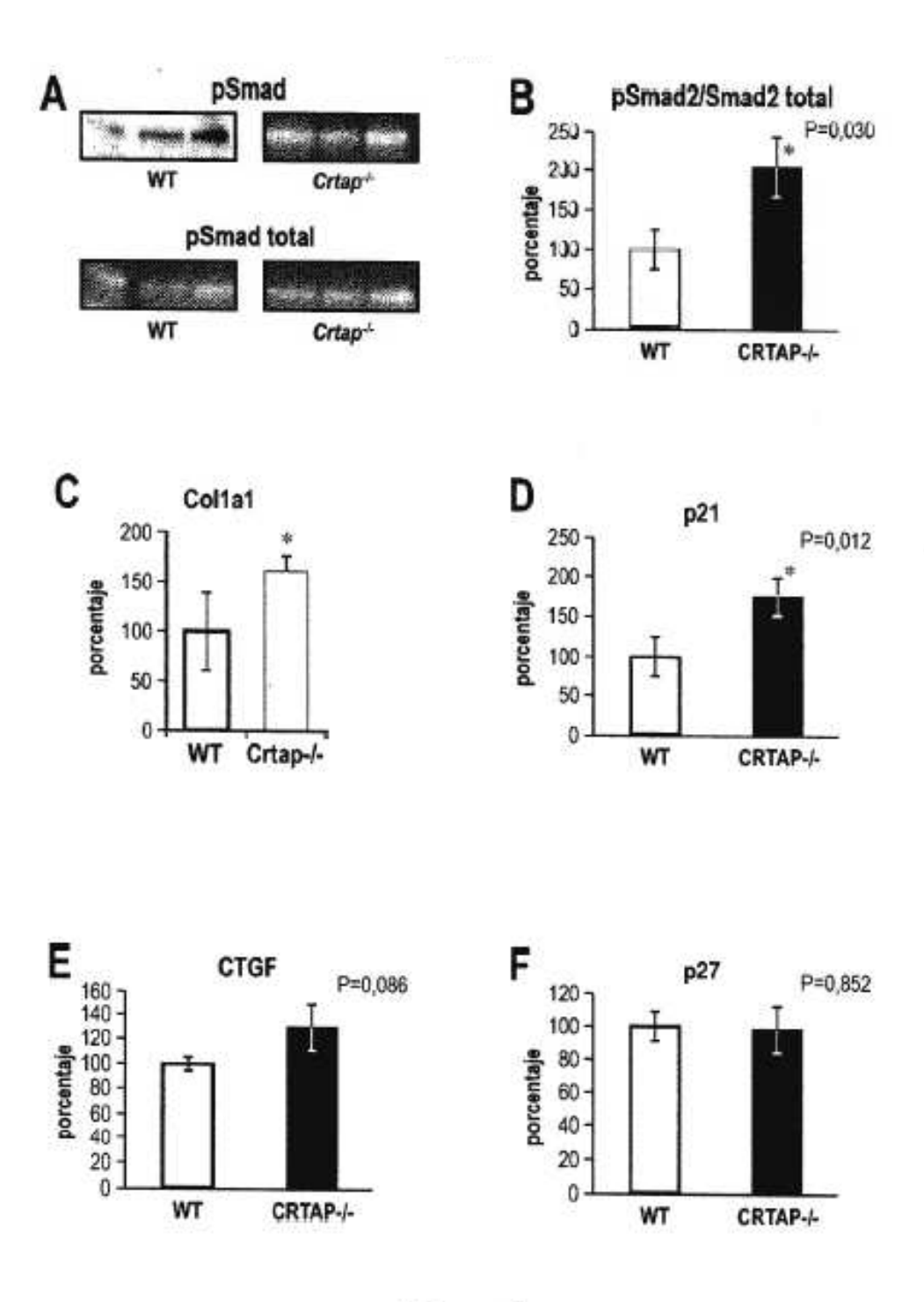
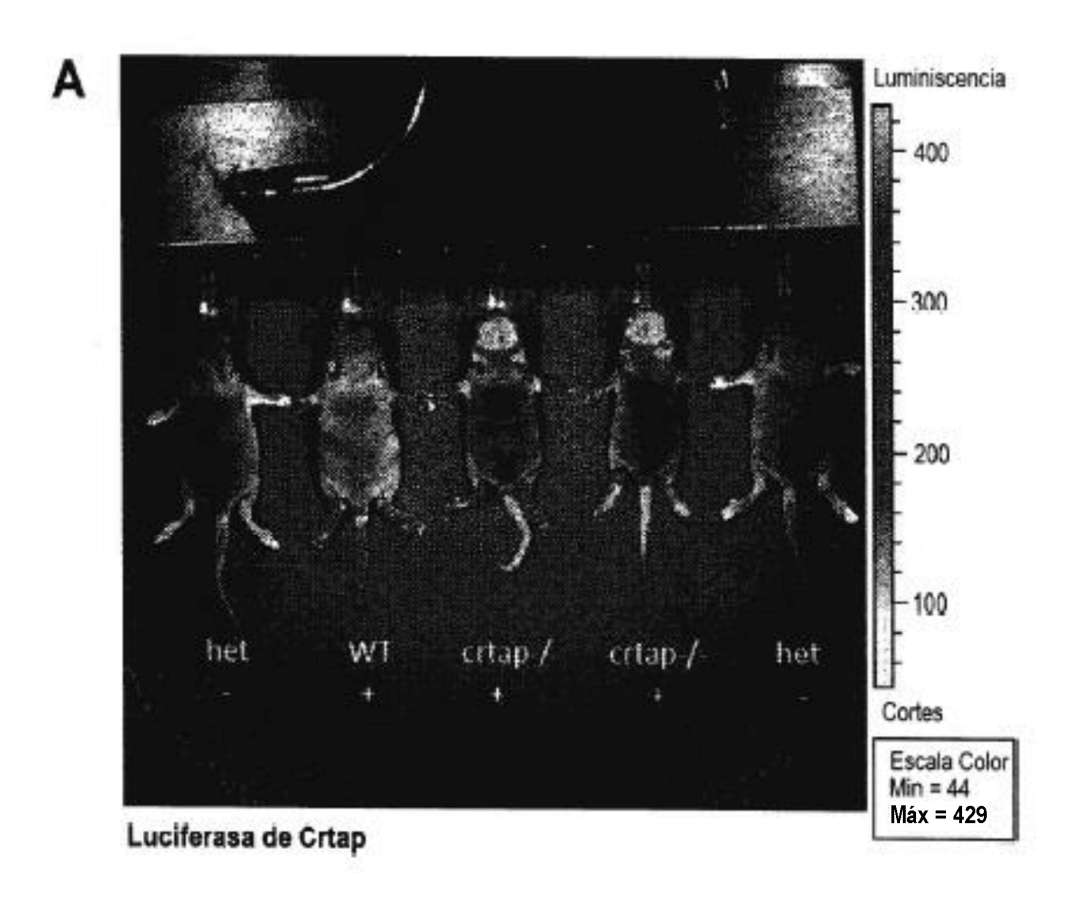
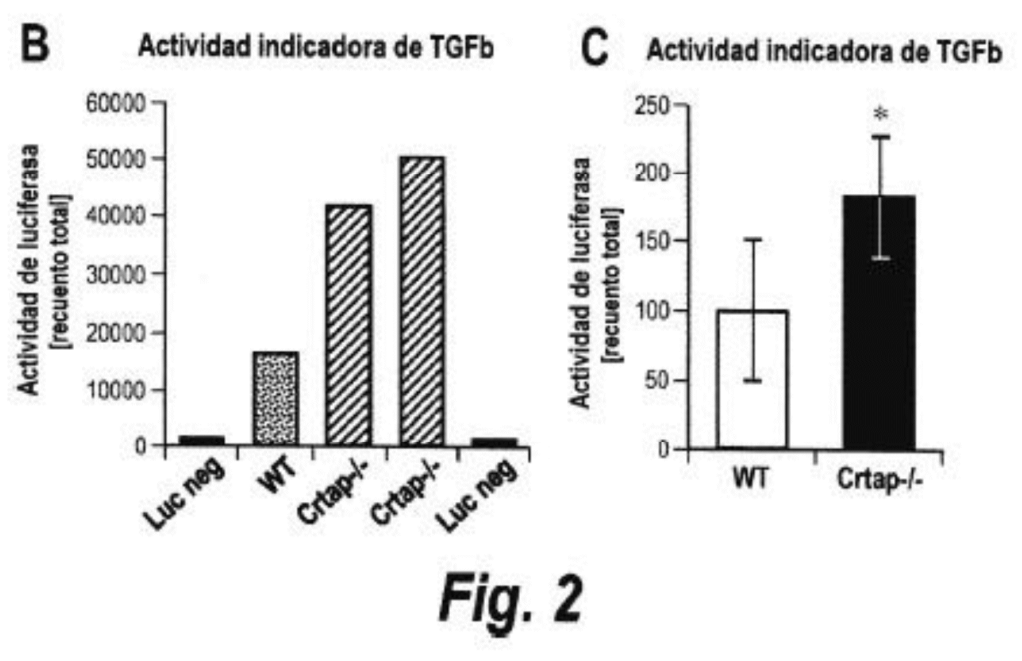


Fig. 1





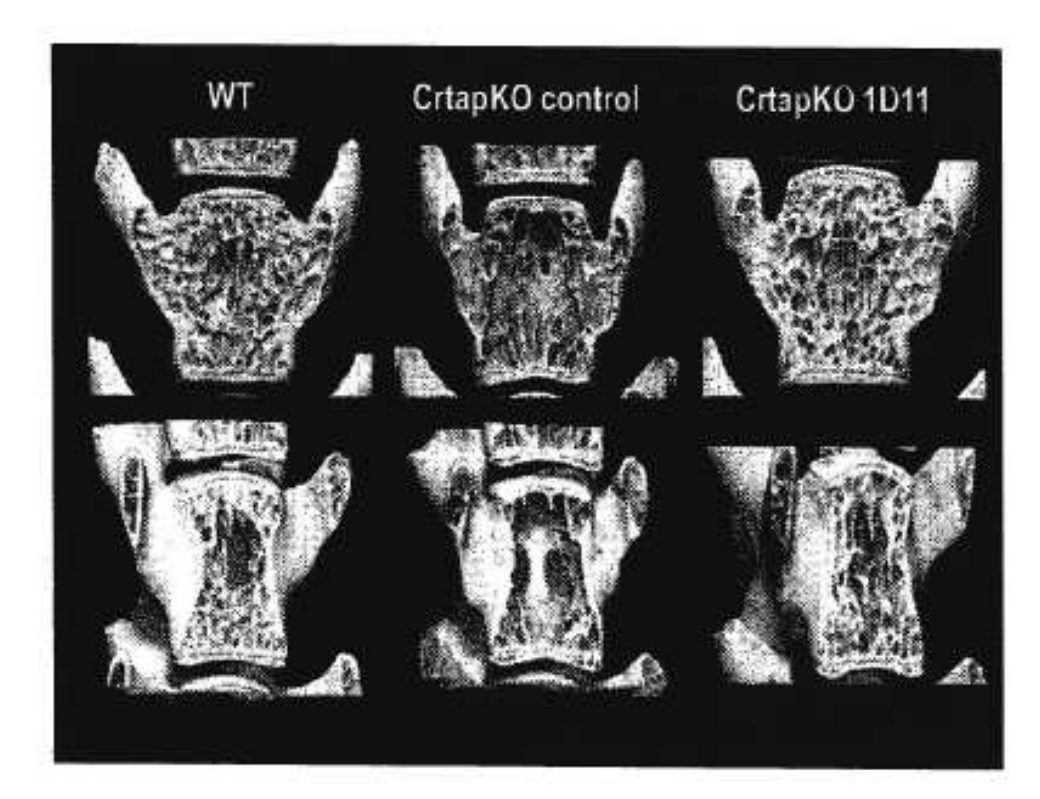
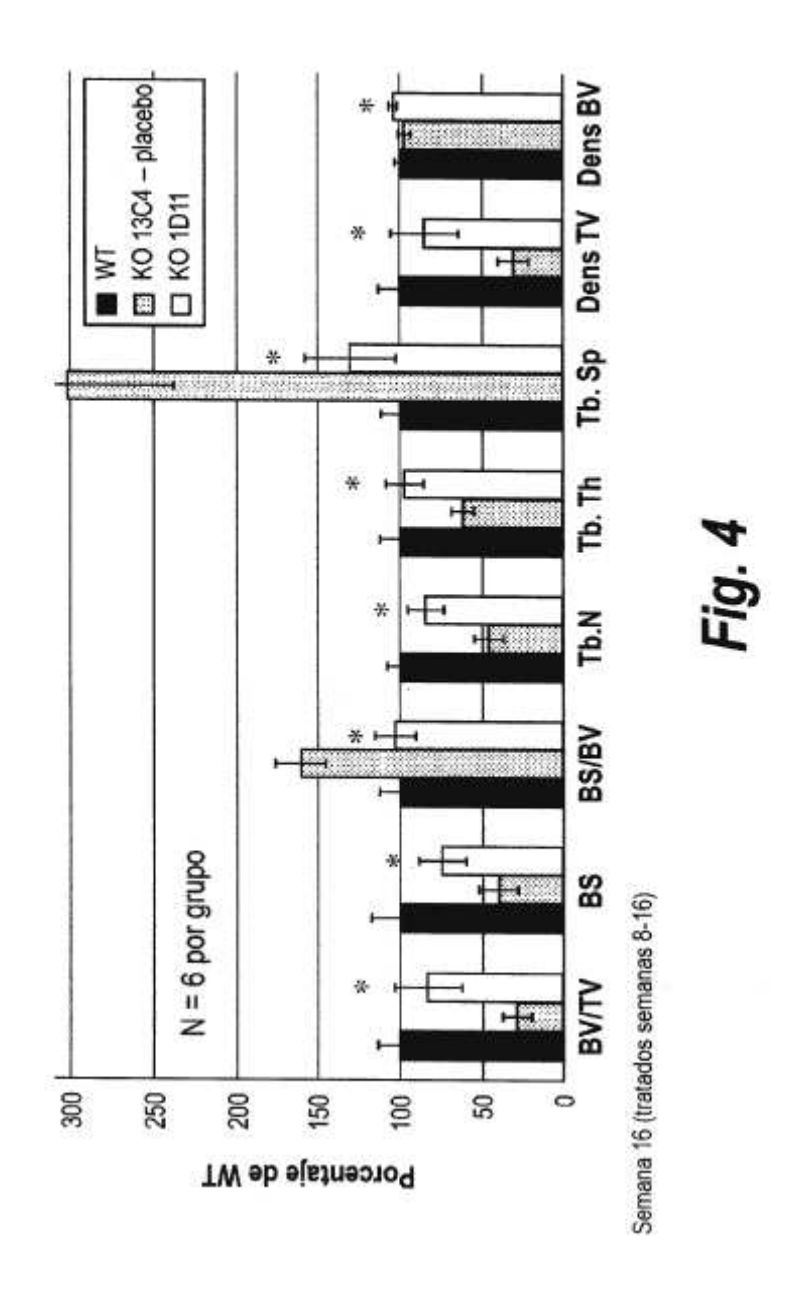
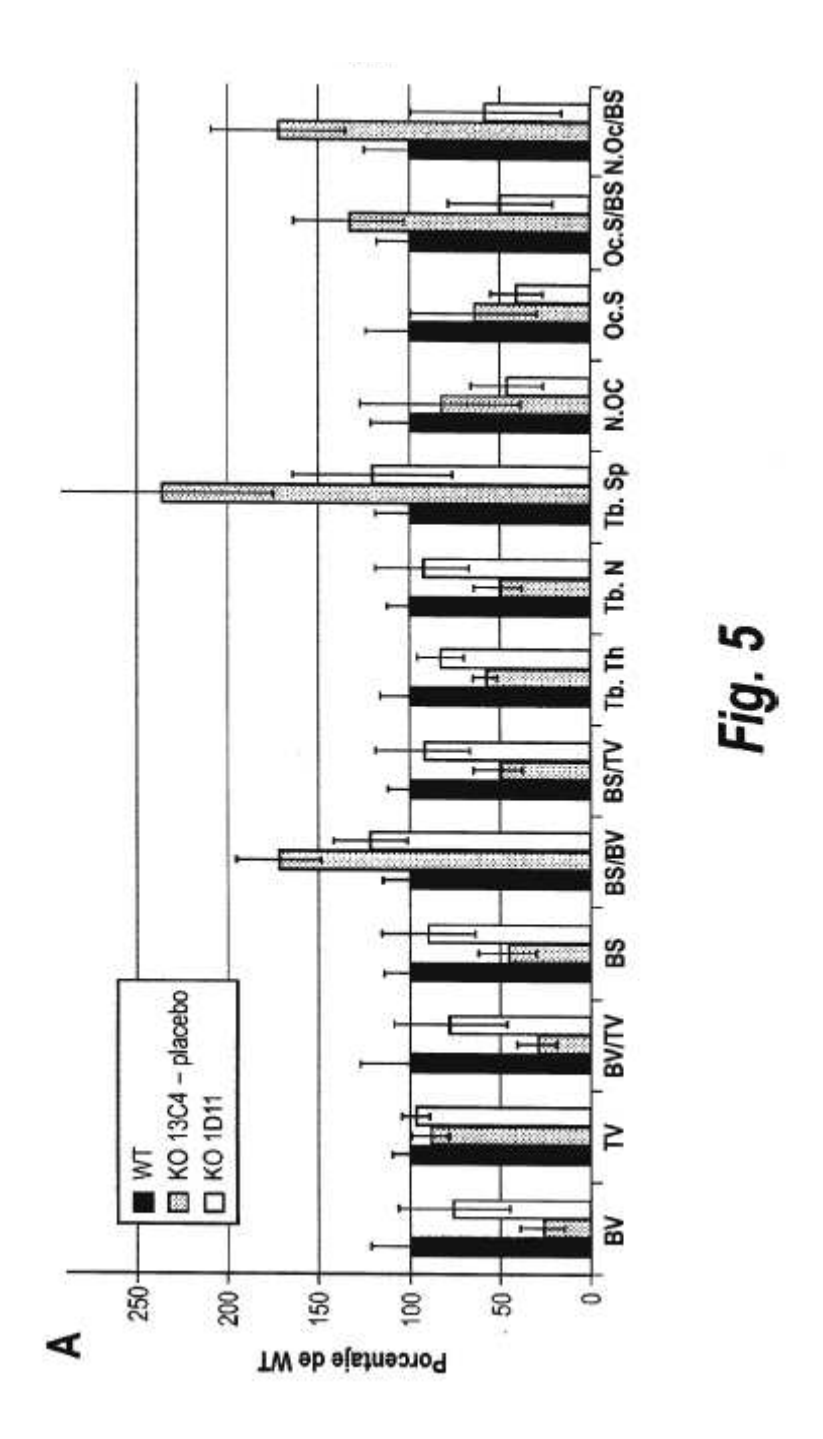
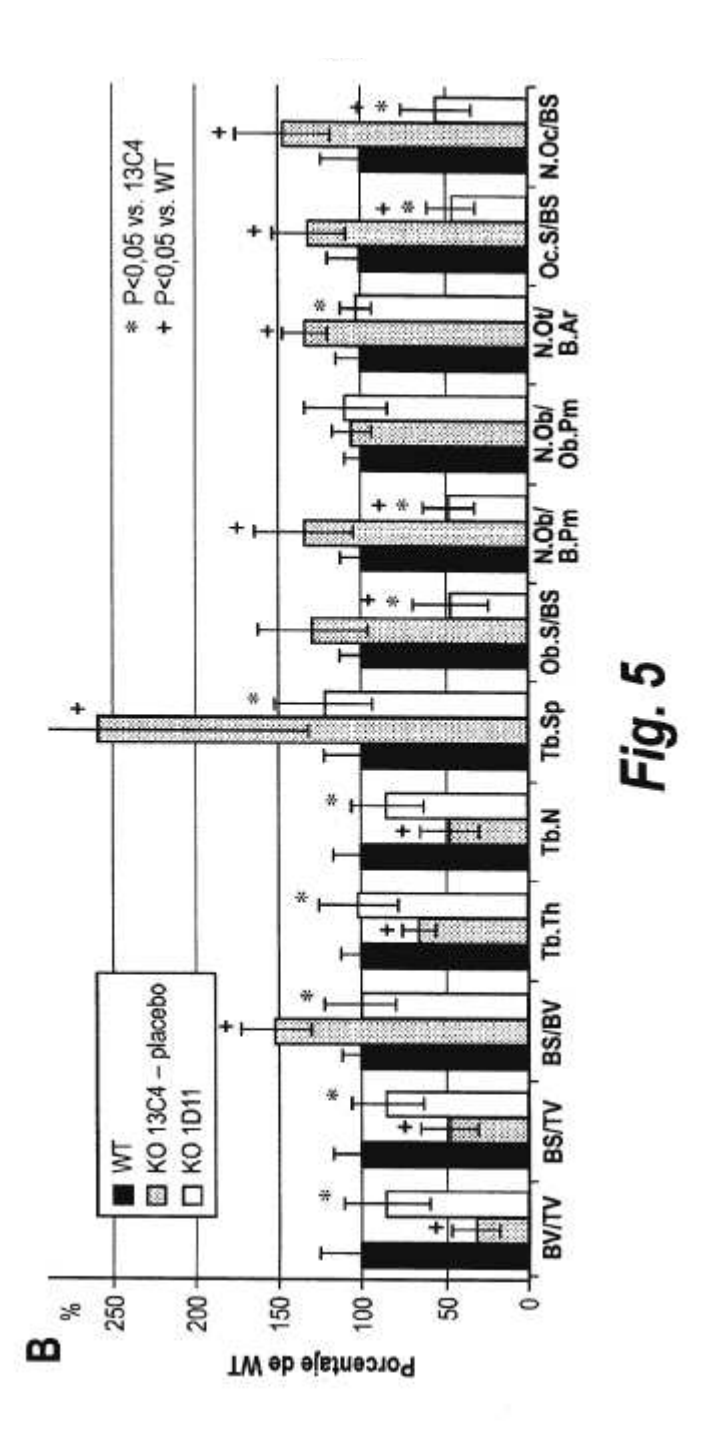
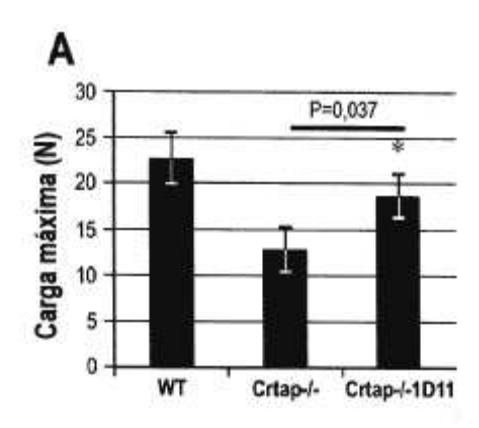


Fig. 3









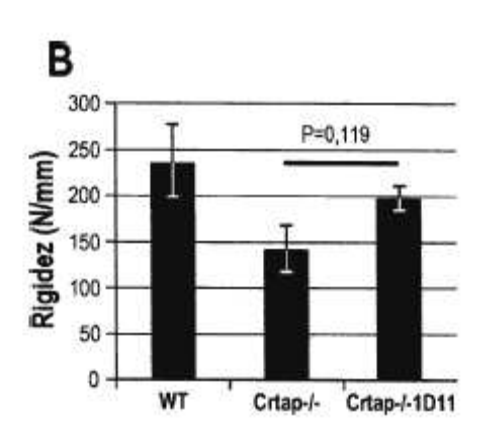
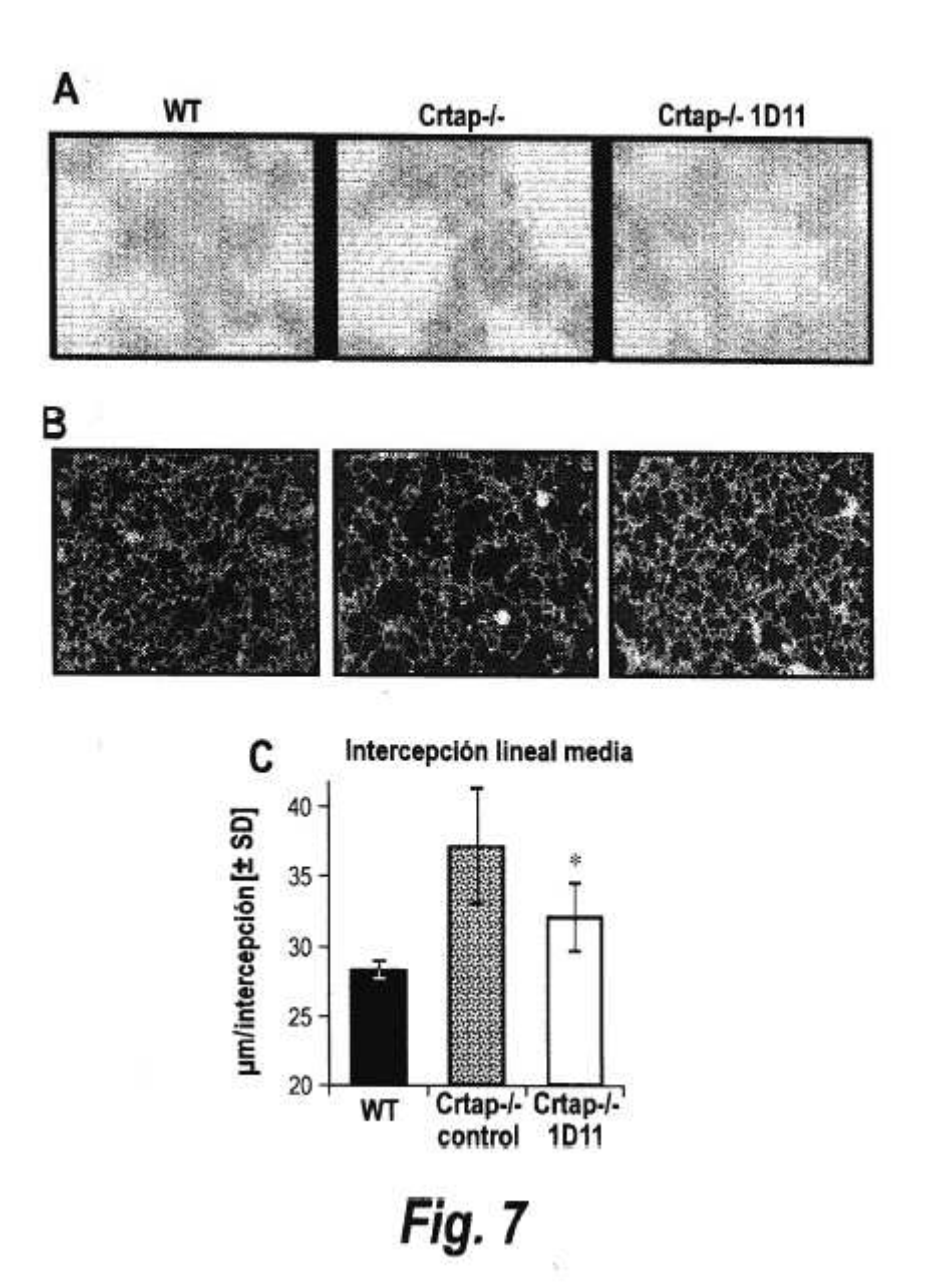


Fig. 6



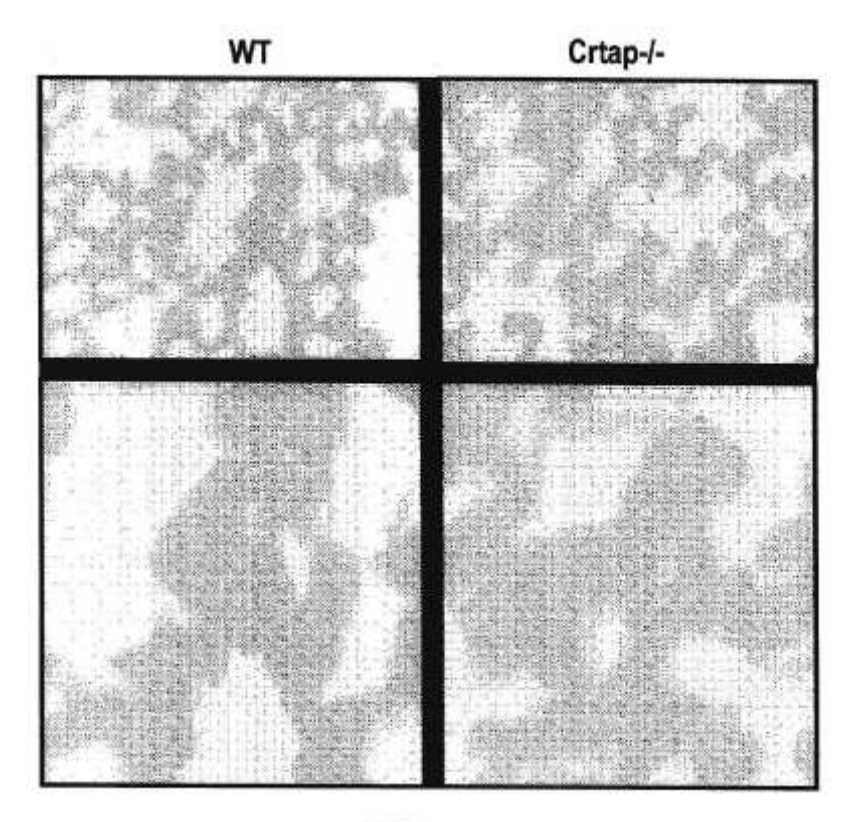
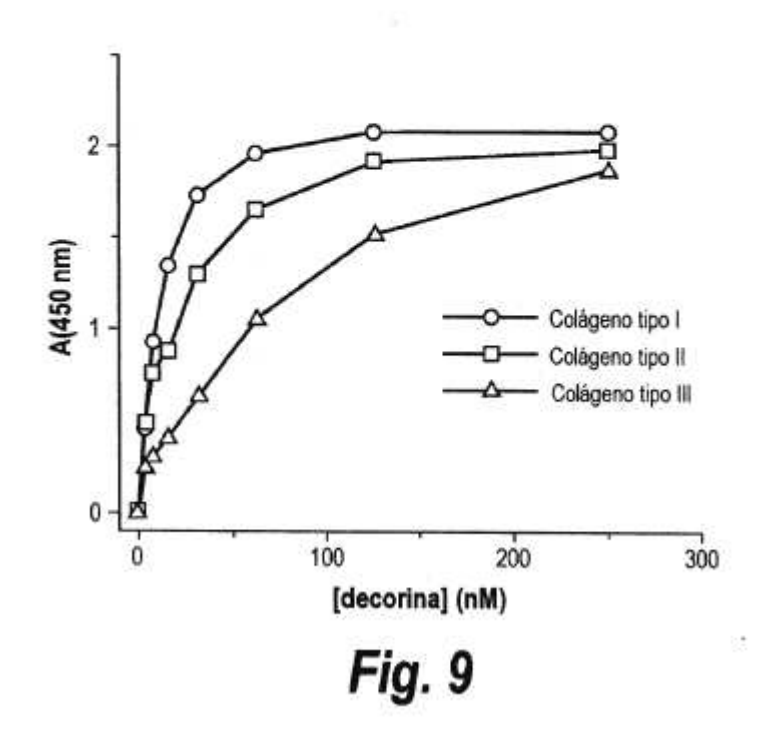
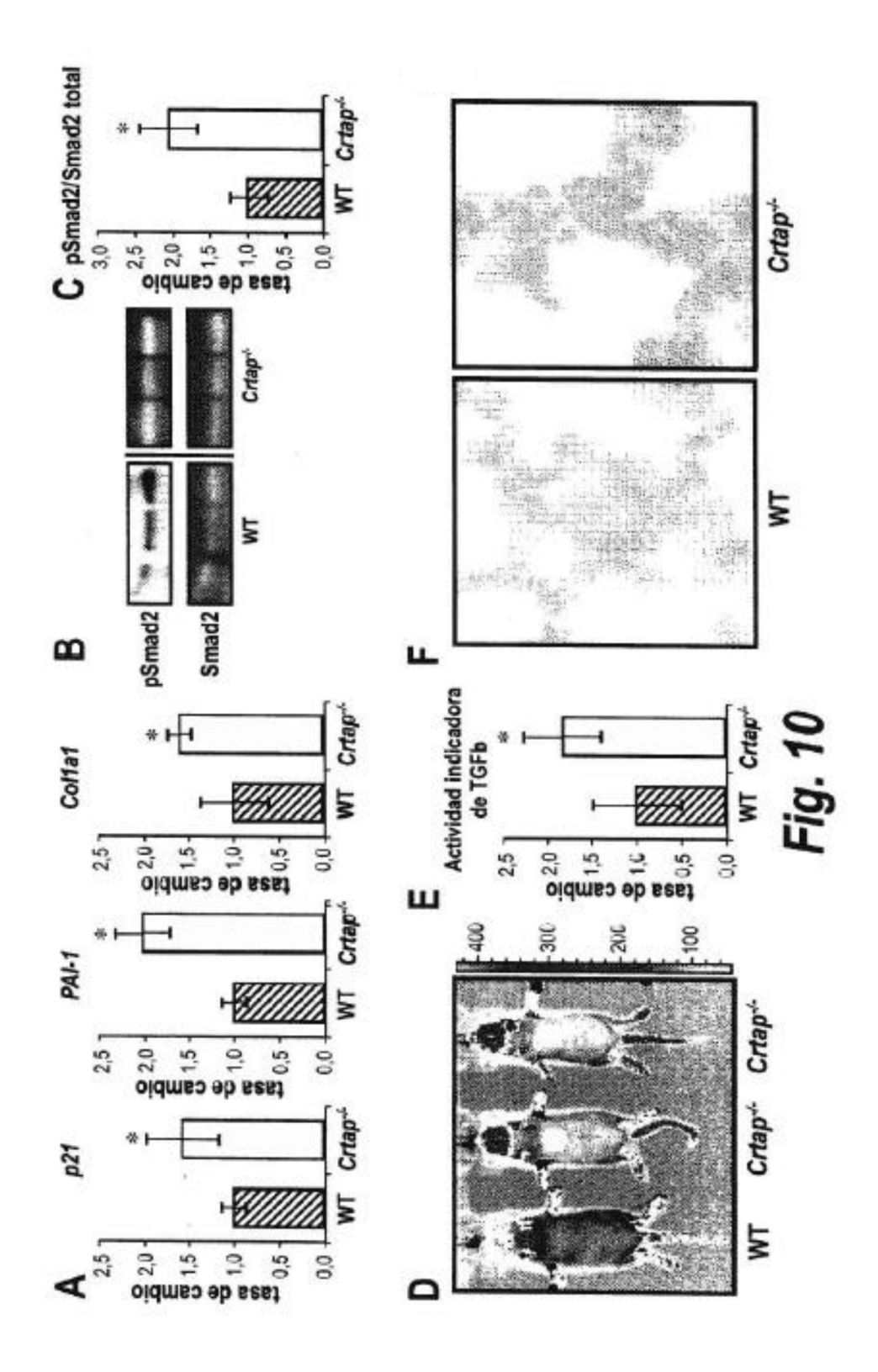
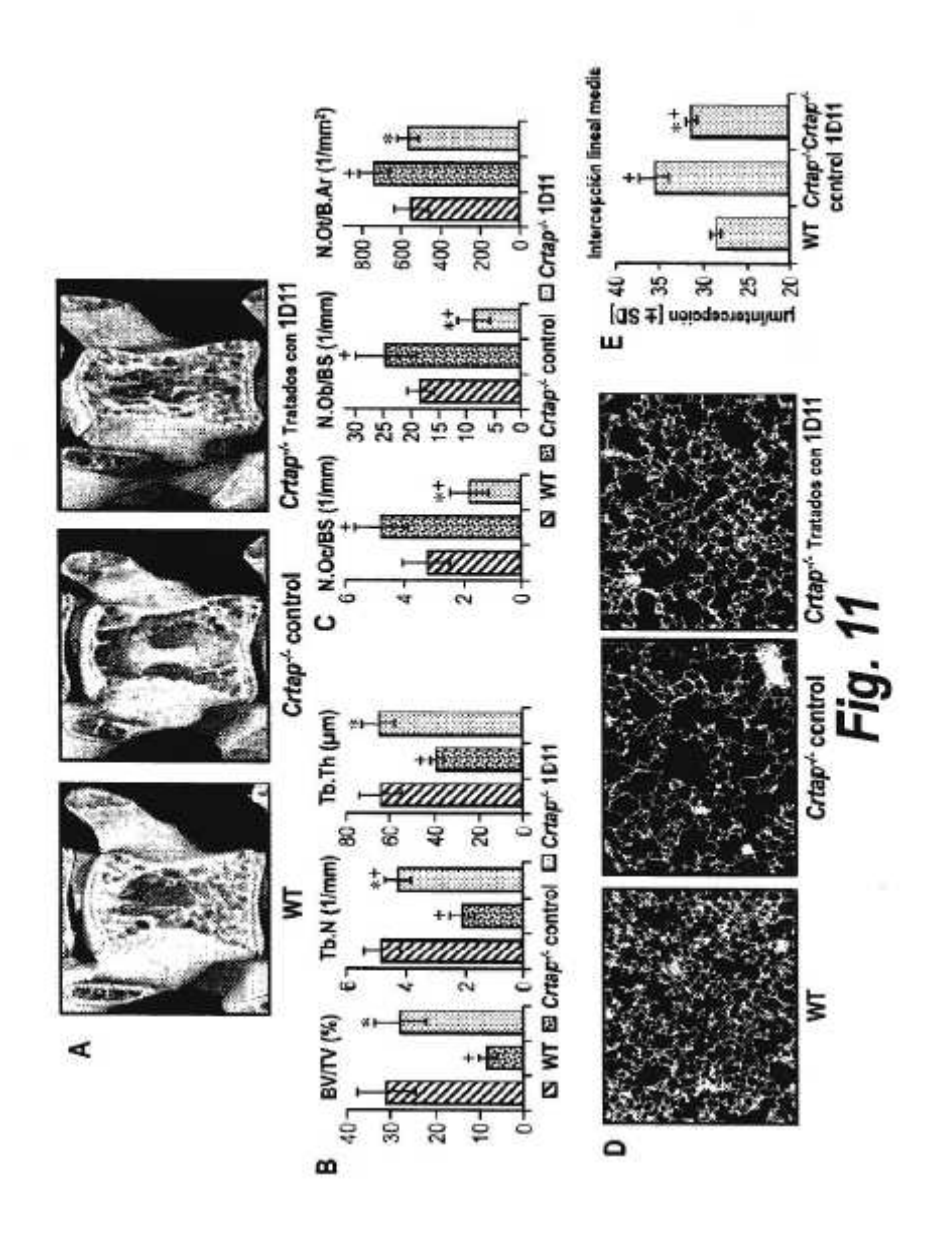
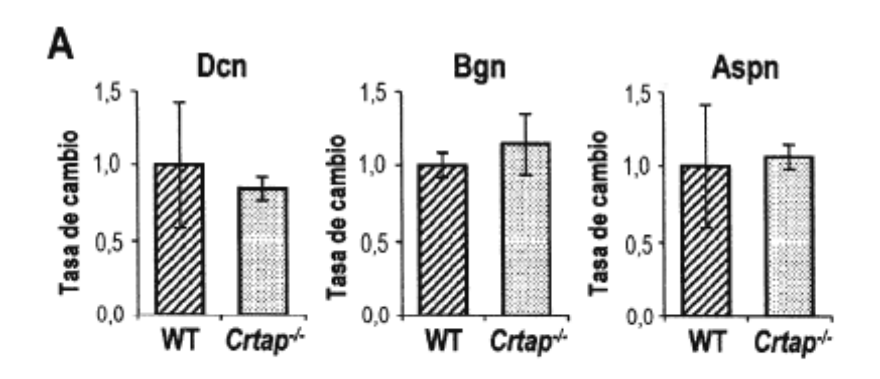


Fig. 8









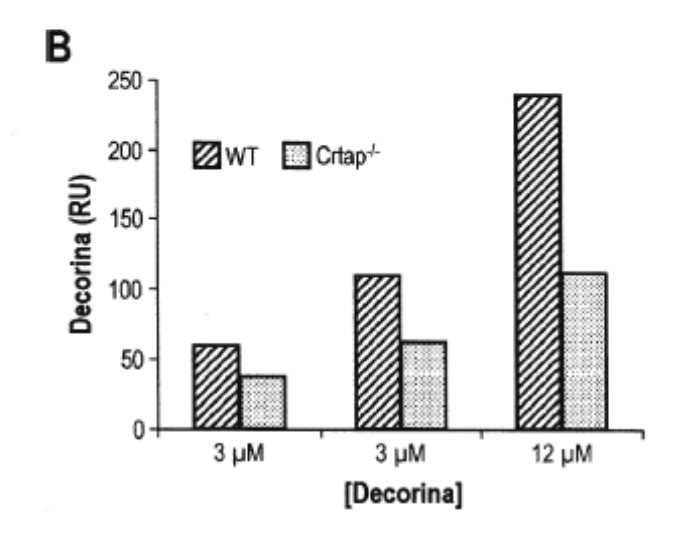
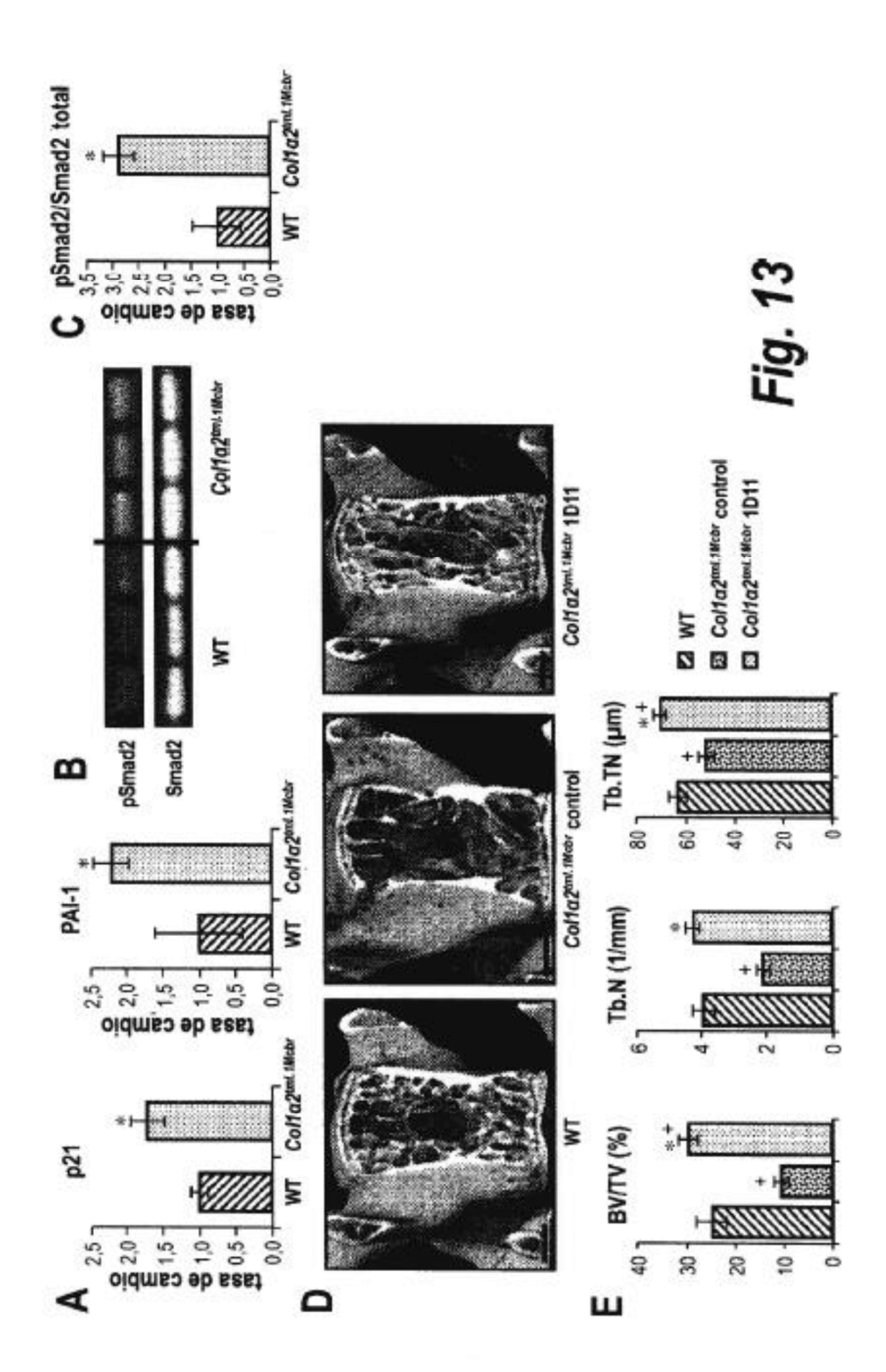
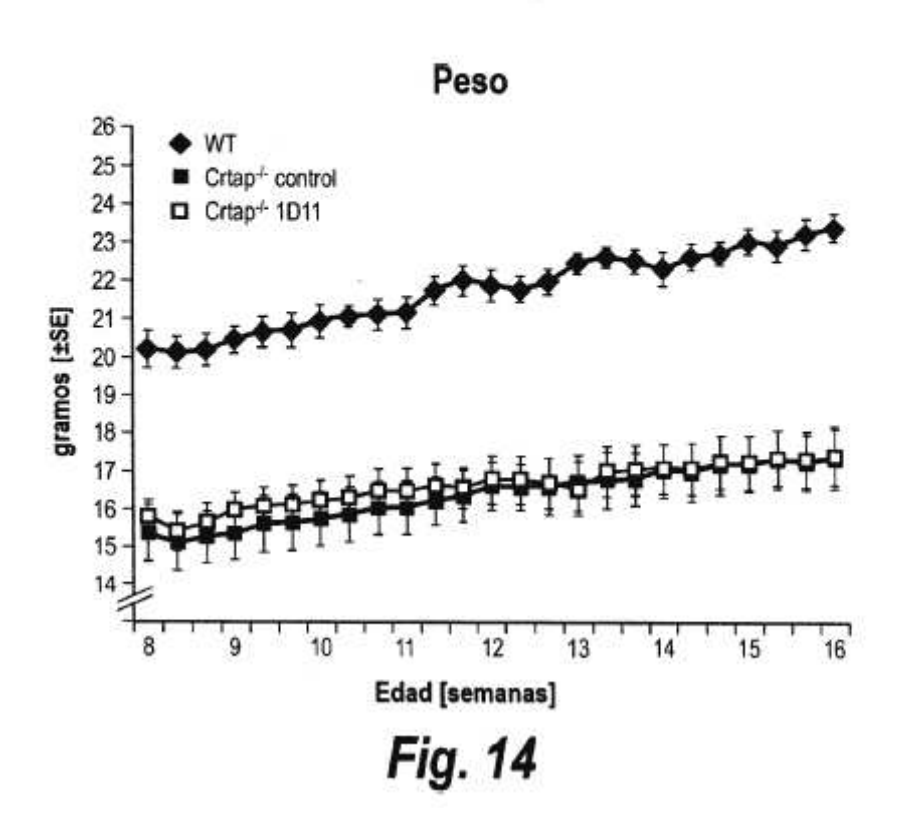
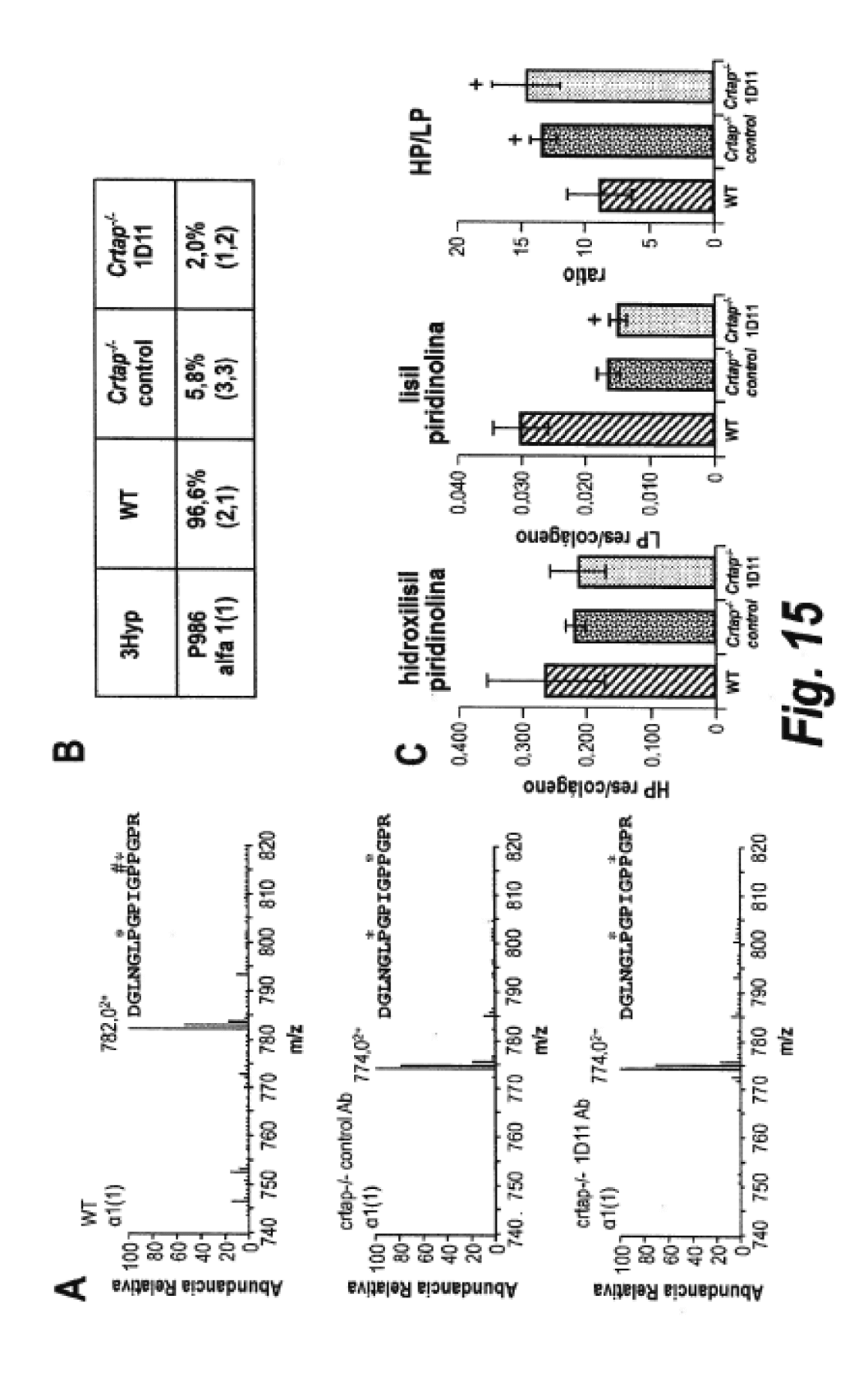
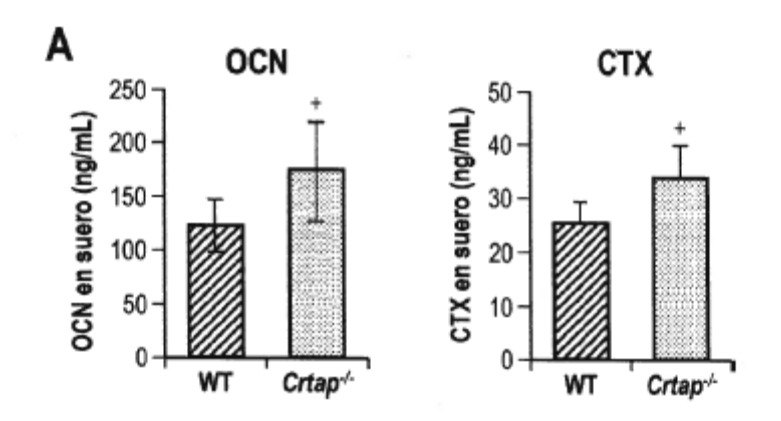


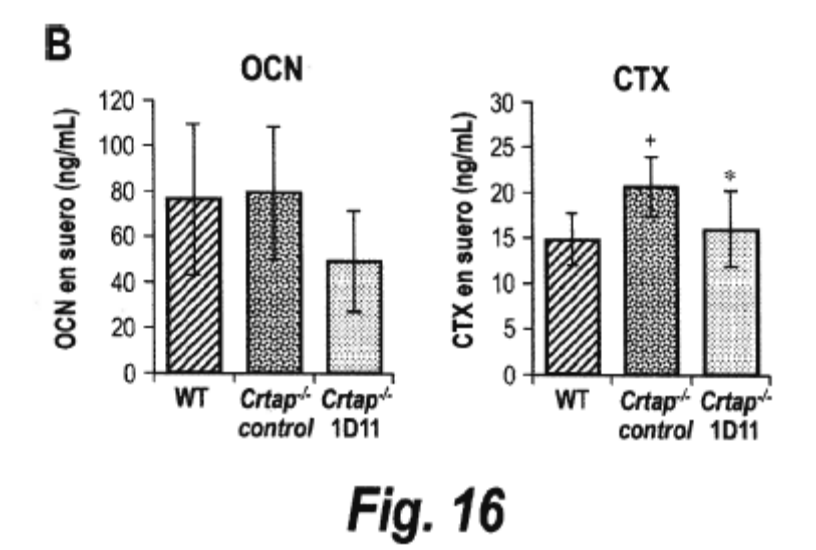
Fig. 12











| | BV/TV | Tb.N | Tb.Th | Tb.Sp | AB DWB |
|---------------------------------------|--------|--------|---------|---------|-------------|
| | (%) | (1/mm) | (mrl) | (ww) | (mg HA/ccm) |
| Tipo Natural (MT) | 0.312 | 4.845 | 63,988 | 0,145 | 703.189 |
| SD | 0,065 | 0,583 | 9,482 | 0,034 | 19,014 |
| Crtap* control | 0.084 | 2,130 | 38,888 | 0,450 | 677,416 |
| SD | 0,020 | 0,409 | 2,931 | 0,118 | 16,138 |
| Crtap* 1D11 | 0,280 | 4,290 | 64,650 | 0,171 | 746.862 |
| SD | 0.056 | 0.435 | 7,407 | 0.030 | 26,564 |
| Valor P ANOVA | <0,001 | <0.001 | <0,001* | <0,001* | <0,001 |
| Valores P por pares | | | | | |
| Tipo natural (WT) vs. Crtap - control | <0,001 | <0,001 | <0,05 | <0,05 | 0,023 |
| Tipo natural (WT) vs. Crtap* 1D11 | n.s. | 0,031 | n.s. | n.s. | <0,001 |
| Crtap+ control vs. Crtap+ 1D11 | <0,001 | <0,001 | <0.05 | <0,05 | <0,001 |

Fig. 17

| BMD BV | (mg HA/ccm) | 733,864 | 25,997 | 727,151 | 28,765 | | 756,539 | 36,913 | 0,162 | | | | |
|--------|-------------|-------------------|--------|----------------|--------|---|--------------|--------|---------------|---------------------|--|---|--|
| Tb.Sp | (ww) | 0,341 | 0,108 | 1,209 | 0,345 | | 0,323 | 0,121 | <0,001 | | <0,001 | n.s. | <0.001 |
| Tb.Th | (mrl) | 37,413 | 5,071 | 32,863 | 3,428 | | 40,663 | 5,842 | 0,015 | | n.s. | n.s. | 0,004 |
| Tb.N | (1/mm) | 2,808 | 0,684 | 0,861 | 0,237 | | 2,953 | 0,767 | <0,001* | | <0,05 | n.S. | <0.05 |
| BV/TV | (%) | 0,107 | 0,036 | 0,029 | 0,011 | 9 | 0,123 | 0,045 | <0,001+ | | <0,05 | n.s. | <0,05 |
| | | Tipo Natural (WT) | SD | Crtap* control | SD | | Crtap-* 1D11 | SD | Valor P ANOVA | Valores P por pares | Tipo natural (WT) vs. Crtap [→] control | Tipo natural (WT) vs. Crtap ^{-/-} 1D11 | Crtap ^{-/-} control vs. Crtap ^{-/-} 1D11 |

Fig. 18

| | Espesura cortical | BMD BV | Diámetro a.p. | CSA | CSMI m.l. | CSMI a.p. |
|--|-------------------|---|---------------|--------------------|--------------------|--------------------|
| | (mm) | (mg HA/ccm) | (mm) | (mm ²) | (mm ⁴) | (mm ⁴) |
| Tipo selvagem | 0,242 | 1084,726 | 1,239 | 0,905 | 0,134 | 0,221 |
| SD | 0,014 | 28,375 | 0,063 | 6/0'0 | 0,023 | 0,042 |
| Control de Crtap -/- | 0,203 | 1084,885 | 1,142 | 0,731 | 0,101 | 0,162 |
| SD | 0,020 | 34,256 | 0,065 | 0,082 | 0,021 | 0,034 |
| 1D11 de Crtap -/- | 0,221 | 1096,127 | 1,186 | 808,0 | 0,111 | 0,186 |
| SD | 0,026 | 39,754 | 0,080 | 0,118 | 0,028 | 0,038 |
| Valor de p ANOVA | 0,003 | 0,753 | 0,039 | 900'0 | 0,032 | 0,021 |
| Valores de P por pares | | | | | | |
| Tipo selvagem vs. Control de Crtap -/- | <0,001 | | 0,012 | 0,001 | 0,011 | 900'0 |
| Tipo selvagem vs.1D11 de Crtap -/- | n.s. | () () () () () () () () () () | n.s. | n.s. | n.s. | n.s. |
| Control de Crtap -/- vs. 1D11 de Crtap -/- | n.s. | | n.s. | n.s. | n.s. | ·S·u |

Fig. 19

| | Carga máxima | Rigidez | Energia a fallo | Resisten- cia final | Resis- tencia a fallo | Módulo elástico | Desplaza- miento total | Desplaza- miento elástico | Desplazamiento post-limite |
|---------------------------------|-----------------|---------|--------------------|------------------------|-----------------------------|--------------------|------------------------------|---------------------------------|-------------------------------|
| | (X) | (N/mm) | (M*mm) | (MPa) | (MPa) | (GPa) | (mm) | (ww) | (mm) |
| Tipo Natural (WT) | 22,831 | 230,578 | 7,846 | 154,704 | 11,912 | 6,960 | 0,444 | 990'0 | 0,376 |
| SD | 2,860 | 37,053 | 3,985 | 7,478 | 5,695 | 0,731 | 0,207 | 0,014 | 0,203 |
| Crtap* control | 12,943 | 151,689 | 1,228 | 114,496 | 2,208 | 6,663 | 0,127 | 6/0'0 | 0.048 |
| SO | 2,402 | 27,384 | 0,913 | 18,240 | 1,677 | 1,154 | 0,057 | 900'0 | 0,058 |
| Crtap-* 1D11 | 18,818 | 200,804 | 1,991 | 145,633 | 3,408 | 7,248 | 0.156 | 0.073 | 0.083 |
| SD | 2,337 | 15,644 | 0,834 | 19,074 | 1,851 | 0,271 | 0,055 | 0,013 | 990'0 |
| Valor P ANOVA | <0.001 | 600'0 | 600'0 | 0,004 | 0.009 | 0,658 | 0.015 | 0,360 | 0,012 |
| Valores P por pares | | | | | | | | | |
| Tipo natural vs. Crtap* control | <0,001 | 0,003 | 900'0 | 0,001 | 900'0 | | 600'0 | | 200'0 |
| Tipo natural vs. Crtap** 1D11 | n.s. | n.s. | 0,017 | n.s. | 0,017 | | 0.023 | | 0,019 |
| Crtap" control vs. Crtap* 1D11 | 0,015 | n.s. | n.s. | 0,016 | n.s. | | n.S. | | n.s. |

Fig. 20

| | BV/TV | Tb.N | Tb.Th | Tb.Sp | N.Oc/BS | Oc.S/BS | N.Ob/BS | Ob.S/BS | N.Oc/BS Oc.S/BS N.Ob/BS Ob.S/BS N.Ot/B.Ar |
|----------------------------------|--------|--------|--------|---------|---------|---------|---------|---------|---|
| | (%) | (1/mm) | (mrl) | (mrl) | (1/mm) | (%) | (1/mm) | (%) | (1/mm2) |
| | | | | | | | | | |
| Tipo Natural (WT) | 11,956 | 4,003 | 29,554 | 226,736 | 3,226 | 15,051 | 18,142 | 20,827 | 549,002 |
| SD | 3,067 | 959'0 | 3,536 | 20,077 | 0,812 | 3,089 | 2,368 | 2,754 | 83,665 |
| Crtap* control | 3,817 | 1,909 | 19,502 | 587,008 | 4,768 | 19,885 | 24,487 | 26,888 | 735,561 |
| SD | 1,656 | 0,692 | 2,560 | 289,835 | 0,914 | 3,407 | 5,421 | 6,983 | 72,617 |
| Crtap⁴-1D11 | 10,203 | 3,411 | 30,182 | 277.886 | 1,772 | 6,829 | 8,638 | 9.748 | 565,044 |
| SD | 3,097 | 0,878 | 6,982 | 69,118 | 0,673 | 2,235 | 2,855 | 4,718 | 51,014 |
| Valor P ANOVA | <0.001 | <0.001 | 0,002 | 0,003* | <0,001 | <0,001 | <0,001 | <0,001 | <0,001 |
| Valores P por pares | | | | | | | | | |
| Tipo natural vs. Crtap** control | <0,001 | <0,001 | 0,002 | <0,05 | 0,005 | 0,012 | 0,011 | n.s. | <0,001 |
| Tipo natural vs. Crtap* 1D11 | n.s. | n.s. | n.s. | n.s. | 0,007 | <0,001 | <0,001 | 0,002 | n.s. |
| Crtap+ control vs. Crtap+ 1D11 | <0,001 | 0,003 | 0,001 | <0'0> | <0,001 | <0,001 | <0,001 | <0,001 | <0,001 |

Fig. 21

| | BV/TV | Tb.N | Tb.Th | Tb.Sp | BMD BV |
|--|--------|--------|--------|--------|-------------|
| | (%) | (1/mm) | (mrl) | (mm) | (mg HA/ccm) |
| Tipo Natural (WT) | 0,247 | 3,939 | 62,533 | 0,193 | 716,669 |
| SD | 0,033 | 0,330 | 3,497 | 0,025 | 7,626 |
| Col1a2mi, tMcbr control | 0,106 | 2,071 | 51,067 | 0,435 | 731,436 |
| SD | 0,015 | 0,195 | 2,999 | 0,047 | 11,792 |
| Col1a2tm1.1Mcbr 1D11 | 0,297 | 4,244 | 69,983 | 0,166 | 754,115 |
| SD | 0,020 | 0,199 | 2,329 | 0,013 | 7,844 |
| Valor P ANOVA | <0,001 | <0,001 | <0.001 | <0.001 | <0,001 |
| Valores P por pares | | | | | |
| Tipo natural vs. Col1a2m1 1Mor control | <0,001 | <0,001 | <0,001 | <0,001 | 0,015 |
| Tipo natural vs. Col1a2m1.1Mar 1D11 | 0,002 | n.s. | <0,001 | n.s. | <0,001 |
| Col1a2im1.1Mar control vs. Col1a2im1.1Mav 1D11 | <0,001 | <0,001 | <0,001 | <0,001 | <0,001 |

Fig. 22

